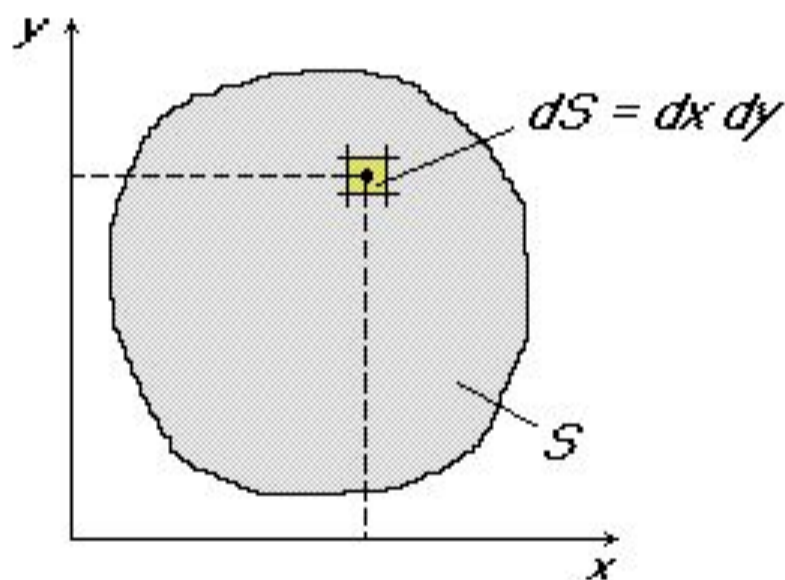


# ГЕОМЕТРИЧЕСКИЕ ХАРАКТЕРИСТИКИ ПОПЕРЕЧНЫХ СЕЧЕНИЙ СТЕРЖНЯ

## Стержень



# 1. ПЛОЩАДЬ ПОПЕРЕЧНОГО СЕЧЕНИЯ СТЕРЖНЯ

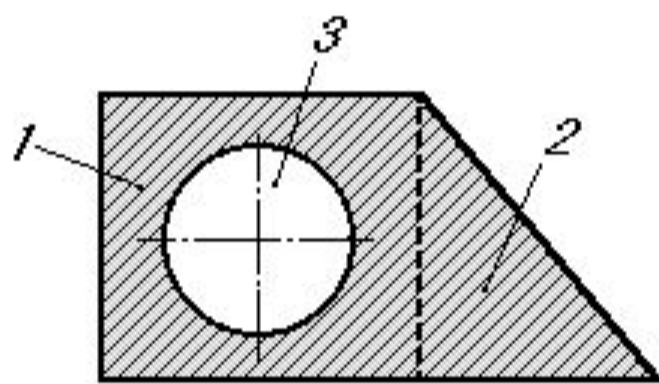


$$S = \iint_S dx dy = \int_S dS$$

Размерность  $[m^2, cm^2]$

# 1. ПЛОЩАДЬ ПОПЕРЕЧНОГО СЕЧЕНИЯ СТЕРЖНЯ (продолжение)

## Сложная фигура

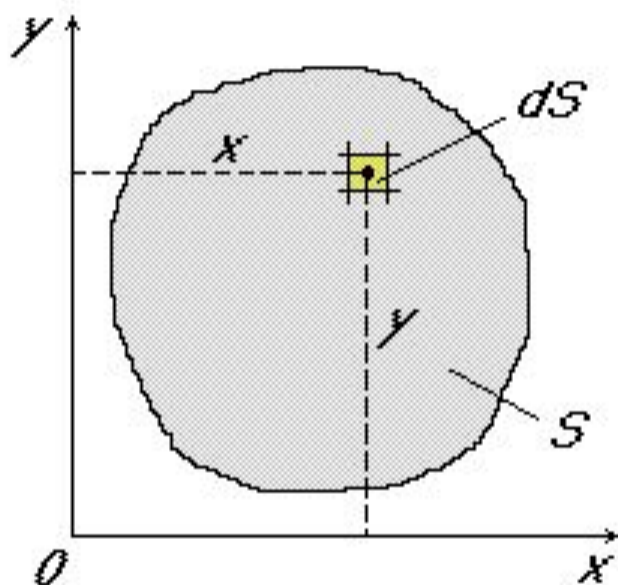


$$S = \sum_{i=1}^n S_i > 0$$

$i$  - номер фигуры.

$$(S_3 < 0)$$

## 2. СТАТИЧЕСКИЕ МОМЕНТЫ ПЛОЩАДИ СЕЧЕНИЯ



$$\left. \begin{array}{l} S_x = \int_S y \, dS \\ S_y = \int_S x \, dS \end{array} \right\} \begin{array}{l} \text{статические моменты} \\ \text{площади относительно} \\ \text{осей } x \text{ и } y \text{ (соответственно).} \end{array}$$

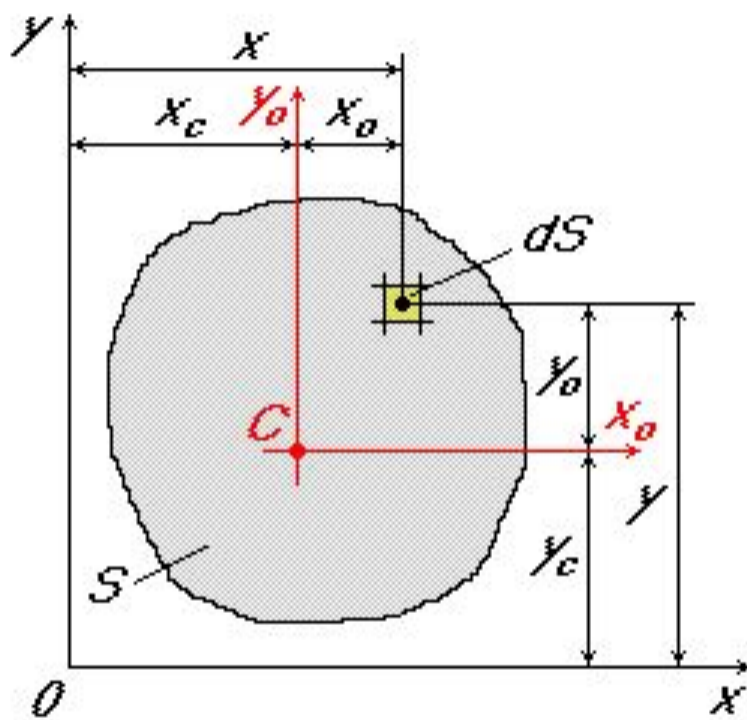
Размерность [м<sup>3</sup>, см<sup>3</sup>]

$$(S_x, S_y) \geq 0$$

Оси, относительно которых  $S_x = S_y = 0$ ,  
называются **центральными**.

Точка пересечения центральных осей  
совпадает с **центром тяжести** сечения.

# ИЗМЕНЕНИЕ СТАТИЧЕСКИХ МОМЕНТОВ ПЛОЩАДИ СЕЧЕНИЯ ПРИ ПАРАЛЛЕЛЬНОМ ПЕРЕНОСЕ ОСЕЙ КООРДИНАТ



$$X = X_o + X_c,$$

$$Y = Y_o + Y_c.$$

Дано:

$C$  - центр тяжести сечения;  
 $X_o, Y_o$  - центральные оси;

$$S_{xo} = S_{yo} = 0;$$

$X_c, Y_c$  - координаты центра тяжести сечения в осях  $x$  и  $y$ .

Определить:

$$S_x = ?; \quad S_y = ?$$

## ОПРЕДЕЛЕНИЕ ПОЛОЖЕНИЯ ЦЕНТРА ТЯЖЕСТИ СЕЧЕНИЯ

Запишем статические моменты сечения относительно осей  $x$  и  $y$ :

$$S_x = \int_S y dS = \int_S (\gamma_o + \gamma_c) dS = \int_S \gamma_o dS + \gamma_c \int_S dS;$$

$$S_y = \int_S x dS = \int_S (\chi_o + \chi_c) dS = \int_S \chi_o dS + \chi_c \int_S dS;$$

После преобразований:

$$S_x = \int_S \gamma_o dS + \gamma_c S = S_{xo} + \gamma_c S;$$

$$S_y = \int_S \chi_o dS + \chi_c S = S_{yo} + \chi_c S; \quad \text{отсюда:}$$

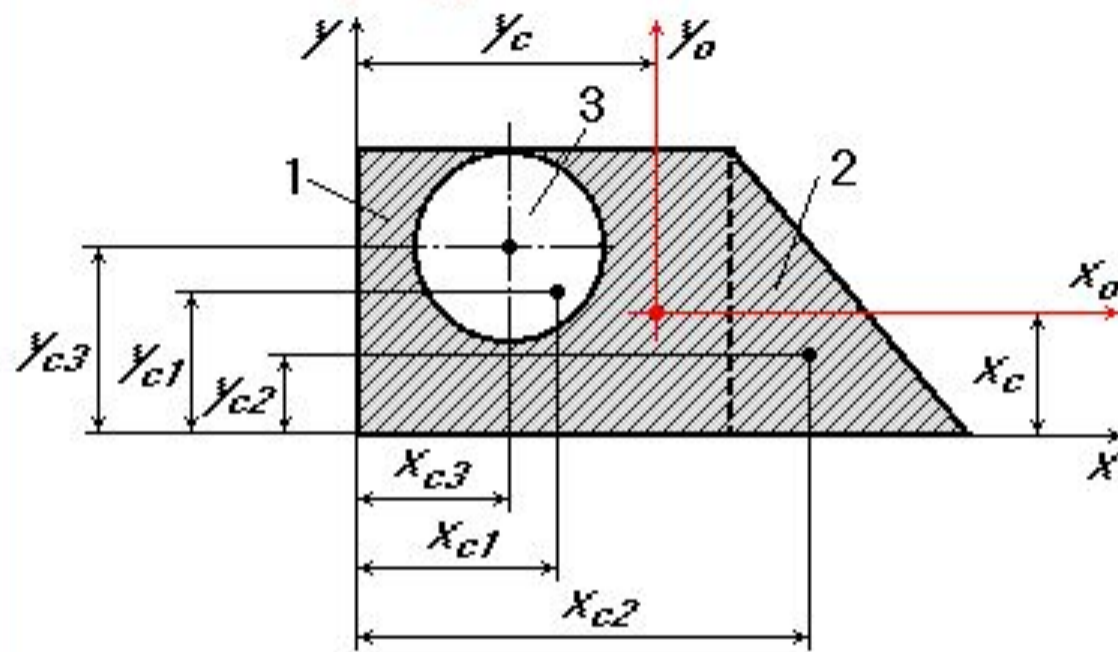
$$S_x = \gamma_c S; \quad S_y = \chi_c S.$$

Определим положение центра тяжести сечения:

$$\gamma_c = \frac{S_x}{S}; \quad \chi_c = \frac{S_y}{S}$$

# ОПРЕДЕЛЕНИЕ ПОЛОЖЕНИЯ ЦЕНТРА ТЯЖЕСТИ СЕЧЕНИЯ

## Сложная фигура



*i* - номер фигуры.

$$S_x = \sum_{i=1}^n S_x^{(i)} = \sum_{i=1}^n y_{ci} S_i = y_{c1} S_1 + y_{c2} S_2 - y_{c3} S_3;$$

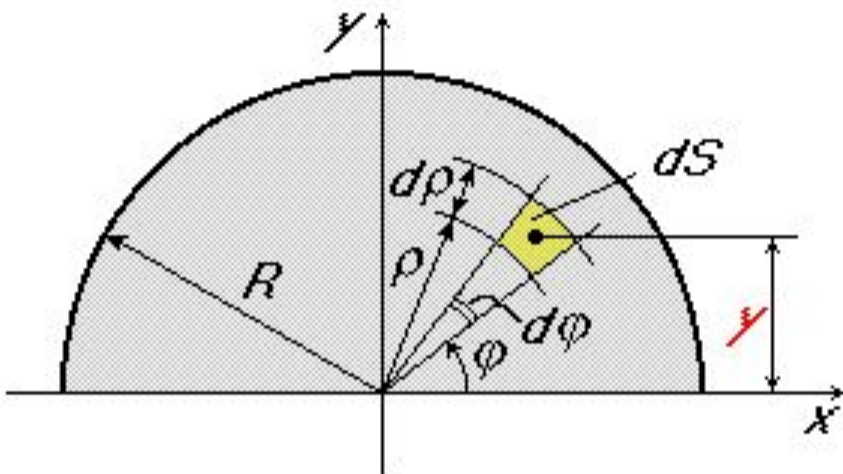
$$S_y = \sum_{i=1}^n S_y^{(i)} = \sum_{i=1}^n x_{ci} S_i = x_{c1} S_1 + x_{c2} S_2 - x_{c3} S_3;$$

$$y_c = \frac{\sum_{i=1}^n S_x^{(i)}}{\sum_{i=1}^n S_i};$$

$$x_c = \frac{\sum_{i=1}^n S_y^{(i)}}{\sum_{i=1}^n S_i}.$$

## ПРИМЕР

### Определение центра тяжести полукруга



Дано:  $R$

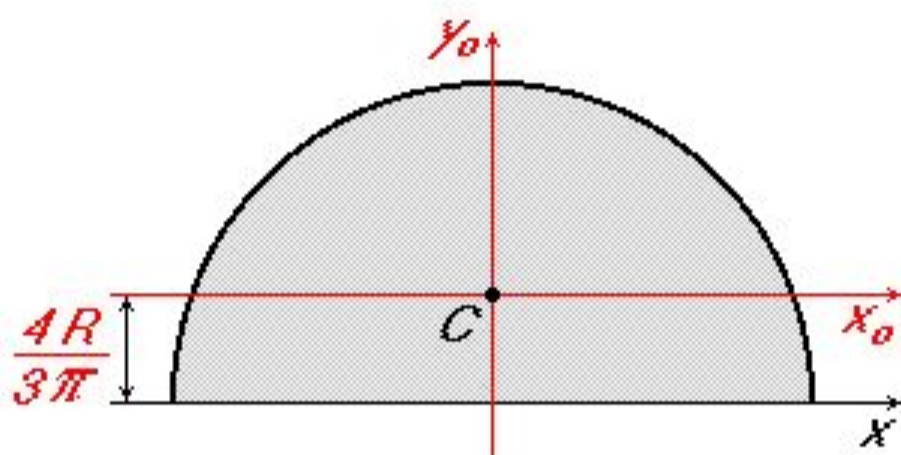
$$y_c = ?$$

Выбираем начальные оси  $x$  и  $y$ .  
Центр тяжести расположен  
на оси  $y$  - оси симметрии  
сечения.

Площадь элементарной площадки:

$$dS = \rho d\phi d\rho, \quad y = \rho \sin \phi.$$

## ПРИМЕР (продолжение)



Статический момент сечения:

$$S_x = \int_S y dS = \iint_D \rho \cdot \sin \varphi \cdot \rho \cdot d\varphi \cdot d\rho;$$

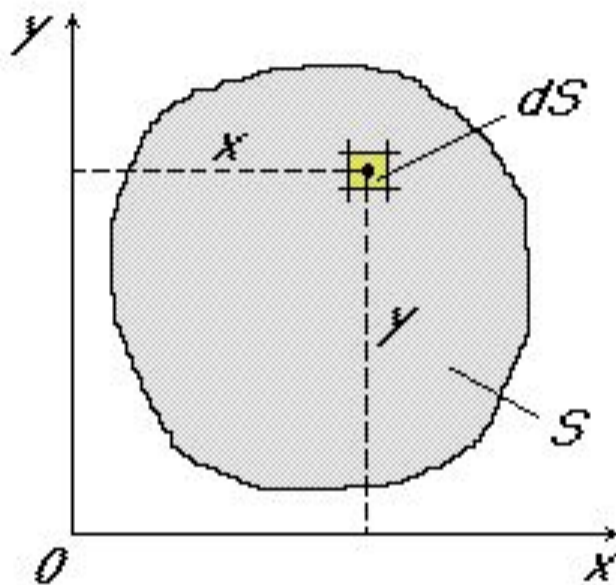
$$S_x = \int_0^R \rho^2 d\rho \int_0^\pi \sin \varphi d\varphi = \frac{2}{3} R^3.$$

Площадь:

$$S = \frac{1}{2} \pi R^2.$$

$$y_c = \frac{S_x}{S} = \frac{\frac{2}{3} R^3 \cdot 2}{\frac{1}{2} \pi R^2} = \frac{4R}{3\pi}.$$

### 3. МОМЕНТЫ ИНЕРЦИИ СЕЧЕНИЯ



$$I_x = \int_S y^2 dS$$

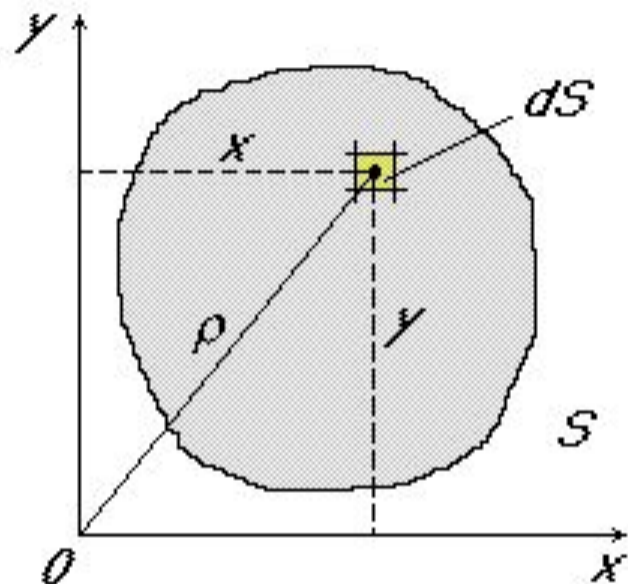
$$I_y = \int_S x^2 dS$$

$$I_{xy} = \int_S xy dS$$

Осевые (относительно осей  
x и y) и центробежный  
моменты инерции сечения.

Размерность  $[m^4, cm^4]$

### 3. МОМЕНТЫ ИНЕРЦИИ СЕЧЕНИЯ (продолжение)



$$I_p = \int_S \rho^2 dS = \int_S (x^2 + y^2) dS = I_x + I_y - \text{полярный}$$

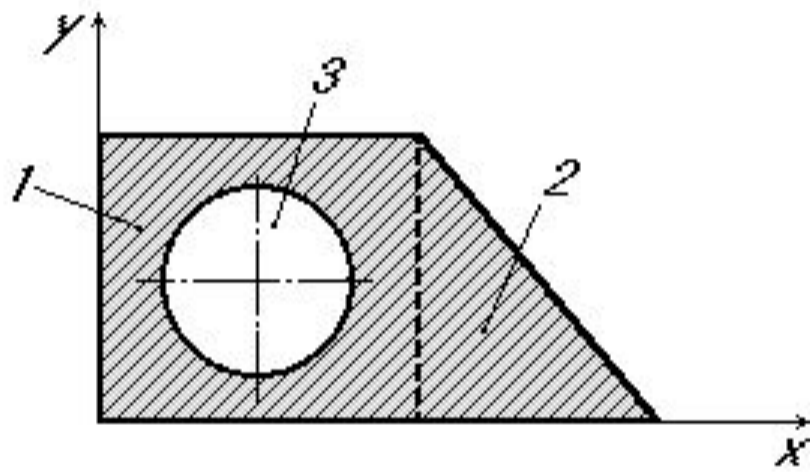
момент инерции сечения относительно точки 0.

Размерность [м<sup>4</sup>, см<sup>4</sup>]

$$I_x, I_y, I_p > 0; \quad I_{xy} \leq 0$$

### 3. МОМЕНТЫ ИНЕРЦИИ СЕЧЕНИЯ (продолжение)

Сложная фигура



$j$  - номер фигуры.

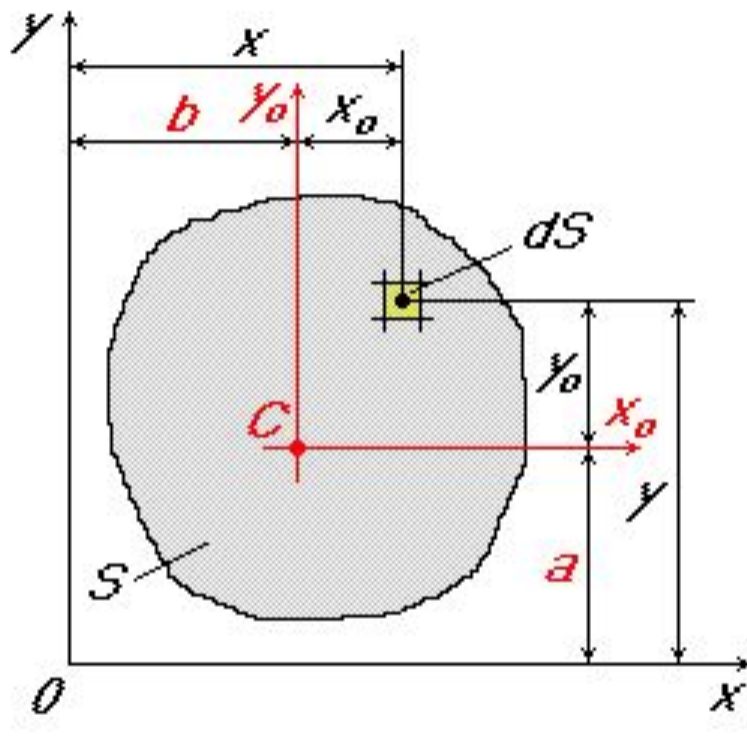
$$I_x = \sum_{j=1}^n I_x^{(j)};$$

$$I_y = \sum_{j=1}^n I_y^{(j)};$$

$$I_{xy} = \sum_{j=1}^n I_{xy}^{(j)};$$

$$I_p = \sum_{j=1}^n I_p^{(j)};$$

# ИЗМЕНЕНИЕ МОМЕНТОВ ИНЕРЦИИ СЕЧЕНИЯ ПРИ ПАРАЛЛЕЛЬНОМ ПЕРЕНОСЕ ОСЕЙ КООРДИНАТ



$$x = x_o + b$$

$$y = y_o + a$$

Дано:

$C$  - центр тяжести сечения;  
 $x_o, y_o$  - центральные оси;

$$S_{xo} = S_{yo} = 0$$

$$I_{xo}, I_{yo}, I_{xy}$$

$a, b$  - координаты центра тяжести сечения в осях  $x$  и  $y$ .

Определить:

$$I_x, I_y, I_{xy} = ?$$

## ИЗМЕНЕНИЕ МОМЕНТОВ ИНЕРЦИИ СЕЧЕНИЯ ПРИ ПАРАЛЛЕЛЬНОМ ПЕРЕНОСЕ ОСЕЙ КООРДИНАТ (продолжение)

Запишем осевые моменты инерции сечения относительно осей  $x$  и  $y$ :

$$I_x = \int_S y^2 dS = \int_S (y_o + a)^2 dS = \int_S y_o^2 dS + 2a \int_S y_o dS + a^2 \int_S dS = \\ = I_{xo} + 2a S_{xo} + a^2 S, \quad \text{отсюда:}$$

$$I_x = I_{xo} + a^2 S, \quad \text{аналогично для оси } y:$$

$$I_y = I_{yo} + b^2 S,$$

При переходе к центральным осям:

$$I_{xo} = I_x - a^2 S,$$

Из всех моментов инерции относительно параллельных осей моменты инерции относительно центральной оси - **минимальные**

$$I_{yo} = I_y - b^2 S.$$

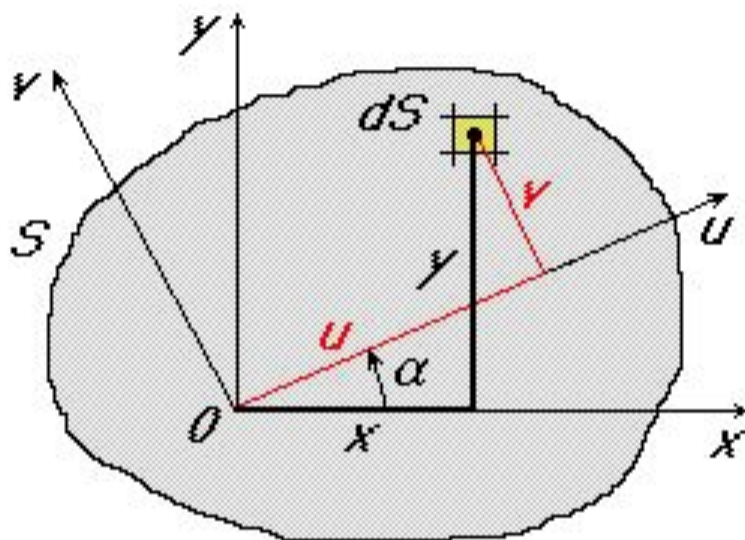
## ИЗМЕНЕНИЕ МОМЕНТОВ ИНЕРЦИИ СЕЧЕНИЯ ПРИ ПАРАЛЛЕЛЬНОМ ПЕРЕНОСЕ ОСЕЙ КООРДИНАТ (продолжение)

Определим **центробежный** момент инерции сечения  
относительно осей ***x*** и ***y***:

$$\begin{aligned} I_{xy} &= \int_S xy \, dS = \int_S (x_o + b)(y_o + a) \, dS \\ &= \int_S x_o y_o \, dS + b \int_S y_o \, dS + a \int_S x_o \, dS + ab \int_S \, dS = \\ &= I_{xoy_0} + b S_{yo} + a S_{xo} + ab S; \quad \text{отсюда:} \end{aligned}$$

$$I_{xy} = I_{xoy_0} + a \cdot b \cdot S.$$

# ИЗМЕНЕНИЕ МОМЕНТОВ ИНЕРЦИИ СЕЧЕНИЯ ПРИ ПОВОРОТЕ ОСЕЙ КООРДИНАТ



Дано:

оси  $X$  и  $Y$

$I_x, I_y, I_{xy}$

$\alpha$

---

Найти  $I_u, I_v, I_{uv}$ .

Определим координаты  $u$  и  $v$  площадки  $dS$  в новой системе координат:

$$u = x \cos \alpha + y \sin \alpha;$$

$$v = y \cos \alpha - x \sin \alpha.$$

## ИЗМЕНЕНИЕ МОМЕНТОВ ИНЕРЦИИ СЕЧЕНИЯ ПРИ ПОВОРОТЕ ОСЕЙ КООРДИНАТ (продолжение)

Определим **осевые** моменты инерции сечения относительно осей **u** и **v**:

$$\begin{aligned} I_u &= \int_S v^2 dS = \int_S (y \cos \alpha - x \sin \alpha)^2 dS = \\ &= \cos^2 \alpha \int_S y^2 dS - 2 \sin \alpha \cos \alpha \int_S xy dS + \sin^2 \alpha \int_S x^2 dS; \end{aligned}$$

$$\begin{aligned} I_v &= \int_S u^2 dS = \int_S (y \sin \alpha + x \cos \alpha)^2 dS = \\ &= \sin^2 \alpha \int_S y^2 dS + 2 \sin \alpha \cos \alpha \int_S xy dS + \cos^2 \alpha \int_S x^2 dS; \end{aligned}$$

$$I_u = I_x \cos^2 \alpha - I_{xy} \sin 2\alpha + I_y \sin^2 \alpha;$$

$$I_v = I_x \sin^2 \alpha + I_{xy} \sin 2\alpha + I_y \cos^2 \alpha$$

Если сложить величины моментов инерции относительно осей **u** и **v**, то получим:

$$I_u + I_v = I_x + I_y = I_p = \text{const}$$

## ИЗМЕНЕНИЕ МОМЕНТОВ ИНЕРЦИИ СЕЧЕНИЯ ПРИ ПОВОРОТЕ ОСЕЙ КООРДИНАТ (продолжение)

Определим центробежный момент инерции сечения  
относительно осей **u** и **v**:

$$\begin{aligned} I_{uv} &= \int_S u v \, dS = \int_S (y \sin \alpha + x \cos \alpha)(y \cos \alpha - x \sin \alpha) \, dS = \\ &= \cos^2 \alpha \int_S xy \, dS - \sin^2 \alpha \int_S xy \, dS + \sin \alpha \cos \alpha \int_S y^2 \, dS - \sin \alpha \cos \alpha \int_S x^2 \, dS \end{aligned}$$

Отсюда:

$$I_{uv} = I_{xy} \cos 2\alpha + \frac{I_x - I_y}{2} \sin 2\alpha$$

## ГЛАВНЫЕ ОСИ И ГЛАВНЫЕ МОМЕНТЫ ИНЕРЦИИ СЕЧЕНИЯ

Если  $I_u + I_v = I_x + I_y = \text{const}$  сумма остается неизменной, то существуют оси, относительно которых осевые моменты инерции достигают экстремальных значений ( $I_{\max}$  и  $I_{\min}$ ), то есть

$I_u + I_v = I_x + I_y = I_{\max} + I_{\min} = \text{const}$ . Такие оси называются **ГЛАВНЫМИ**.

Найдем положение этих осей, приравняв  $\frac{dI_u}{d\alpha} = 0$ .

$$\frac{dI_u}{d\alpha} = 2 \cos \alpha_o (-\sin \alpha_o) I_x - \cos 2\alpha_o \cdot 2 I_{xy} + 2 \sin \alpha_o \cos \alpha_o I_y = 0. \text{ Отсюда:}$$

$$-2(I_{xy} \cos 2\alpha_o + \frac{I_x - I_y}{2} \sin 2\alpha_o) = -2 I_{uv} = 0. \quad \operatorname{tg} 2\alpha_o = -\frac{2I_{xy}}{I_x - I_y}$$

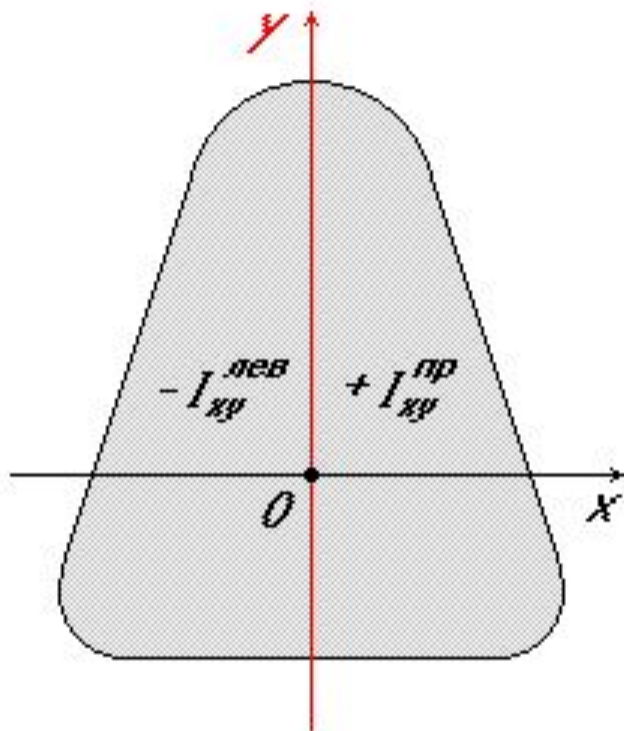
Относительно главных осей центробежный момент инерции равен **нулю**.

Экстремальные значения осевых моментов инерции сечения:

$$I_{\frac{\max}{\min}} = \frac{I_x + I_y}{2} \pm \sqrt{\left(\frac{I_x - I_y}{2}\right)^2 + I_{xy}^2}$$

## СИММЕТРИЧНОЕ СЕЧЕНИЕ

Ось  $y$  - ось симметрии

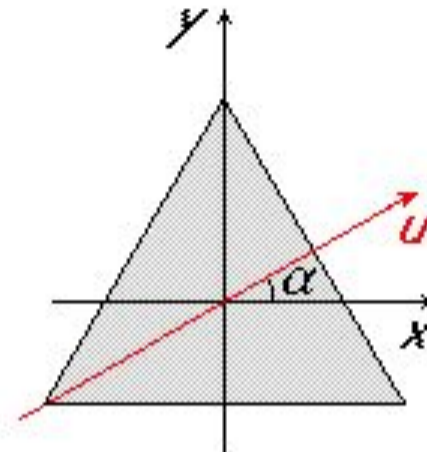
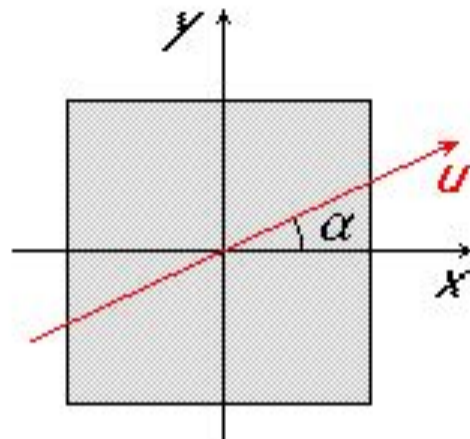
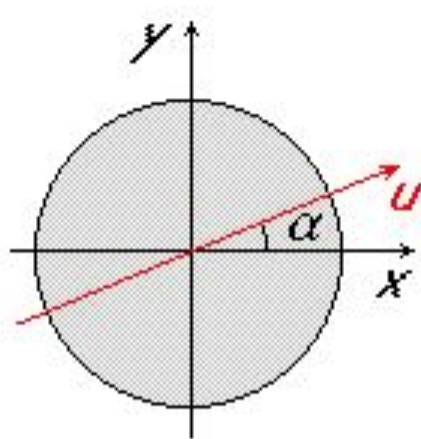


$$-I_{xy}^{\text{лев}} = I_{xy}^{\text{прав}}$$

$$I_{xy} = I_{xy}^{\text{прав}} + I_{xy}^{\text{лев}} = 0.$$

Оси  $x$  и  $y$  - главные оси инерции.

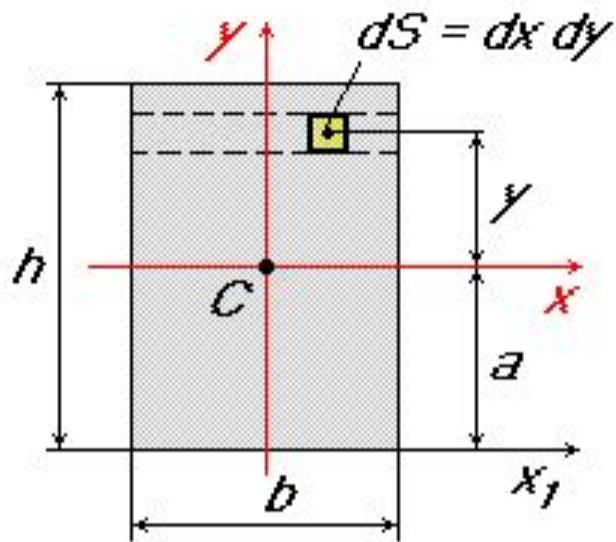
## ПРАВИЛЬНЫЕ ФИГУРЫ



$$I_x = I_y \quad ; \quad I_u = I_x \cos^2\alpha + I_y \sin^2\alpha = I_x \quad ;$$

Любая ось  $u$  - главная центральная ось.

## ПРЯМОУГОЛЬНОЕ ПОПЕРЕЧНОЕ СЕЧЕНИЕ



Дано:

Оси  $x$  и  $y$  - главные и центральные;

$$\frac{b \times h}{I_x, I_y, I_{xz}=?}$$

$$I_x = \int_S y^2 dS = \int_{-\frac{h}{2}}^{\frac{h}{2}} y dy \int_{-\frac{b}{2}}^{\frac{b}{2}} dx = \frac{bh^3}{12};$$

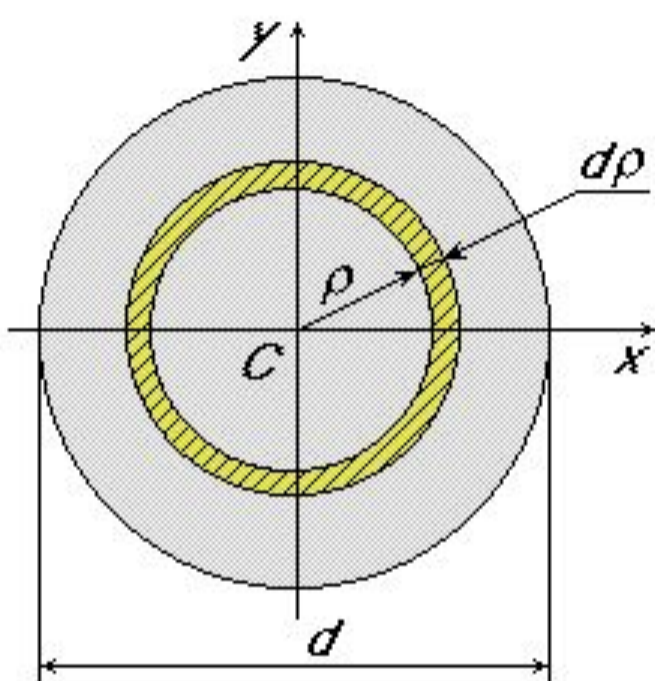
$$I_y = \frac{bh^3}{12}; \quad I_{xz} = \frac{bh^3}{12};$$

$$I_{xz} = I_x + a^2 S = \frac{bh^3}{12} + \left(\frac{h}{2}\right)^2 bh; \quad I_{xz} = \frac{bh^3}{3}.$$

## КРУГЛОЕ ПОПЕРЕЧНОЕ СЕЧЕНИЕ

Дано:

Оси  $x$  и  $y$  - главные центральные оси;



$$\frac{d}{I_p, I_x, I_y = ?}$$

$$I_p = \int_S \rho^2 dS \quad dS = 2\pi \cdot \rho \cdot d\rho,$$

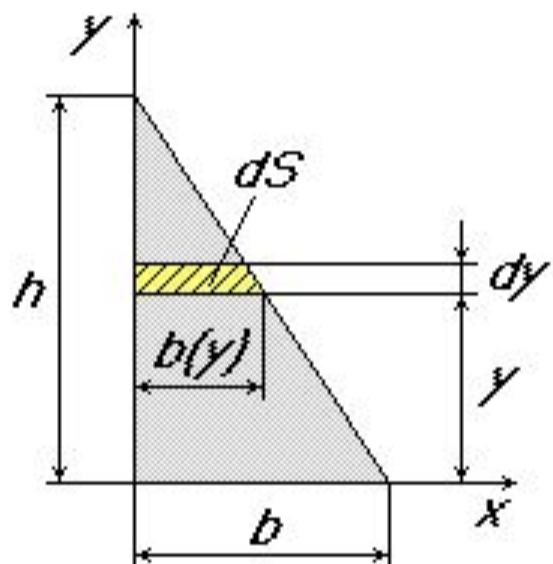
$$I_p = \int_0^{\frac{d}{2}} \rho^2 2\pi \rho \cdot d\rho = \frac{2\pi}{4} \rho^4 \Big|_0^{\frac{d}{2}} = \frac{\pi d^4}{32}.$$

$$I_p = I_x + I_y = 2I_x = 2I_y,$$

$$I_p = \frac{\pi d^4}{32}, \quad I_x = I_y = \frac{\pi d^4}{64}.$$

## ПРЯМОУГОЛЬНЫЙ ТРЕУГОЛЬНИК

Пример. Определение моментов инерции сечения относительно осей  $X$  и  $Y$ .



Дано:

Оси  $X$  и  $Y$

$b$  и  $h$

$$I_x - I_y = ?$$

$$I_x = \int_S y^2 dS$$

$$dS = b(y) dy = \frac{h}{b} (h - y) dy;$$

$$\frac{b(y)}{b} = \frac{h - y}{h}; \quad b(y) = \frac{b}{h} (h - y);$$

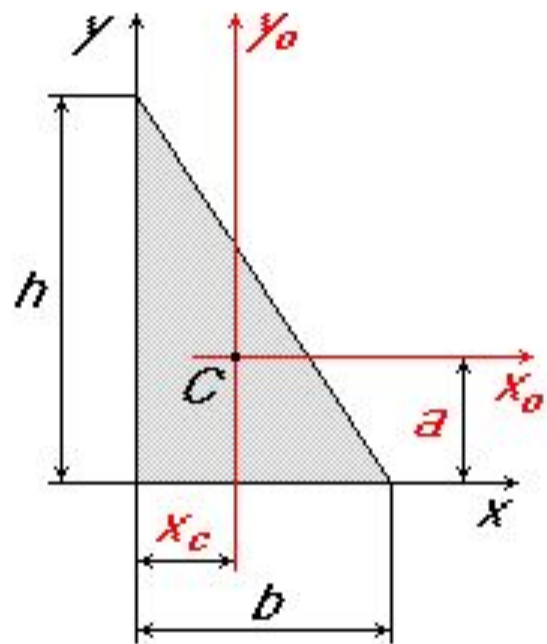
$$I_x = \int_0^h y^2 \frac{b}{h} (h - y) dy;$$

$$I_x = \frac{bh^3}{12}; \quad I_y = \frac{hb^3}{12}.$$

## ПРЯМОУГОЛЬНЫЙ ТРЕУГОЛЬНИК (продолжение)

**Пример.** Определение моментов инерции сечения относительно центральных осей  $x_o$  и  $y_o$ .

Дано:



Оси  $x_o$  и  $y_o$  - центральные оси;

$$b \text{ и } h; \quad a = \frac{h}{3}; \quad x_c = \frac{b}{3}.$$

$$I_x = \frac{bh^3}{12}.$$

---


$$I_{xo} \cdot I_{yo} = ?$$

$$I_{xo} = I_x - a^2 S = \frac{bh^3}{12} - \left(\frac{h}{3}\right)^2 \frac{1}{2} b h.$$

$$I_{xo} = \frac{bh^3}{36}; \quad I_{yo} = \frac{hb^3}{36}.$$

## ПРЯМОУГОЛЬНЫЙ ТРЕУГОЛЬНИК (продолжение)

Пример. Определим центробежный момент инерции сечения относительно центральных осей  $x_o$  и  $y_o$ .

Дано:  $b$  и  $h$

Оси  $x_o$  и  $y_o$  - центральные

$$I_{xo,yo} = ?$$

$x_1$  - ось симметрии фигуры 1;  $I_{x1,y1} = 0$

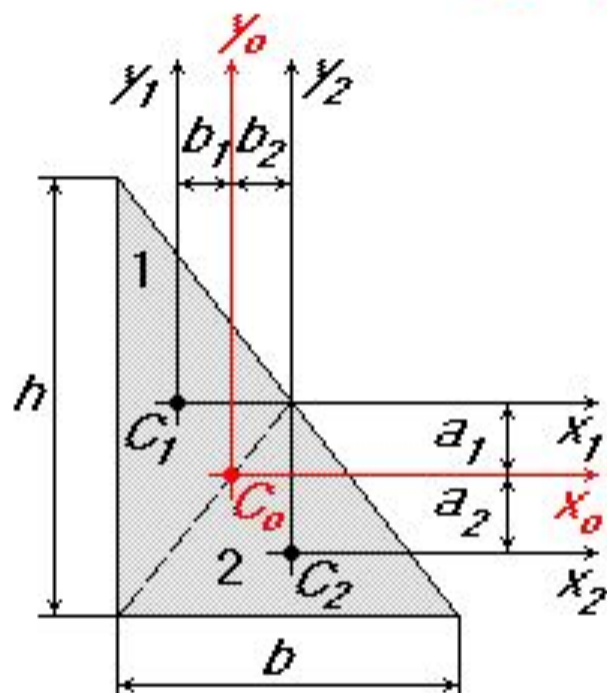
$y_2$  - ось симметрии фигуры 2;  $I_{x2,y2} = 0$

$$S_1 = S_2 = \frac{1}{2} h \cdot \frac{b}{2} = \frac{1}{2} \cdot \frac{h}{2} b = \frac{bh}{4}$$

$$b_1 = -\frac{1}{6} b; a_1 = \frac{1}{6} h; b_2 = \frac{1}{6} b; a_2 = -\frac{1}{6} h$$

$$I_{xo,yo} = I_{x1,y1} + a_1 b_1 S_1 + I_{x2,y2} + a_2 b_2 S_2 = -\frac{h}{6} \cdot \frac{b}{6} \cdot \frac{bh}{4} - \frac{h}{6} \cdot \frac{b}{6} \cdot \frac{bh}{4}$$

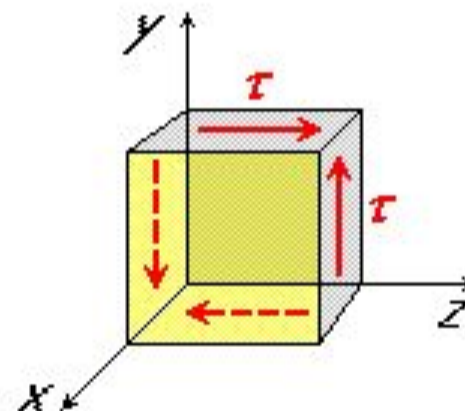
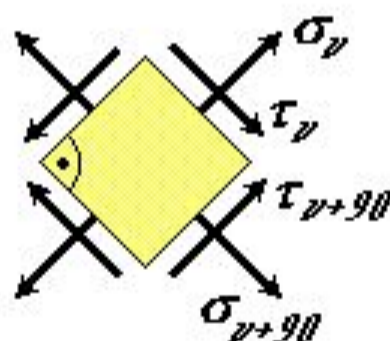
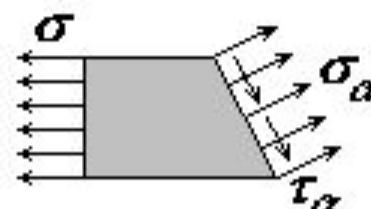
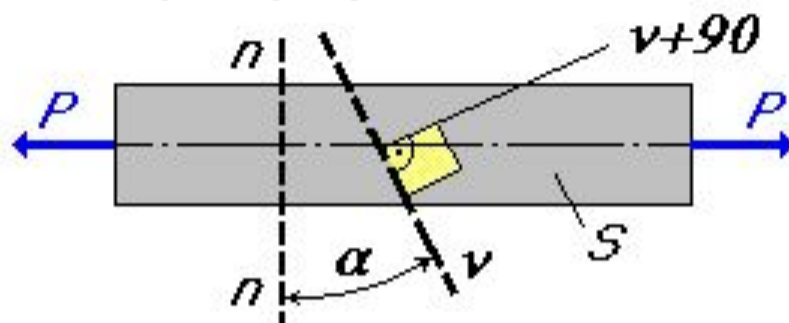
$$I_{xo,yo} = -\frac{b^2 h^2}{72}$$



# СДВИГ и КРУЧЕНИЕ

## Чистый сдвиг

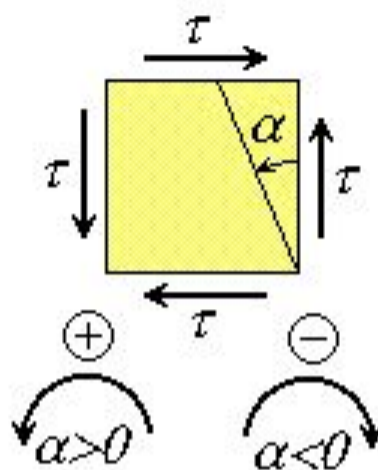
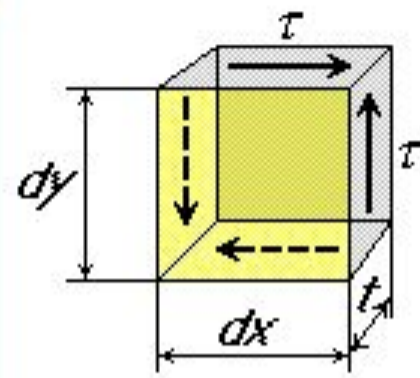
На примере растяжения



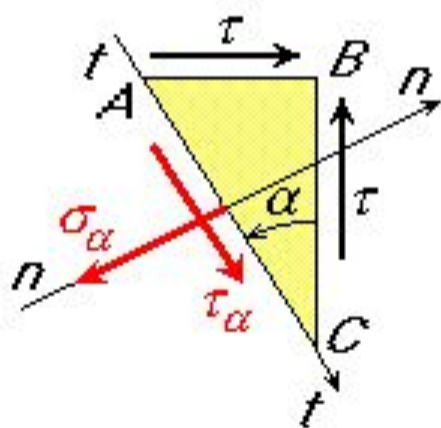
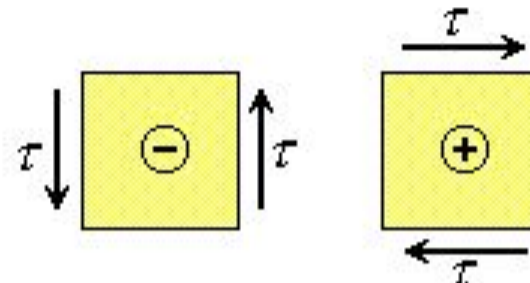
$$\tau_y = -\tau_{\nu+90^\circ}$$

**Чистый сдвиг** – напряженное состояние, на гранях прямоугольного параллелепипеда возникают только **касательные напряжения**.

# ИССЛЕДОВАНИЕ НАПРЯЖЕННОГО СОСТОЯНИЯ ПРИ ЧИСТОМ СДВИГЕ



Правило знаков:



$$\sum F_{n-n} = -\sigma_\alpha \cdot AC \cdot t + \tau \cdot AB \cdot t \cdot \cos \alpha + \tau \cdot BC \cdot t \cdot \sin \alpha = 0;$$

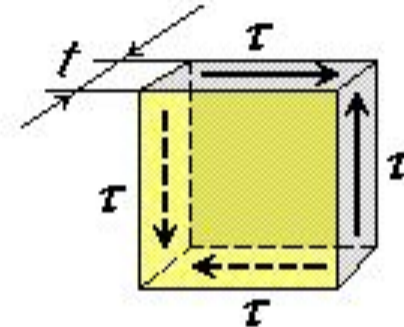
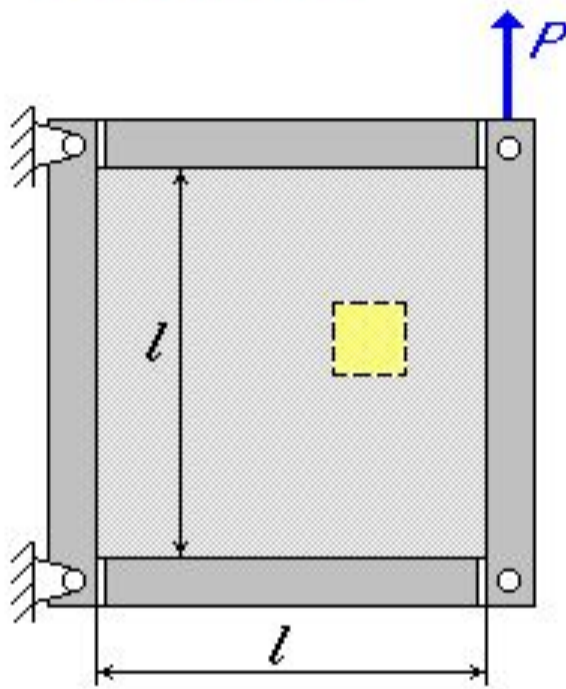
$$\sum F_{t-t} = \tau_\alpha \cdot AC \cdot t - \tau \cdot BC \cdot t \cdot \cos \alpha + \tau \cdot AB \cdot t \cdot \sin \alpha = 0;$$

$$\sigma_\alpha = \tau \cdot \sin 2\alpha;$$

$$\tau_\alpha = \tau \cdot \cos 2\alpha$$

# ОДНОРОДНЫЙ ЧИСТЫЙ СДВИГ

а) пластина

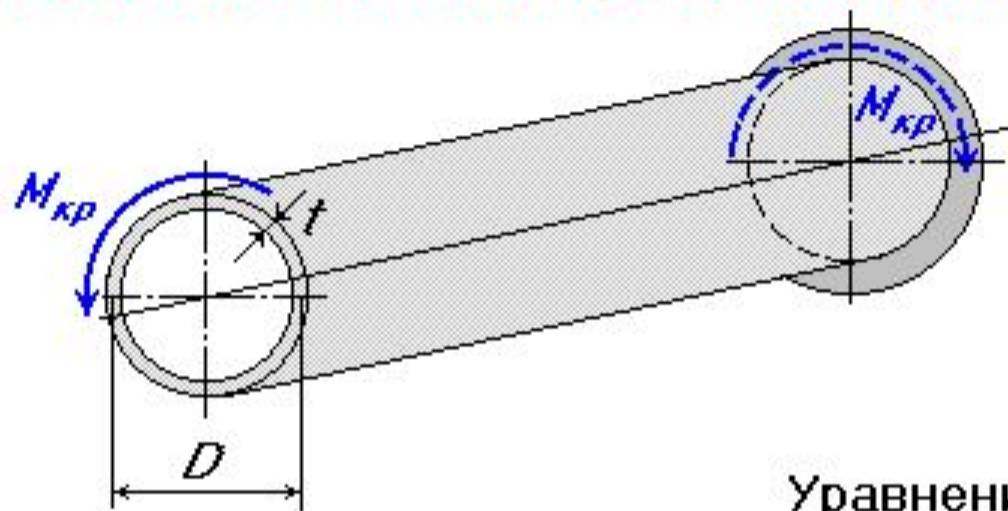


$$\tau = \frac{P}{l \cdot t}$$

$t$  - толщина пластины

## ОДНОРОДНЫЙ ЧИСТЫЙ СДВИГ (продолжение)

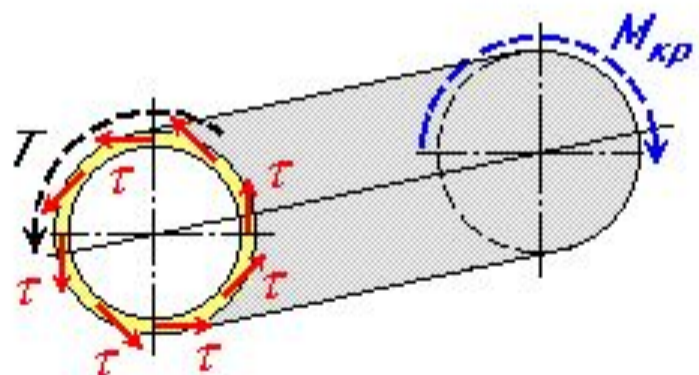
б) тонкостенная цилиндрическая трубка ( $t \ll D$ )



$t$  - толщина трубы;

$D$  - средний диаметр трубы;

Уравнения равновесия:



$\tau = \text{const.}$

$$T = M_{kp} ; \quad M_{kp} = T = \tau \cdot \pi \cdot D \cdot t \cdot \frac{D}{2} ;$$

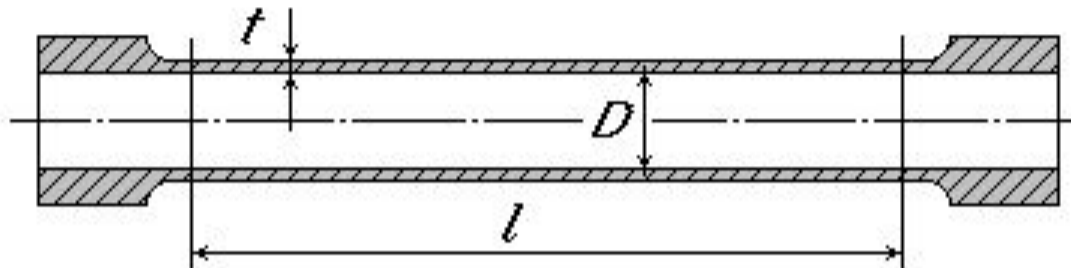
$$\tau = \frac{2T}{\pi D^2 t} ;$$

$$\tau = f(M_{kp}) ; \quad \tau = f(T).$$

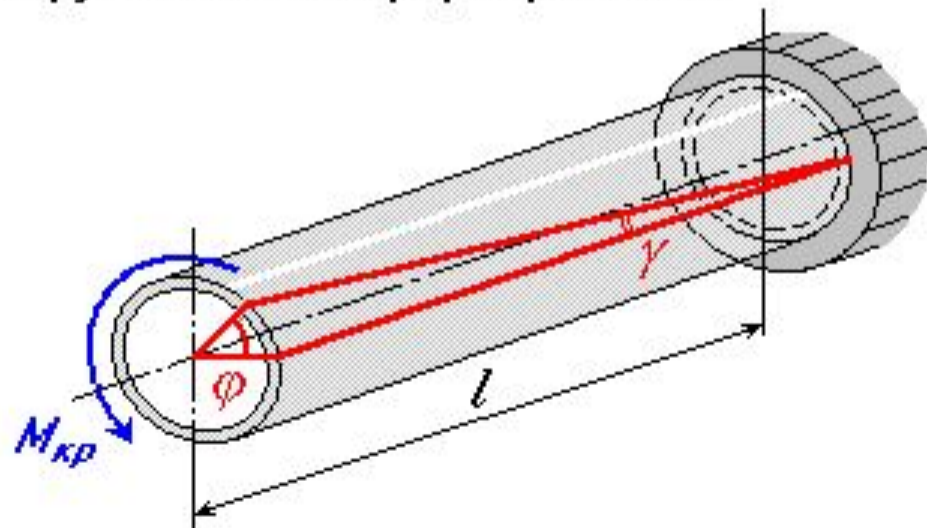
# ИСПЫТАНИЯ МАТЕРИАЛА В УСЛОВИЯХ ЧИСТОГО СДВИГА

Аналогично испытанию на растяжение и сжатие.

а) образец - тонкостенная трубка:

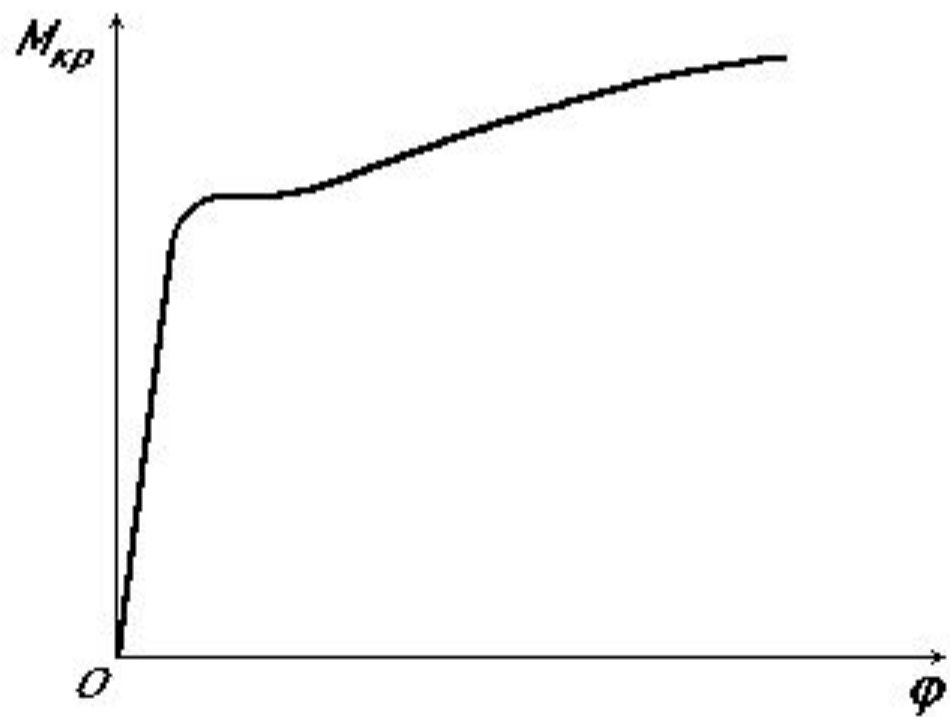


б) схема нагружения и деформирования:



## ДИАГРАММА СДВИГА (КРУЧЕНИЯ) ОБРАЗЦА ИЗ МАЛОУГЛЕРОДИСТОЙ СТАЛИ

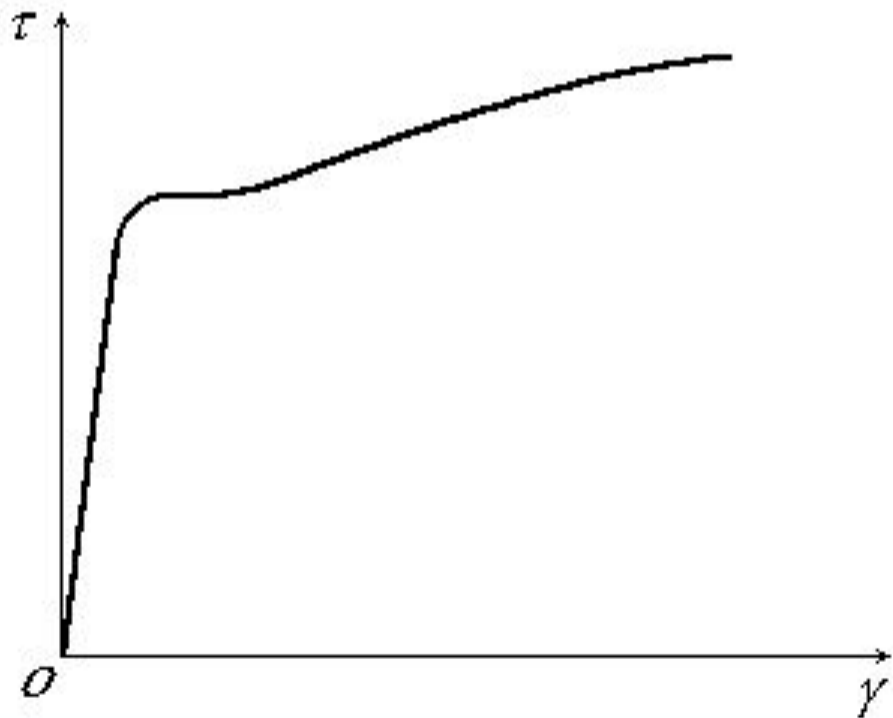
Во время испытаний замеряют  $M_{kp}$  и взаимный угол поворота сечений  $\phi$  на длине  $l$  - получают диаграмму  $M_{kp} = f(\phi)$



## ДИАГРАММА СДВИГА (КРУЧЕНИЯ) МАЛОУГЛЕРОДИСТОЙ СТАЛИ

При получении диаграммы сдвига для материала  $\tau = f(\gamma)$  перестроим диаграмму сдвига образца с помощью выражений:

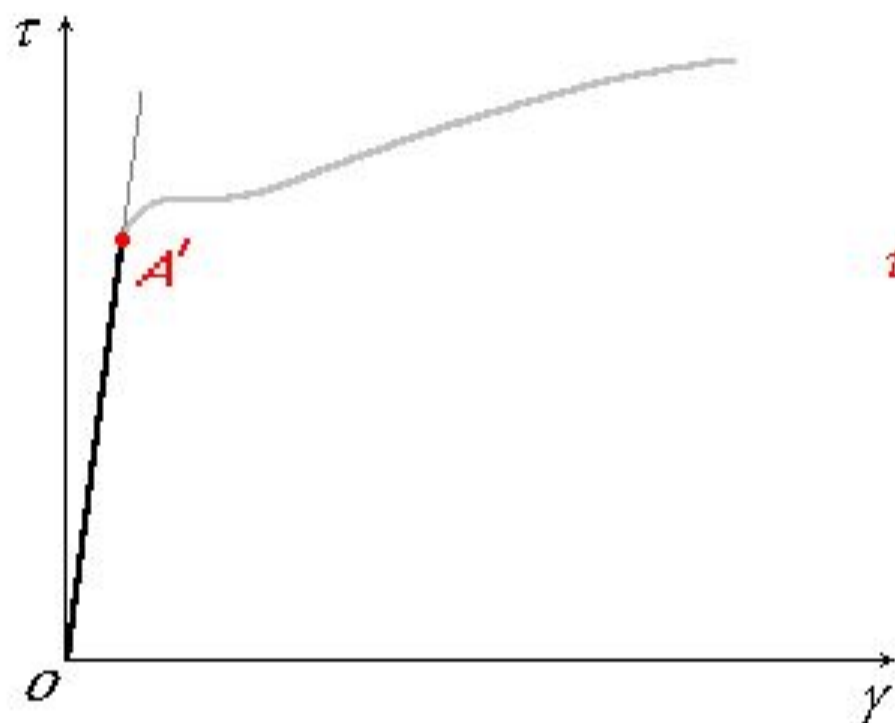
$$\tau = \frac{2M_{kp}}{\pi D^2 t} \quad \text{и} \quad \gamma = \frac{\varphi \cdot D}{2t}$$



Сопоставление диаграммы сдвига с диаграммой растяжения для одного и того же материала показывает их качественное сходство.

## ХАРАКТЕРНЫЕ ЗОНЫ

### Зона упругости



$OA'$  - зона упругости (прямая пропорциональности);

$\tau = G \cdot \gamma$  - закон Гука при сдвиге;

$G$  - модуль сдвига или модуль упругости II рода;

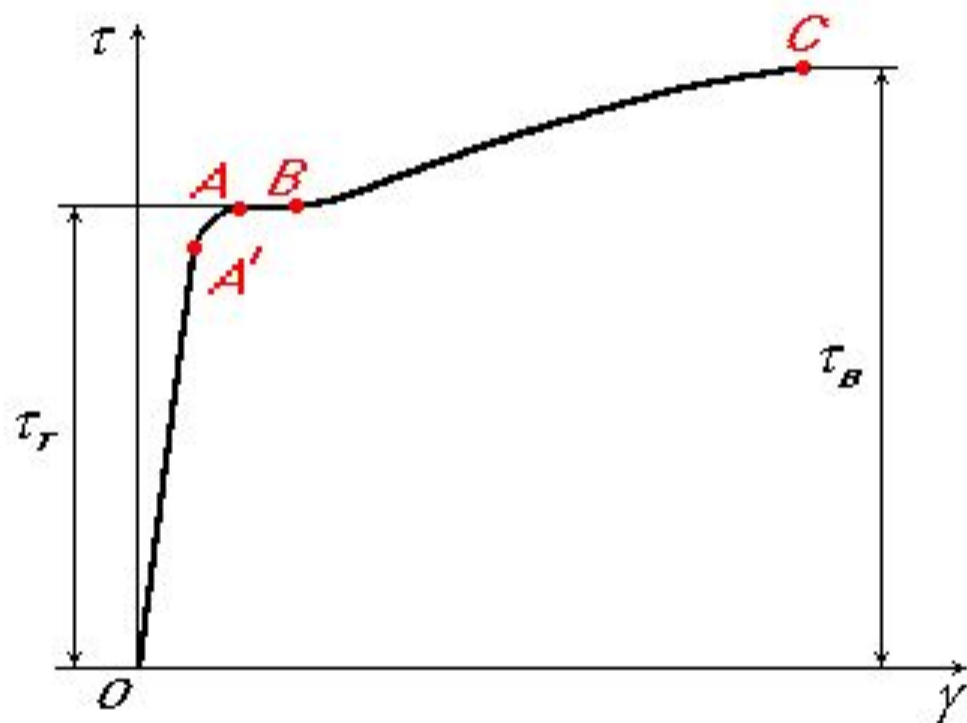
$$G = \frac{E}{2(1+\mu)} :$$

$E$  - модуль продольной упругости (I рода или модуль Юнга);

$\mu$  - коэффициент Пуассона.

## ХАРАКТЕРНЫЕ ЗОНЫ (продолжение)

### Зоны текучести и упрочнения



$AB$  - зона текучести  
(площадка текучести);

$\tau_y$  - предел текучести  
при сдвиге (кручении);  
 $\tau_y = (0,5 \dots 0,6) \sigma_r$

$BC$  - зона упрочнения;

$\tau_u$  - предел прочности  
(временное сопротивле-  
ние) при сдвиге.

# ПРОСТЕЙШИЕ ИССЛЕДОВАНИЯ НАПРЯЖЕННОГО СОСТОЯНИЯ ПРИ ЧИСТОМ СДВИГЕ

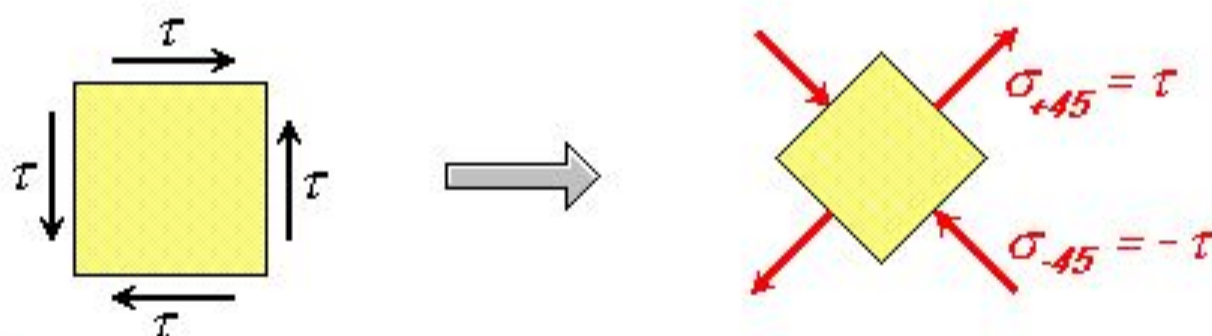
$$\tau_{\alpha} = \tau \cdot \cos 2\alpha; \quad \sigma_{\alpha} = \tau \cdot \sin 2\alpha;$$

1)  $\tau_{\alpha} = \tau_{\max} = \tau$ ;  $\cos 2\alpha = 1$ ;  $\alpha = 0^\circ$ ;  $\tau_{\max}$  - в поперечных сечениях;

2)  $\sigma_{\alpha} = \sigma_{\max} = \tau$ ;  $\sin 2\alpha = 1$ ;  $2\alpha = 90^\circ$ ;  $\alpha = 45^\circ$ :

a)  $\alpha = +45^\circ$ ;  $\sigma_{+45} = \tau$ ;  $\tau_{+45} = 0$ ;

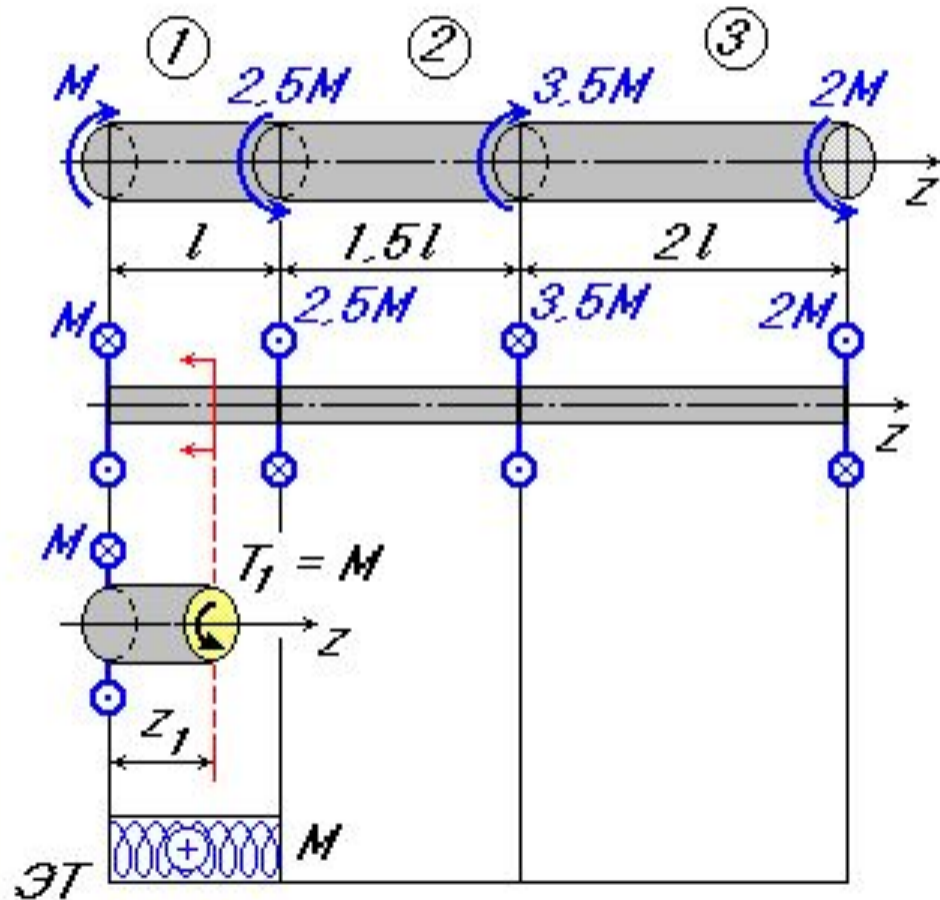
б)  $\alpha = -45^\circ$ ;  $\sigma_{-45} = -\tau$ ;  $\tau_{-45} = 0$ ;



Чистый сдвиг может быть представлен как одновременное растяжение и сжатие по двум взаимно перпендикулярным направлениям.

# ПОСТРОЕНИЕ ЭПЮРЫ КРУТИЩЕГО МОМЕНТА ПРИ КРУЧЕНИИ

График, показывающий изменение крутящего момента по длине стержня (вала), называется эпюрой крутящих моментов  $\mathcal{M}$ .



## Пример 1.

Вал под действием внешних (скручивающих) моментов находится в равновесии:

$$\sum M_z = M - 2.5M + 3.5M - 2M = 0;$$

С помощью метода сечений определим крутящие моменты в поперечных сечениях вала. Разобьем вал на три участка.

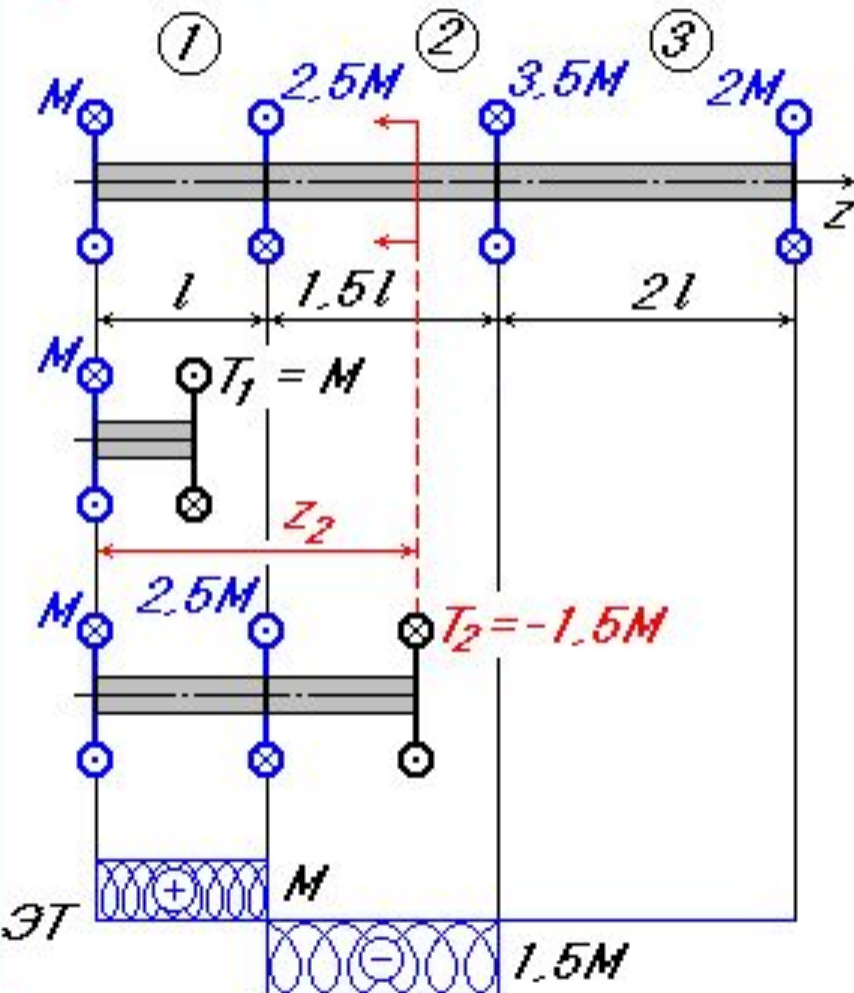
1-й участок ( $0 < z_f < l$ )

$$T_f = M$$

# ПОСТРОЕНИЕ ЭПЮРЫ КРУТИЩЕГО МОМЕНТА ПРИ КРУЧЕНИИ

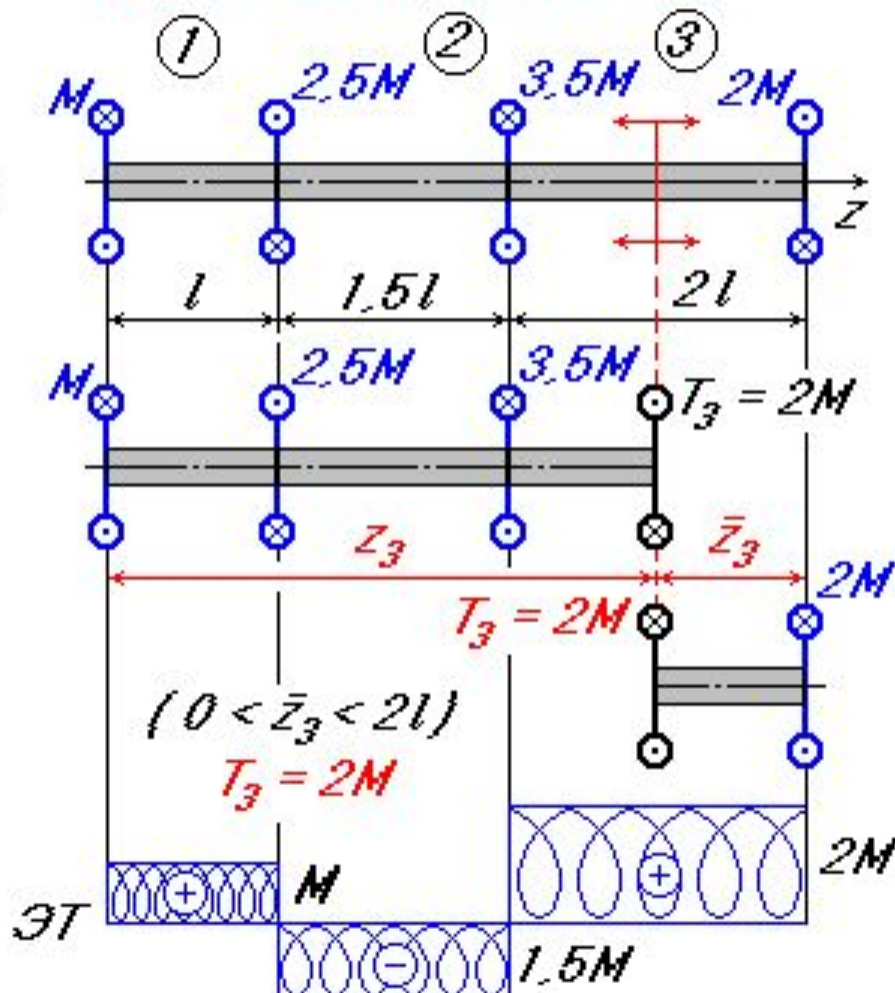
2-й участок ( $l < z_2 < 2.5l$ )

$$T_2 = M - 2.5M = -1.5M$$



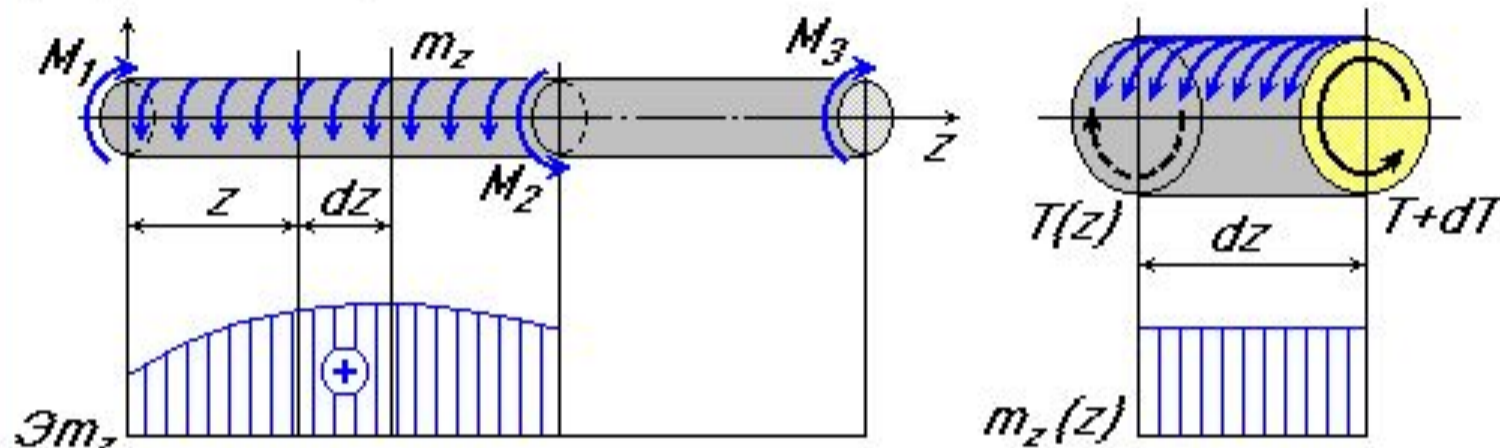
3-й участок ( $2.5l < z_3 < 4.5l$ )

$$T_3 = M - 2.5M + 3.5M = 2M$$



# ДИФФЕРЕНЦИАЛЬНАЯ ЗАВИСИМОСТЬ МЕЖДУ КРУТЯЩИМ МОМЕНТОМ И ИНТЕНСИВНОСТЬЮ СКРУЧИВАЮЩЕГО МОМЕНТА

Вал (стержень) находится в равновесии под действием системы внешних (скручивающих) моментов.



Бесконечно малый отрезок  $dz$  находится в равновесии под действием распределенных скручивающих моментов  $m_z$  и крутящих моментов, отличающихся на бесконечно малую величину  $dT$ :

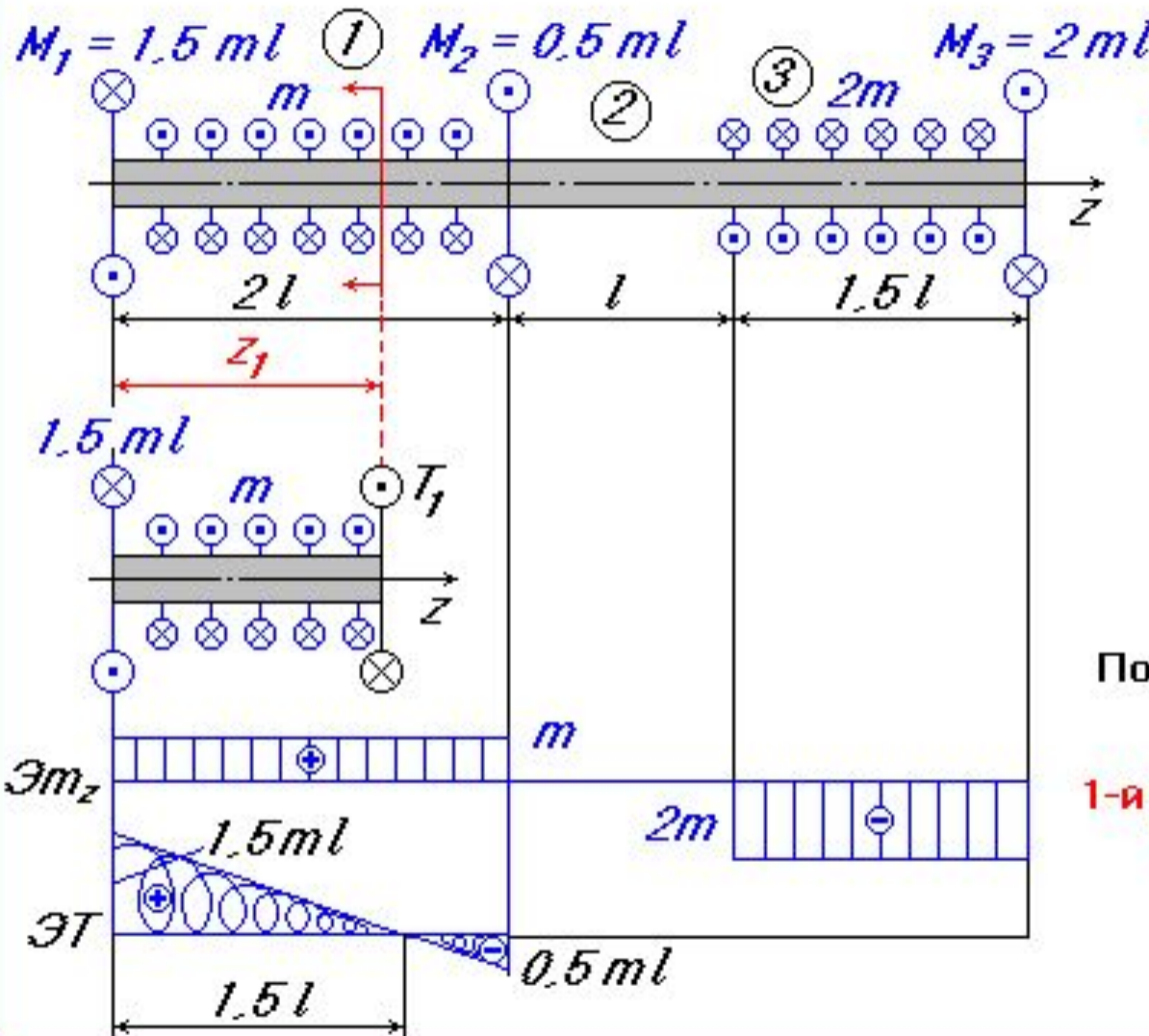
$$\sum M_z = T(z) - m_z dz - (T + dT) = 0; \quad \frac{dT}{dz} = -m_z;$$

После интегрирования:  $T(z) = T(0) - \int_0^z m_z dz$

Здесь  $T(0)$  - постоянная интегрирования - значение крутящего момента в начале участка (при  $z = 0$ ).

# ПОСТРОЕНИЕ ЭПЮРЫ КРУТИЩЕГО МОМЕНТА

Уравнение равновесия:  $\sum M_z = 1.5ml - m \cdot 2l - 0.5ml + 2m \cdot 1.5l - 2ml = 0$



**Пример 2.** Заданы

скручивающие  
сосредоточенные  
моменты:

$$M_1 = 1.5ml,$$

$$M_2 = 0.5ml,$$

$$M_3 = 2ml$$

и распределенные  
моменты  $m$  и  $2m$ .

Построить  $\mathcal{M}_z$  и  $\mathcal{T}$ .

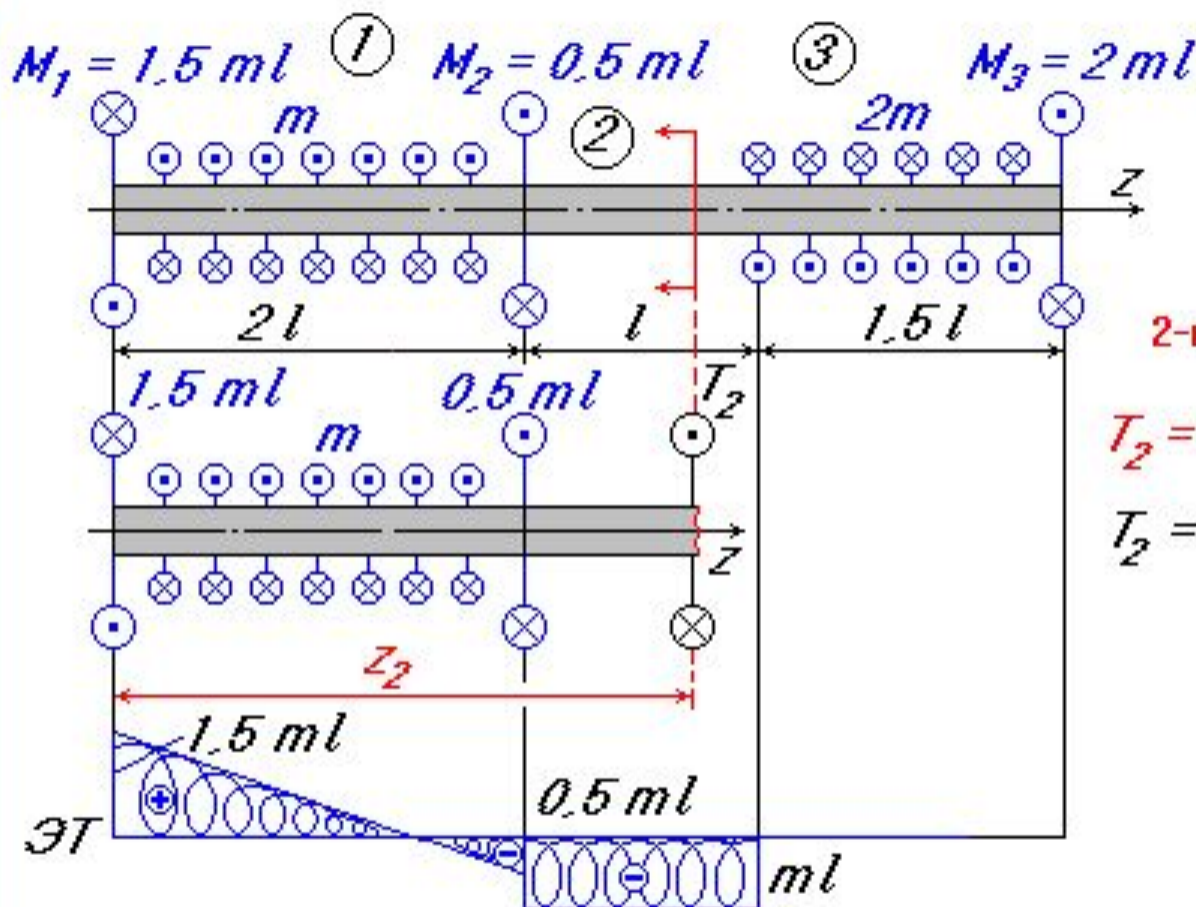
1-й участок ( $0 < z_1 < 2l$ )

$$T_1 = 1.5ml - m \cdot z_1$$

$$T(0) = 1.5ml;$$

$$T(2l) = -0.5ml.$$

## ПОСТРОЕНИЕ ЭПЮРЫ КРУТИЩИХ МОМЕНТОВ (продолжение)



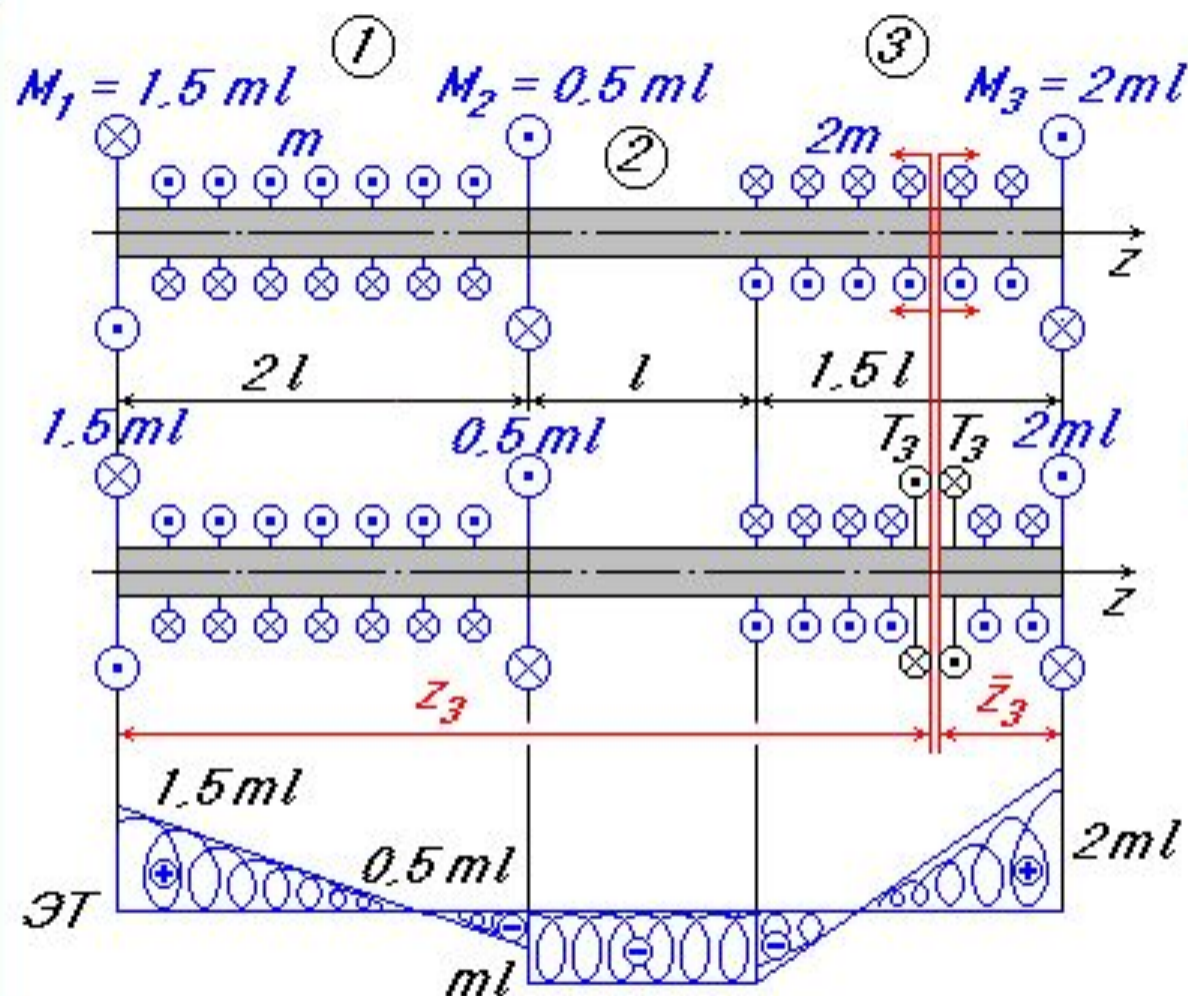
Пример 2.

2-й участок ( $2l < z_2 < 3l$ )

$$T_2 = 1.5ml - m \cdot 2l - 0.5ml$$

$$T_2 = -ml = \text{const.}$$

## ПОСТРОЕНИЕ ЭПЮРЫ КРУТИЩИХ МОМЕНТОВ (продолжение)



Пример 2.  
3-й участок

$$(3l < z_3 < 4.5l)$$

$$T_3 = 1.5ml - m \cdot 2l - \\ - 0.5ml + 2m(z - 3l)$$

$$(0 < \bar{z}_3 < 1.5l)$$

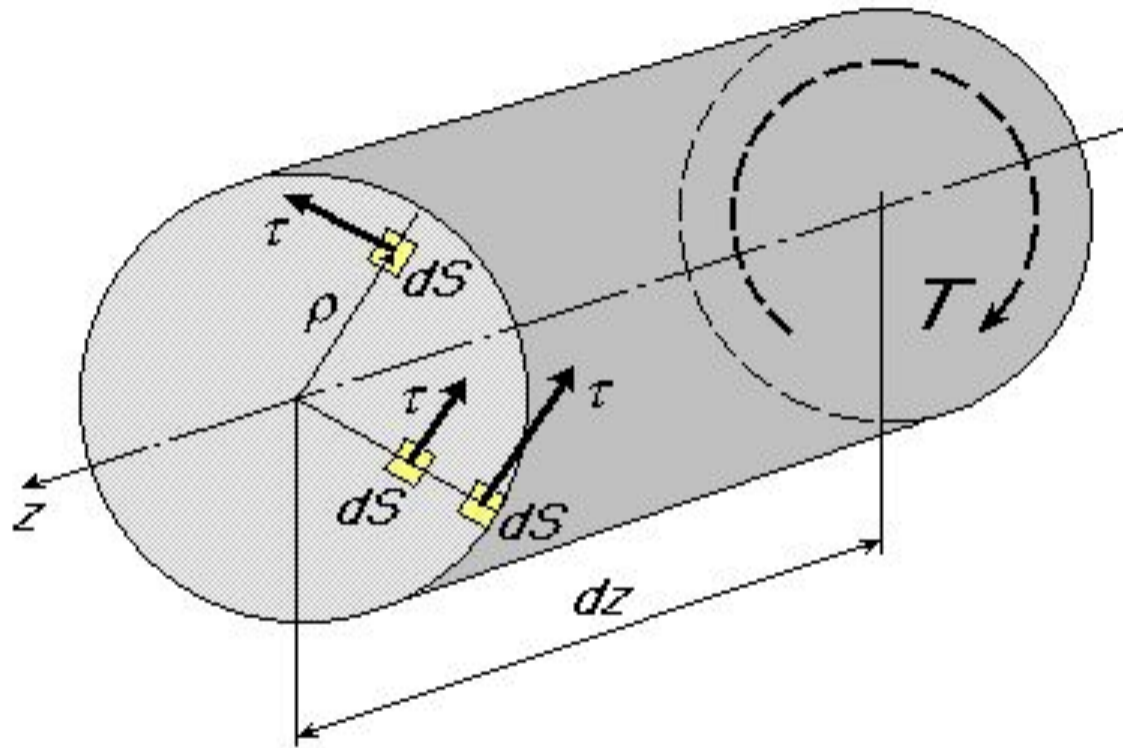
$$T_3 = 2ml - 2m\bar{z}_3$$

$$T_3(0) = 2ml$$

$$T_3(1.5l) = -ml$$

# 1. СТАТИЧЕСКАЯ СТОРОНА ЗАДАЧИ

Рассмотрим равновесие части стержня длиной  $dz$



$$\sum M_z = 0:$$

$$T = \int \tau \rho dS \quad (1)$$

условия равновесия

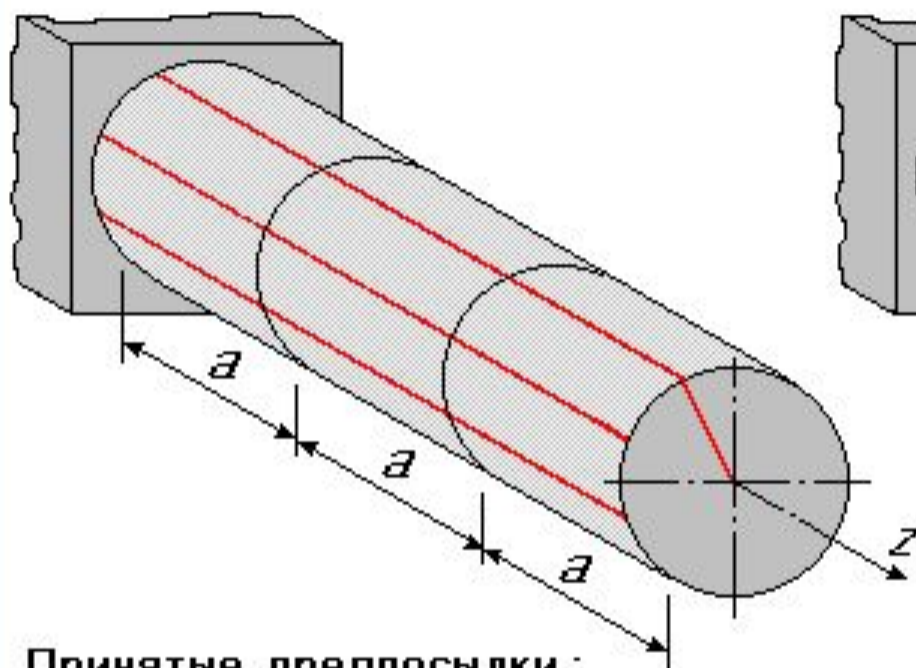
$T$  - крутящий момент;

$\rho$  - расстояние от оси  $z$  вращения вала до площадки  $dS$ ;

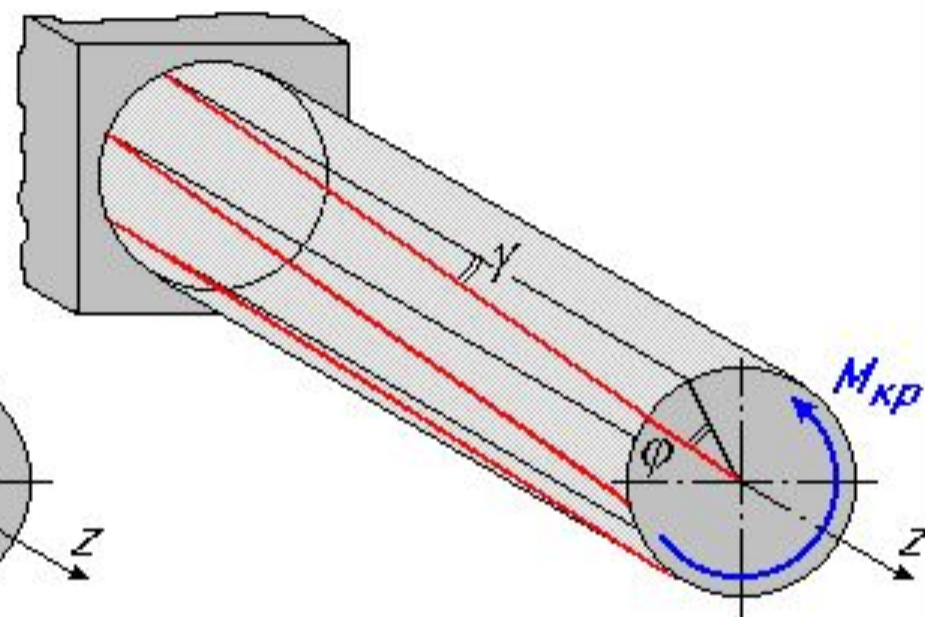
Из условия равновесия (1) нельзя найти  $\tau = \tau(\rho)$ , так как выражению (1) удовлетворяют разные законы изменения  $\tau$  от  $\rho$ .

## 2. ГЕОМЕТРИЧЕСКАЯ СТОРОНА ЗАДАЧИ

а) Вал до нагружения  
(до деформации)



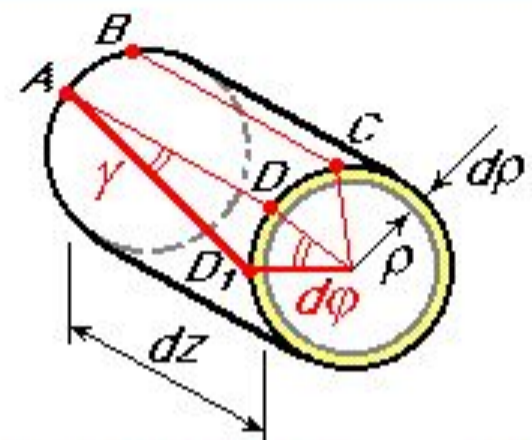
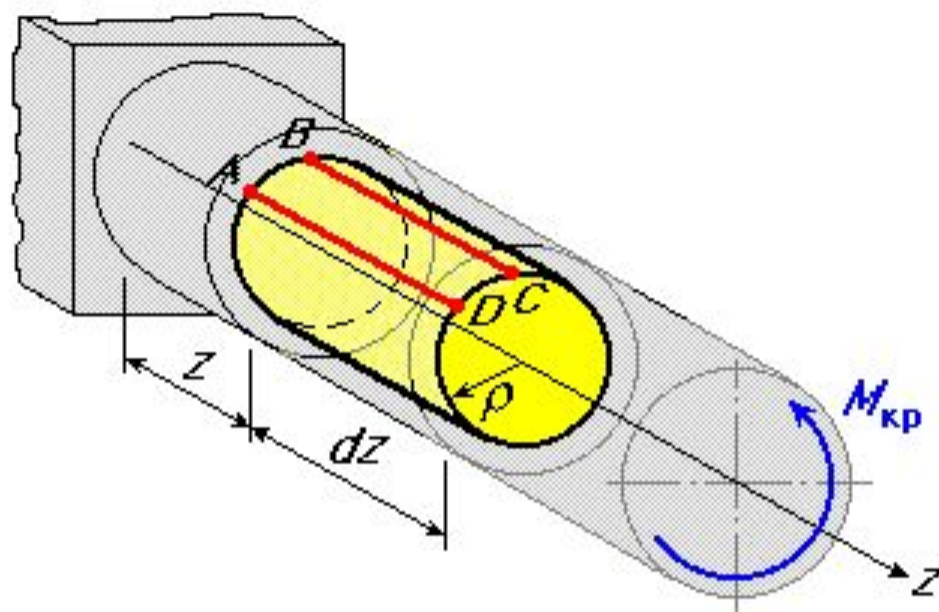
б) Вал в деформированном виде  
(после нагружения)



Принятые предпосылки:

- 1) Поперечные сечения, плоские до деформации, остаются плоскими и после деформации (гипотеза плоских сечений - гипотеза Бернулли)
- 2) Радиусы в поперечных сечениях остаются прямыми и лежат в тех же плоскостях. Они поворачиваются на некоторый угол.
- 3) Расстояние между поперечными сечениями остаются неизменными и после деформации.

## 2. ГЕОМЕТРИЧЕСКАЯ СТОРОНА ЗАДАЧИ ( продолжение )



$$DD_1 = \rho d\varphi = \gamma dz \quad (2)$$

- условия совместности деформаций ;

$d\varphi$  - угол поворота правого торцевого сечения DC относительно левого сечения AB ;

$\gamma$  - угол сдвига цилиндрической поверхности.

Из выражения (2) имеем  $\gamma = \rho \frac{d\varphi}{dz} \quad (2^*)$

Обозначим:  $\theta = \frac{d\varphi}{dz}$  - относительный угол закручивания.

$$\gamma = \rho \theta \quad (2^{**})$$

### 3. ФИЗИЧЕСКАЯ СТОРОНА ЗАДАЧИ

Для решения статических уравнений используем зависимость между напряжениями и деформациями (в пределах упругости - закон Гука):

$$\tau = G \gamma \quad (3) \quad \text{- закон Гука при сдвиге.}$$

Решаем систему уравнений (1) - (3) трех сторон задачи:

$$\tau = \rho G \theta \quad (4) \quad \text{Для сечения } G\theta = \text{const}$$

$\tau = f(\rho)$  - линейная функция.

Выражение (4) в уравнение (1):

$$T = \int_S \tau \rho dS = \int_S \rho G \theta \rho dS = G \theta \int_S \rho^2 dS$$

Обозначим:  $I_p = \int_S \rho^2 dS$  - полярный момент инерции сечения.

$$T = G I_p \theta \quad \text{или} \quad \theta = \frac{T}{G I_p} \left[ \frac{\text{рад}}{\text{м}} \right] \quad (5)$$

$G I_p$  - жесткость сечения вала при кручении.

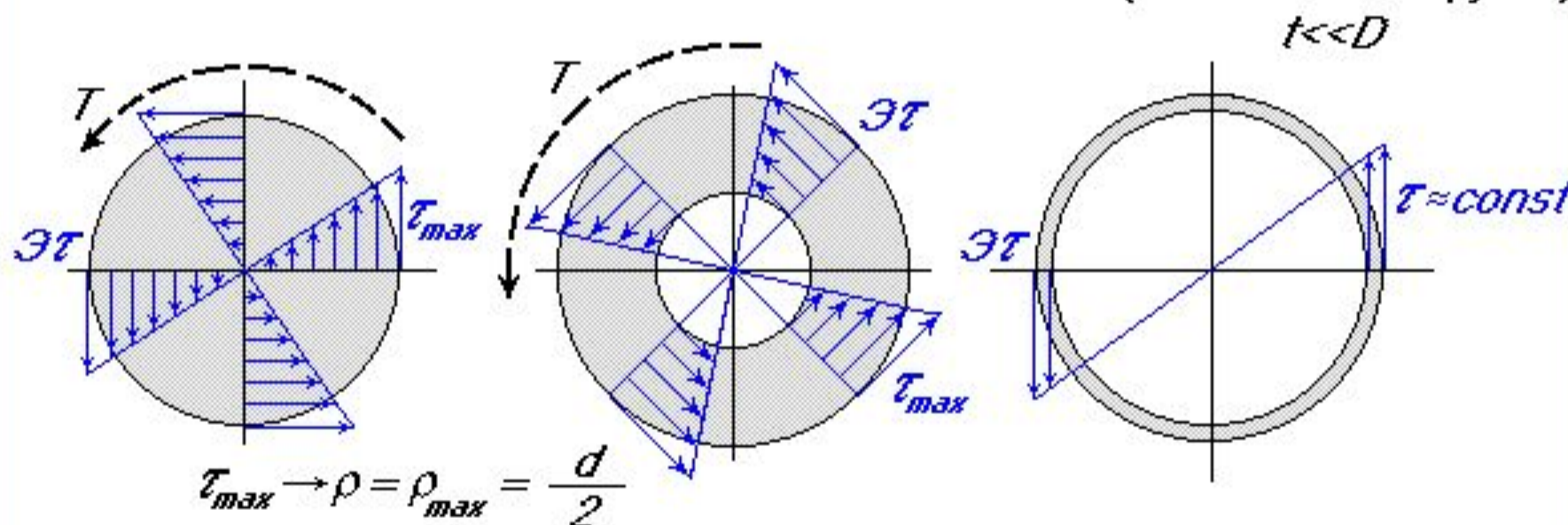
# РАСПРЕДЕЛЕНИЕ КАСАТЕЛЬНЫХ НАПРЯЖЕНИЙ ПО СЕЧЕНИЮ ПРИ КРУЧЕНИИ

Выражение (5) в выражение (4)

$$\tau = \rho G \theta = \rho G \frac{T}{G I_p};$$

$$\boxed{\tau = \frac{T}{I_p} \rho} \quad (\text{II})$$

- а) сплошное круглое сечение    б) кольцевое сечение    в) тонкостенное кольцевое сечение (тонкостенная трубка)



$$\tau_{\max} \rightarrow \rho = \rho_{\max} = \frac{d}{2}$$

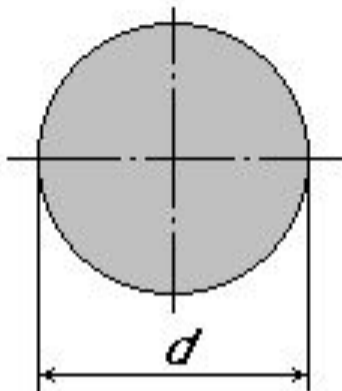
$$\tau_{\max} = \frac{T}{I_p} \rho_{\max} \cdot W_p = \frac{I_p}{\rho_{\max}} - \text{полярный момент сопротивления}$$

при кручении круглого поперечного сечения

# ОПРЕДЕЛЕНИЕ ПОЛЯРНОГО МОМЕНТА СОПРОТИВЛЕНИЯ

Полярный момент сопротивления круглого поперечного сечения при кручении.

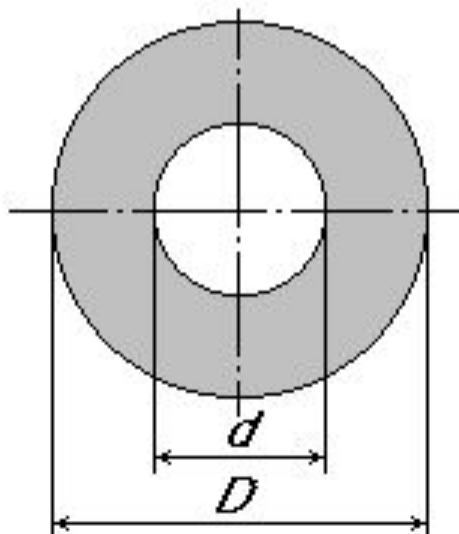
а) сплошное круглое сечение



$$W_p = \frac{I_p}{\rho_{max}} ; \quad I_p = \frac{\pi d^4}{32} ; \quad \rho_{max} = \frac{d}{2} ;$$

$$W_p = \frac{\pi d^3}{16}$$

б) кольцевое сечение



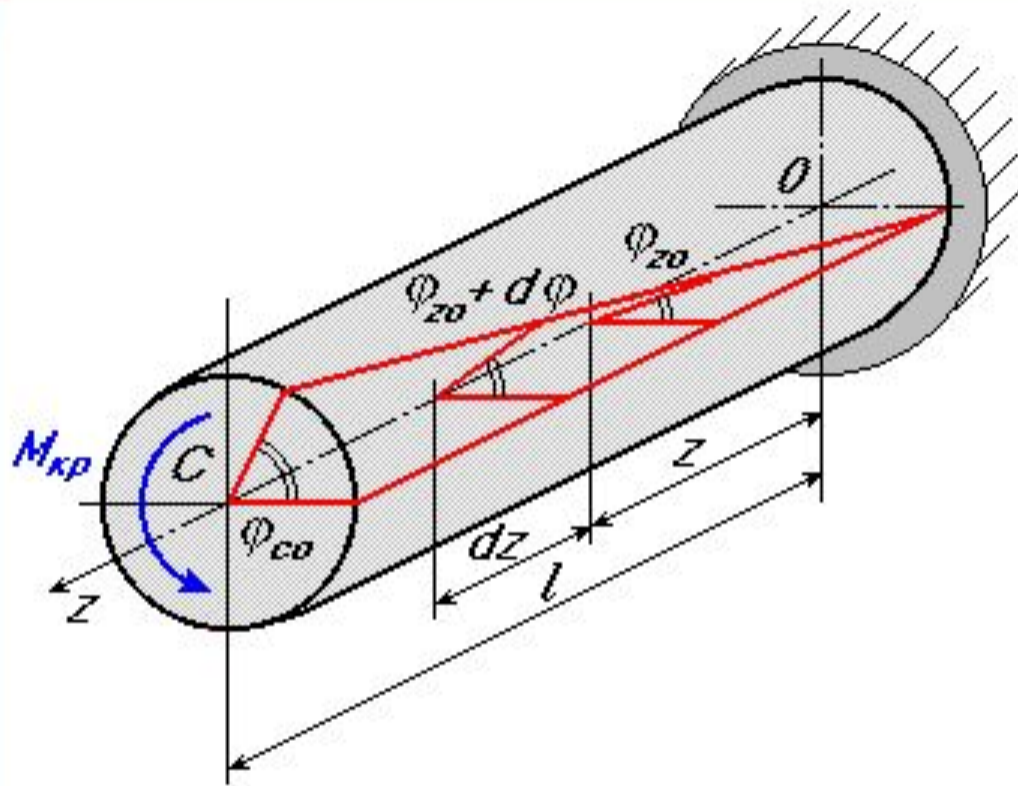
$$I_p = \frac{\pi D^4}{32} - \frac{\pi d^4}{32} = \frac{\pi D^4}{32} (1 - c^4)$$

$$c = \frac{d}{D} ; \quad \rho_{max} = \frac{D}{2} ;$$

$$W_p = \frac{I_p}{\rho_{max}} = \frac{\pi D^3}{16} (1 - c^4) ;$$

~~$$W_p = \frac{\pi D^3}{16} - \frac{\pi d^3}{16}$$~~

## ОПРЕДЕЛЕНИЕ ПЕРЕМЕЩЕНИЙ ПРИ КРУЧЕНИИ



$$\theta = \frac{d\phi}{dz} = \frac{T}{GI_p},$$

$$d\phi = \frac{T dz}{GI_p},$$

$$\phi_{zo} = \int_0^z \frac{T dz}{GI_p},$$

$$\phi_{co} = \int_0^l d\phi = \int_0^l \frac{T dz}{GI_p},$$

Для постоянного сечения с постоянным крутящим моментом:

$$\phi_{zo} = \frac{T z}{GI_p},$$

$$\phi_{co} = \frac{T l}{GI_p}.$$

# УСЛОВИЯ ПРОЧНОСТИ И ЖЕСТКОСТИ ПРИ КРУЧЕНИИ

Вал круглого поперечного сечения.

а) Условия прочности:

$$\max \tau < [\tau], \quad [\tau] = \frac{\bar{\tau}}{[\sigma]}$$

$\bar{\tau} = \begin{cases} \tau_p - \text{пластичный материал;} \\ \tau_s - \text{хрупкий материал;} \end{cases}$

$$\max \tau = \frac{T_{\max}}{W_p} \leq [\tau].$$

Порядок расчета:

1. Выбор опасного сечения — ЭТ
2. Выбор опасной точки в сечении — Эт
3. Материал вала
4. Условия прочности

## УСЛОВИЯ ПРОЧНОСТИ И ЖЕСТКОСТИ ПРИ КРУЧЕНИИ (продолжение)

б) Условия жесткости:

$$1) \max \theta = \frac{T_{\max}}{G I_p} \leq [\theta]$$

$$2) \max \phi = [\phi]$$

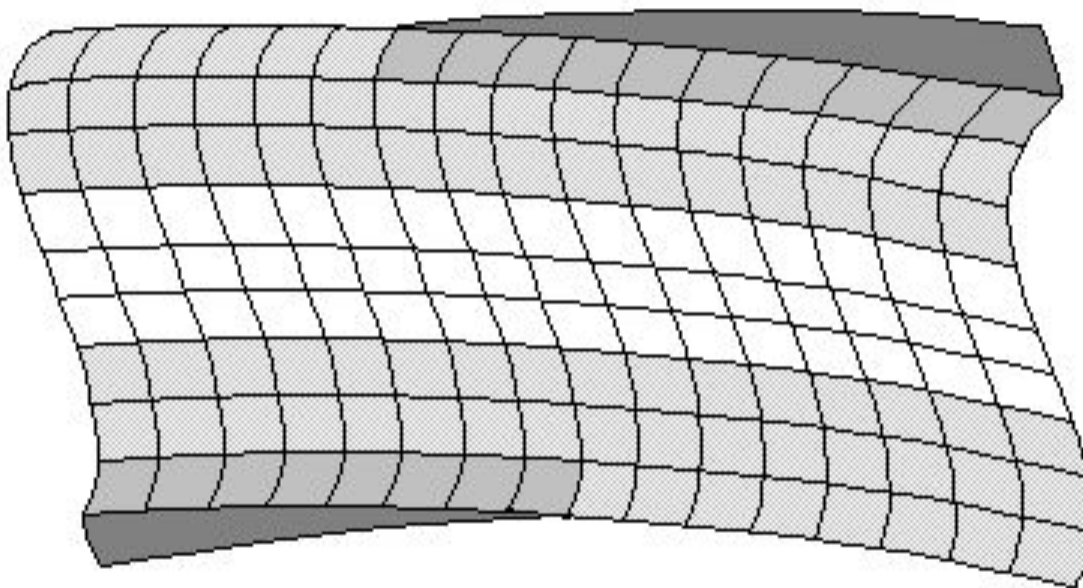
Здесь:  $[\theta]$  и  $[\phi]$  - допустимые углы закручивания  
(относительный и абсолютный);

Порядок расчета:

1. Построение эпюры крутящих моментов (ЭТ)
2. Выбор опасного относительного угла закручивания  $\mathcal{E}\theta$
3. Выбор наибольшего угла закручивания  $\mathcal{E}\phi$
4. Условия жесткости по  $\max \theta$  и  $\max \phi$ .

## КРУЧЕНИЕ СТЕРЖНЯ (ВАЛА) С НЕКРУГЛЫМ ПОПЕРЕЧНЫМ СЕЧЕНИЕМ

Задача об определении напряжений в стержне не может быть решена методами сопротивления материалов. Гипотеза плоских сечений не применима.



Сечения стержня заметно искривляются.  
Общие соображения относительно распределения  $\tau$  и приведены  
готовые формулы.

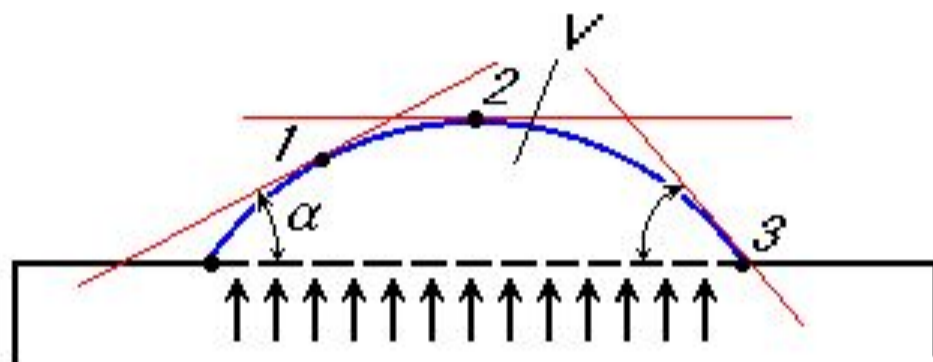
## ПОНЯТИЕ О МЕМБРАННОЙ (ПЛЕНОЧНОЙ) АНАЛОГИИ

В задачах механики совершенно различные по физической сущности задачи сводятся к одним и тем же дифференциальным уравнениям. Задача о кручении стержня любого поперечного сечения сводится к тому же дифференциальному уравнению, что и задача о равновесии пленки, натянутой по контуру того же очертания и нагруженной равномерно распределенным давлением.



- а) направление  $\tau$  в какой-либо точке сечения стержня совпадает с касательной к горизонтали изогнутой поверхности пленки;

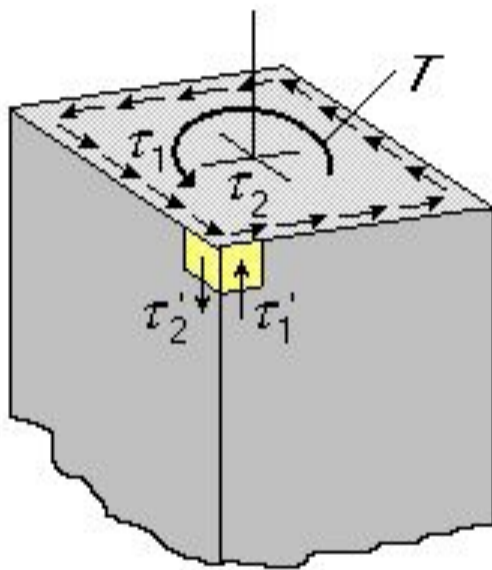
## ПОНЯТИЕ О МЕМБРАННОЙ (ПЛЕНОЧНОЙ) АНАЛОГИИ (продолжение)



- б) величина  $\tau \Rightarrow \text{tg } \alpha$  в точке поперечного сечения пропорционально тангенсу угла между линией наибольшего ската в соответствующей точке и плоскостью сечения.
- в) аналогом крутящего момента  $T$  является объем, заключенный между поверхностью пленки и плоскостью контура сечения.

$$T \Rightarrow V$$

## КРУЧЕНИЕ СТЕРЖНЯ ПРЯМОУГОЛЬНОГО ПОПЕРЕЧНОГО СЕЧЕНИЯ



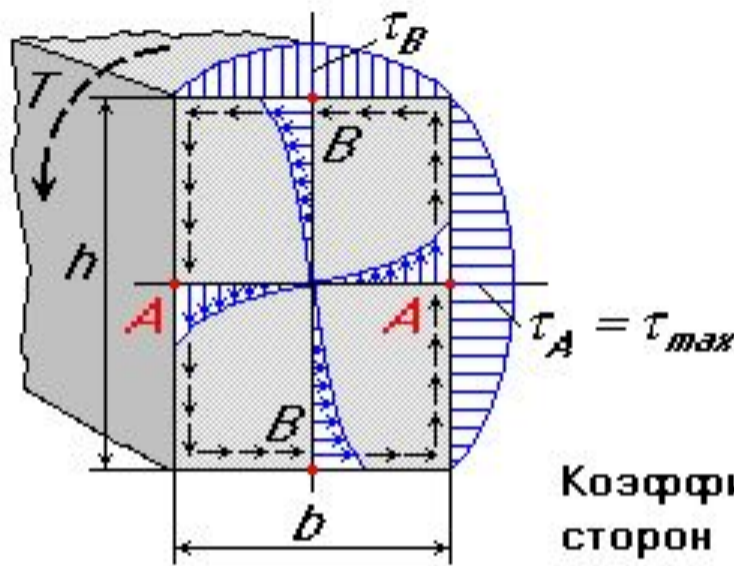
$$\tau_1 = \tau_1' = \theta;$$

$$\tau_2 = \tau_2' = \theta.$$

Касательные напряжения  
вблизи внешнего угла  
в поперечном сечении отсутствуют.

Касательные напряжения  $\tau$   
вблизи контура направлены  
по касательной к контуру.

## КРУЧЕНИЕ СТЕРЖНЯ ПРЯМОУГОЛЬНОГО ПОПЕРЕЧНОГО СЕЧЕНИЯ (продолжение)



$$\tau_A = \tau_{\max} = \frac{T}{\alpha h b^2};$$

$$\tau_B = \eta \tau_{\max};$$

*h*- большая, *b*- малая стороны  
прямоугольника;

$$\theta = \frac{T}{G\beta h b^3}, \quad \varphi = \frac{Tl}{G\beta h b^3}$$

Коэффициенты  $\alpha$ ,  $\beta$  и  $\eta$  зависят от отношения сторон  $h/b$  и числовые значения приведены в таблице.

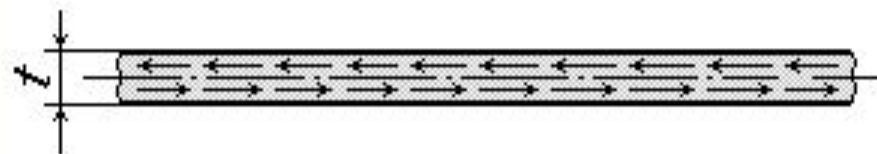
| $h/b$    | 1,0   | 1,5   | 2,0   | 2,5   | 3,0   | 10    | $\infty$ |
|----------|-------|-------|-------|-------|-------|-------|----------|
| $\alpha$ | 0,208 | 0,231 | 0,246 | 0,258 | 0,267 | 0,313 | 0,333    |
| $\beta$  | 0,141 | 0,196 | 0,229 | 0,249 | 0,263 | 0,313 | 0,333    |
| $\eta$   | 1,000 | 0,859 | 0,795 | 0,766 | 0,753 | 0,742 | 0,742    |

$W_k = \alpha h b^2$  - геометрический фактор прочности;

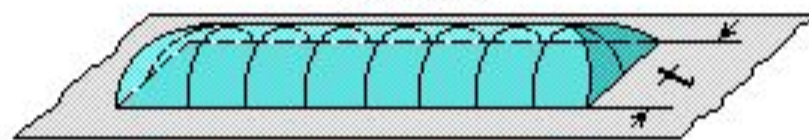
$I_k = \beta h b^3$  - геометрический фактор жесткости.

# КРУЧЕНИЕ ТОНКОСТЕННОГО СТЕРЖНЯ ОТКРЫТОГО ПРОФИЛЯ

## Типичные формы профилей



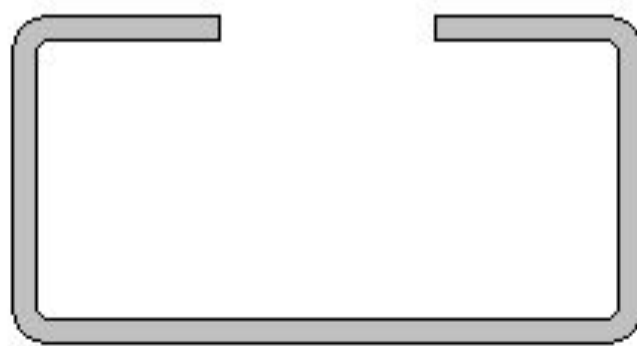
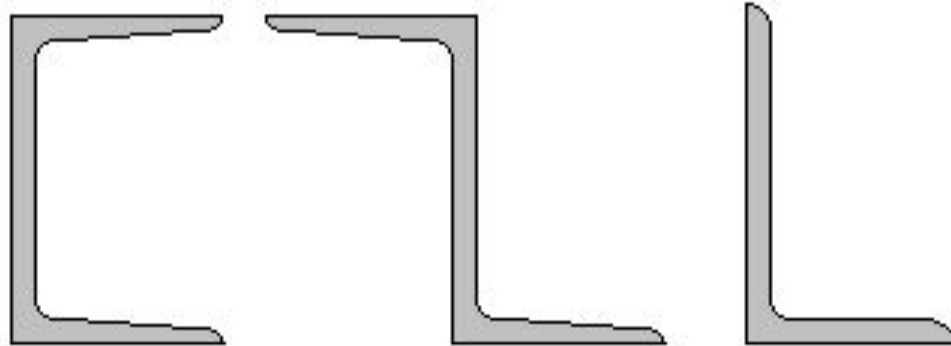
пленка



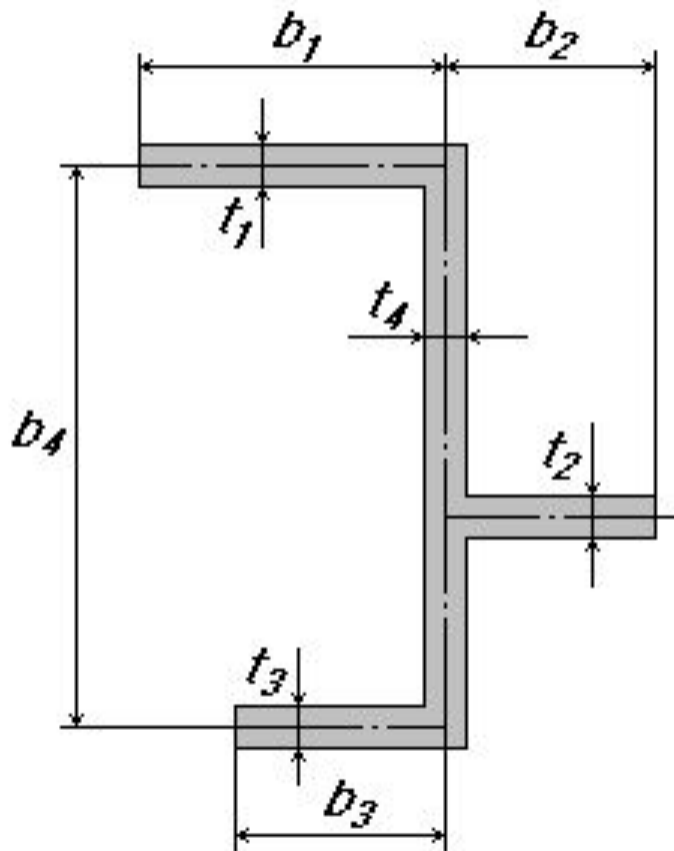
жесткая пластина



пленка



## КРУЧЕНИЕ ТОНКОСТЕННОГО СТЕРЖНЯ ОТКРЫТОГО ПРОФИЛЯ (продолжение)



$$\tau_{\max} = \frac{T \cdot t_{\max}}{I_k}; \quad \theta = \frac{T}{G \cdot I_k};$$

$$\phi = \frac{Tl}{G \cdot I_k}; \quad I_k = \frac{l}{3} \eta \sum_{i=1}^n b_i t_i^3;$$

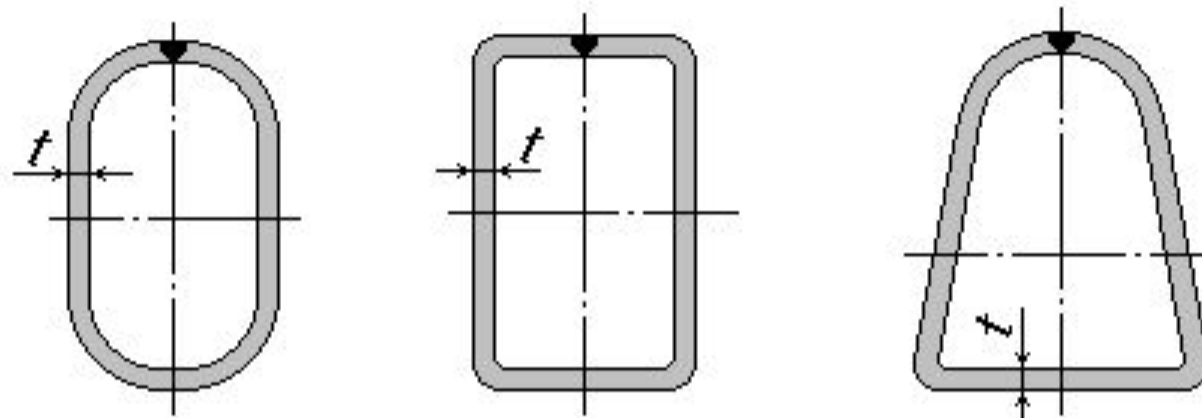
$I_k$  - геометрический фактор жесткости при кручении открытого профиля;

$\eta$  - коэффициент, учитывающий места перехода сечений.

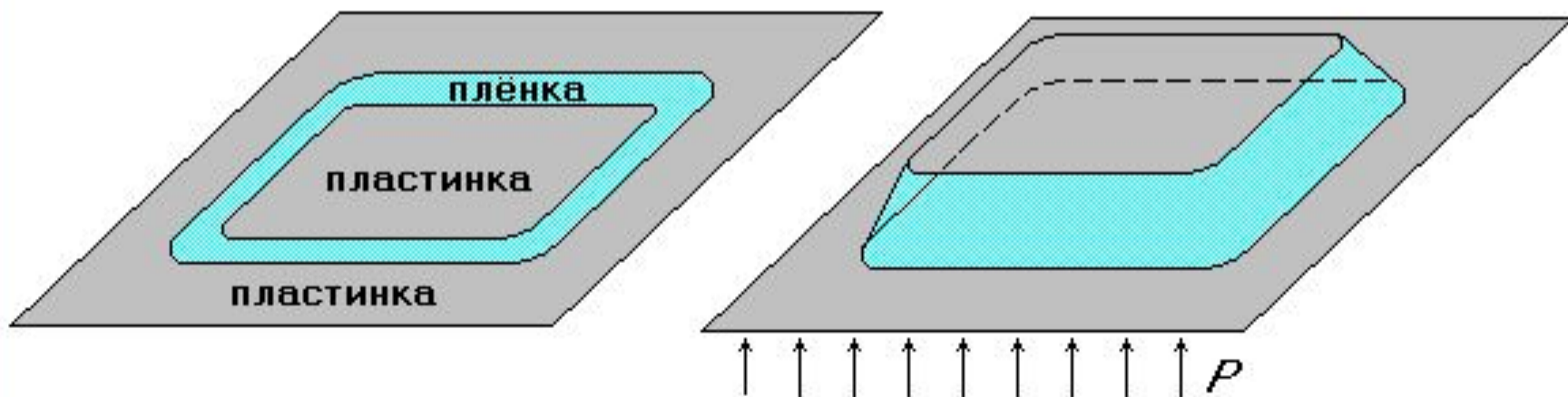
$$\eta = 1,05 \dots 1,20; \text{ обычно } \eta \approx 1,0$$

# КРУЧЕНИЕ ТОНКОСТЕННОГО СТЕРЖНЯ ЗАМКНУТОГО ПРОФИЛЯ

## Типичные формы профиля



## Плёночная аналогия

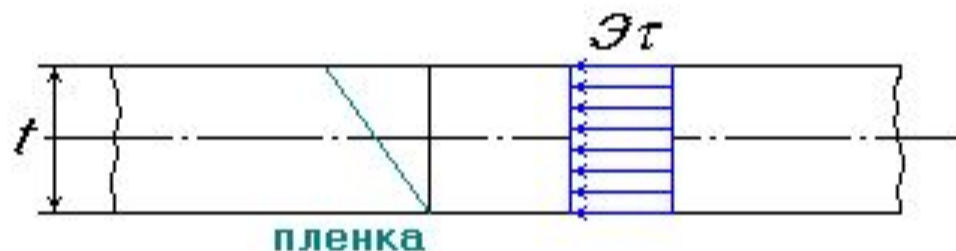


# КРУЧЕНИЕ ТОНКОСТЕННОГО СТЕРЖНЯ ЗАМКНУТОГО ПРОФИЛЯ (продолжение)

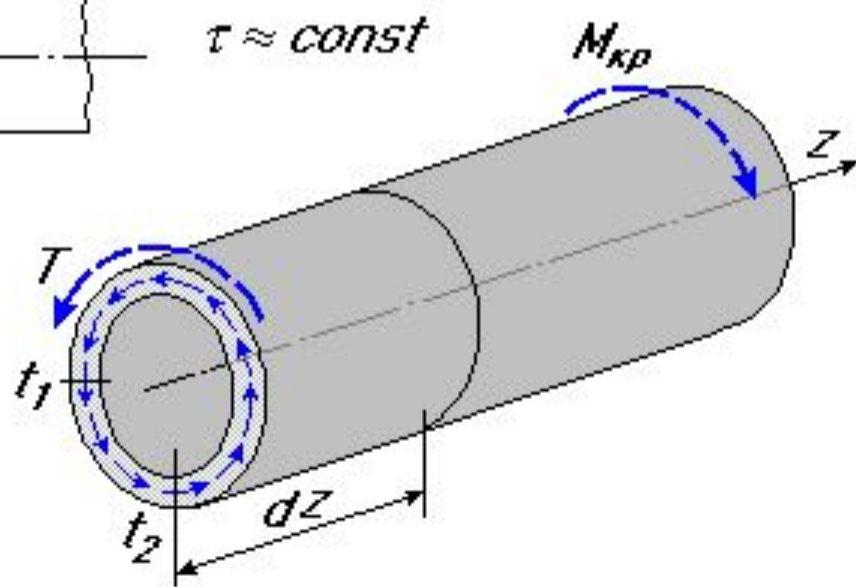


$$G \rightarrow T$$

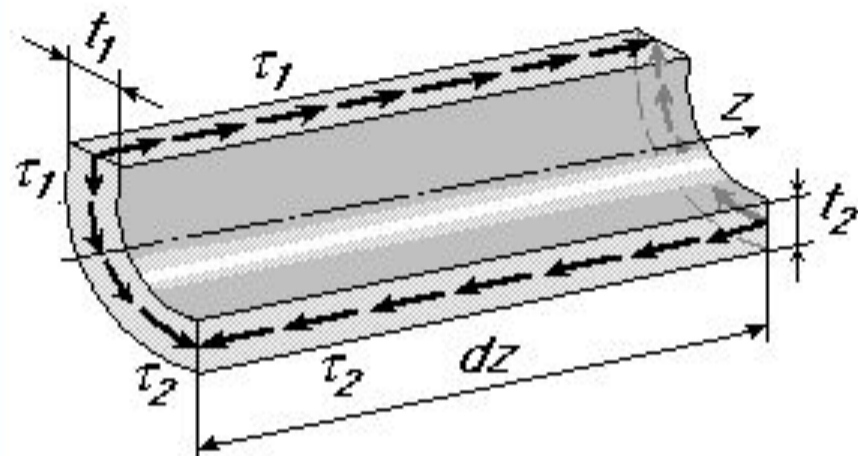
$$\tan \alpha \rightarrow \tau$$



$$\tau \approx \text{const}$$



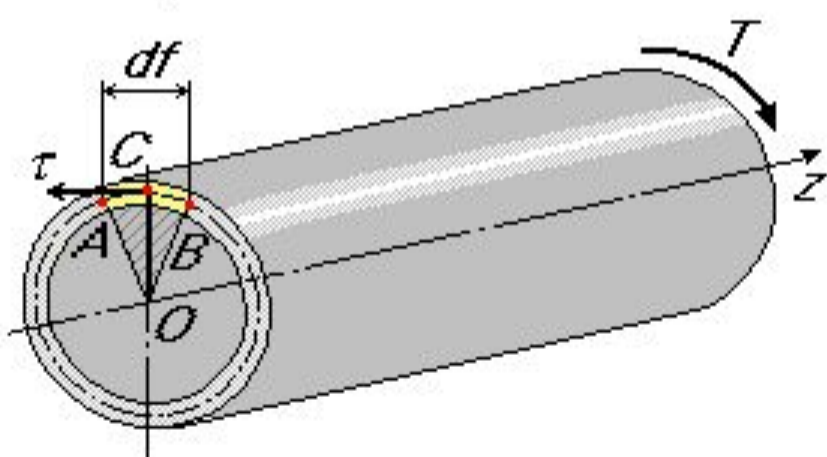
# КРУЧЕНИЕ ТОНКОСТЕННОГО СТЕРЖНЯ ЗАМКНУТОГО ПРОФИЛЯ (продолжение)



$$\sum F_{z-z} = \tau_1 t_1 dz - \tau_2 t_2 dz = 0;$$

$$\tau_1 t_1 = \tau_2 t_2 = \tau_i t_i = \tau \cdot t = \text{const.}$$

$$\tau_{\max} \delta_{\min} = \tau_{\min} \delta_{\max} = \text{const.}$$



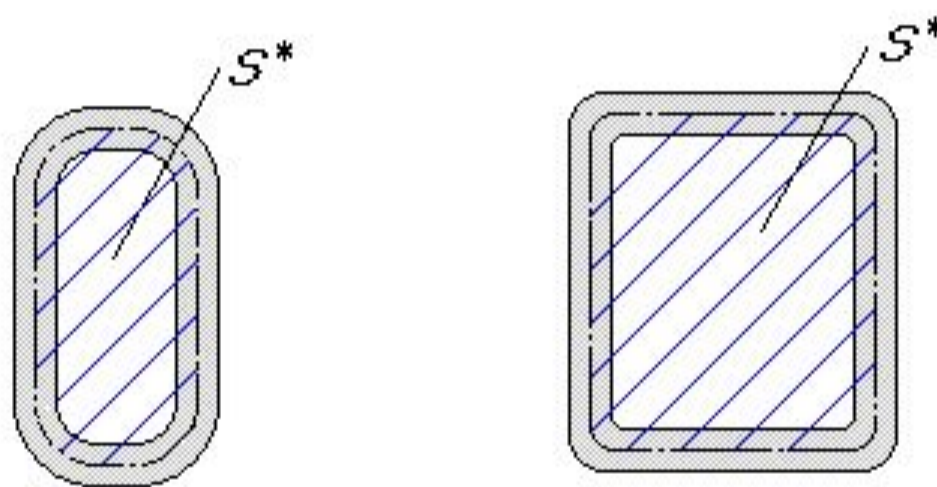
$$dS = AB \cdot \delta = \delta \cdot df, \quad AB \cdot OC = 2S_{\Delta ABC},$$

$$T = \int_S \tau \cdot dS \cdot OC = \int_f \tau \cdot \delta \cdot OC \cdot df = \\ = \tau \cdot \delta \int_f OC \cdot df = \tau \cdot \delta \cdot 2S^*,$$

$$\tau_{\max} = \frac{T}{\delta_{\min} \cdot 2S^*}.$$

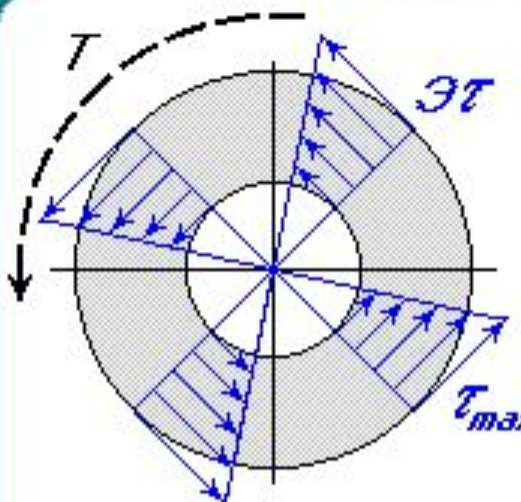
## КРУЧЕНИЕ ТОНКОСТЕННОГО СТЕРЖНЯ ЗАМКНУТОГО ПРОФИЛЯ (продолжение)

Здесь:  $f$  - периметр поперечного сечения (длина средней линии);  
 $S^*$  - площадь, ограниченная средней линией профиля.



$$\theta = \frac{T \cdot f}{4G(S^*)^2 t} ;$$

# РАЦИОНАЛЬНЫЕ ФОРМЫ ПОПЕРЕЧНЫХ СЕЧЕНИЙ СТЕРЖНЯ ( ВАЛА ) ПРИ КРУЧЕНИИ



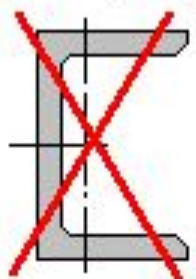
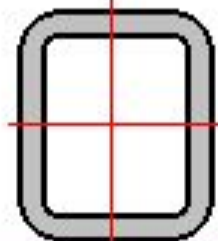
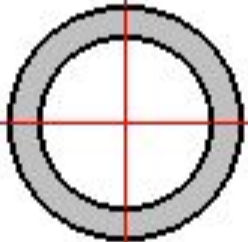
Условия прочности:

$$\max \tau < [\tau] : \quad \tau_{\max} = \frac{T}{W_K}$$

Для круглого поперечного сечения :

$$W_K \Rightarrow W_p$$

$$\omega_K = \sqrt{\frac{W_K^2}{S^3}}$$



| Тип сечения   | $\omega_K$   |
|---|--------------|
| Швеллер , двутавр                                   | 0,04... 0,07 |
| Прямоугольник $h/b=10$                              | 0,1          |
| Квадрат   | 0,21         |
| Круглое сечение                                     | 0,28         |
| Кольцевое сечение :<br>$c = d/D = 0,5$<br>$c = 0,9$ | 0,37<br>1,16 |

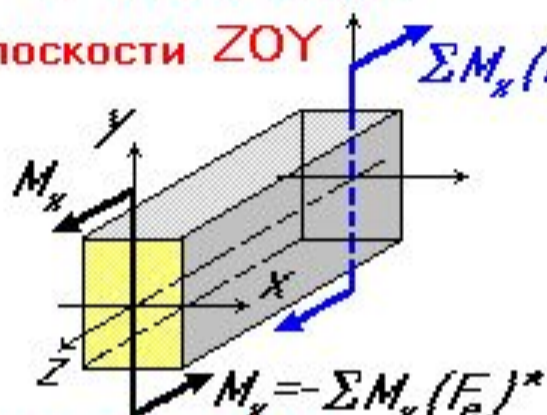
# ИЗГИБ ПРЯМОГО СТЕРЖНЯ

Изгиб - вид нагружения стержня, при котором в его поперечных сечениях возникают изгибающие моменты  $M_x$  и  $M_y$  ( $N=0, T=0$ )

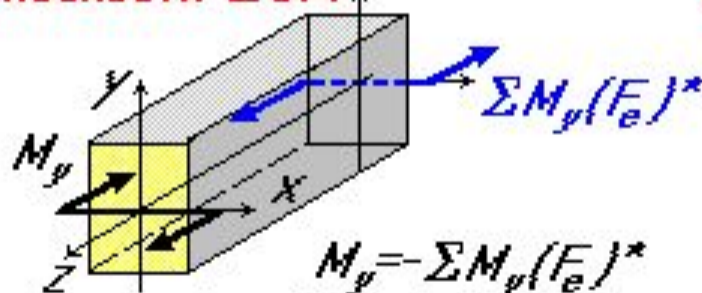
Классификация видов изгиба:

## 1. Чистый изгиб

а) в плоскости  $ZOY$



б) в плоскости  $ZOX$

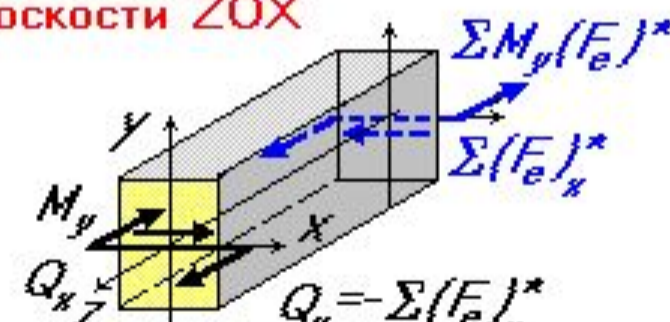


## 2. Поперечный изгиб

а) в плоскости  $ZOY$

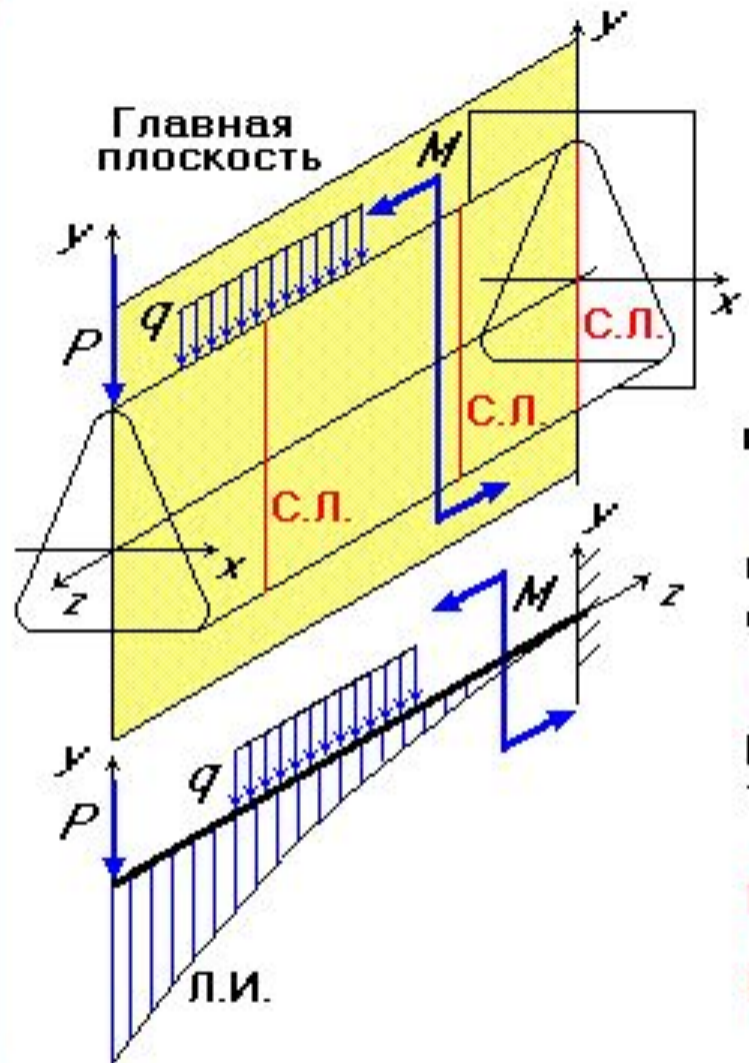


б) в плоскости  $ZOX$



Здесь символ  $(F_e)^*$  обозначает внешние силы, действующие на отсеченную часть.

# КЛАССИФИКАЦИЯ ВИДОВ ИЗГИБА



## Плоский, прямой и косой изгибы.

Если все нагрузки и реакции связей действуют в одной плоскости, являющейся главной плоскостью стержня, то изгиб называется **плоским**.

**Балка** - это прямой стержень, работающий при плоском изгибе.

**Силовая линия (С.Л.)** - след пересечения плоскости действия В.С.Ф. ( $M$  и  $Q$ ) с плоскостью поперечного сечения.

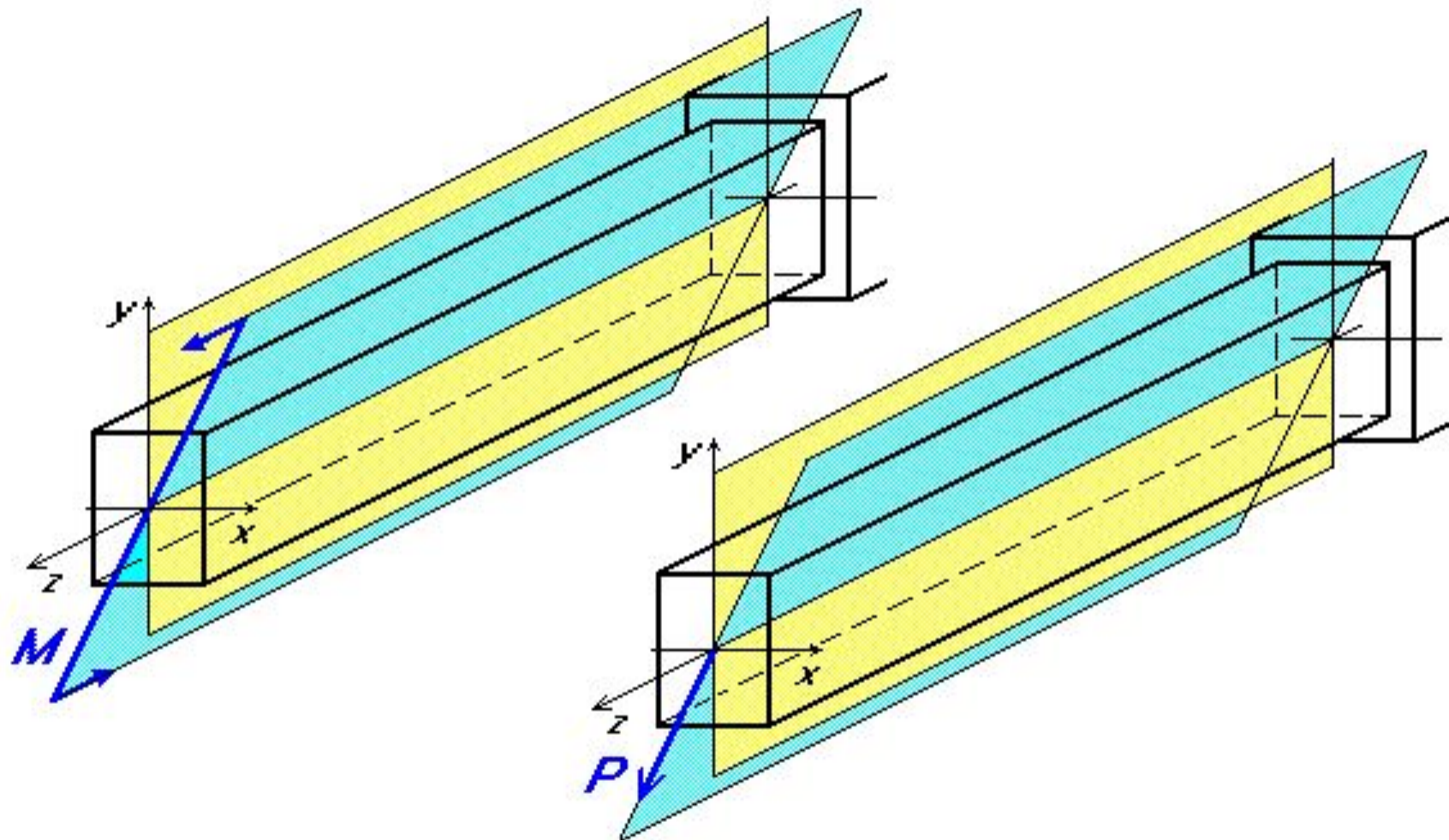
**Линия изгиба (Л.И.)** - направление перемещения при изгибе точки центра тяжести сечения.

**Прямой изгиб** - С.Л. и Л.И. совпадают.

**Косой изгиб** - С.Л. и Л.И. не совпадают.

## КЛАССИФИКАЦИЯ ВИДОВ ИЗГИБА ( продолжение )

Примеры косого изгиба:



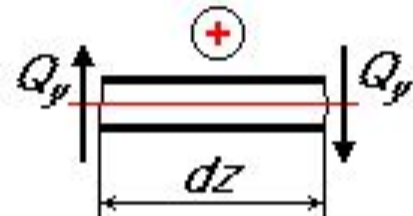
# ПОСТРОЕНИЕ ЭПЮР ВНУТРЕННИХ СИЛОВЫХ ФАКТОРОВ (ВСФ) В БАЛКЕ

Расчетная схема балки изображается линией, представляющей собой ось стержня.

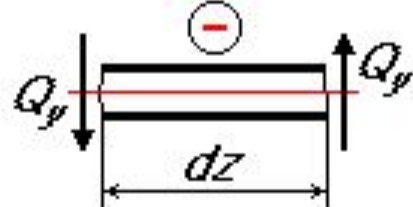
Для наглядного представления характера изменения ВСФ по длине балки строят эпюры.

## ПРАВИЛА ЗНАКОВ:

а) для поперечной силы

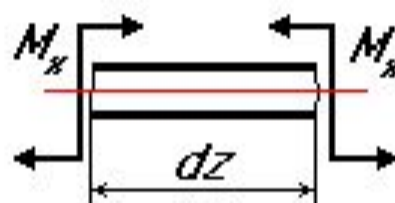


Поворот элемента  $dz$   
по часовой стрелке

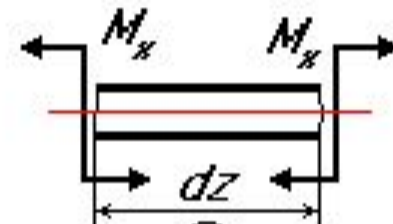


Поворот элемента  $dz$   
против часовой стрелки

б) для изгибающего момента

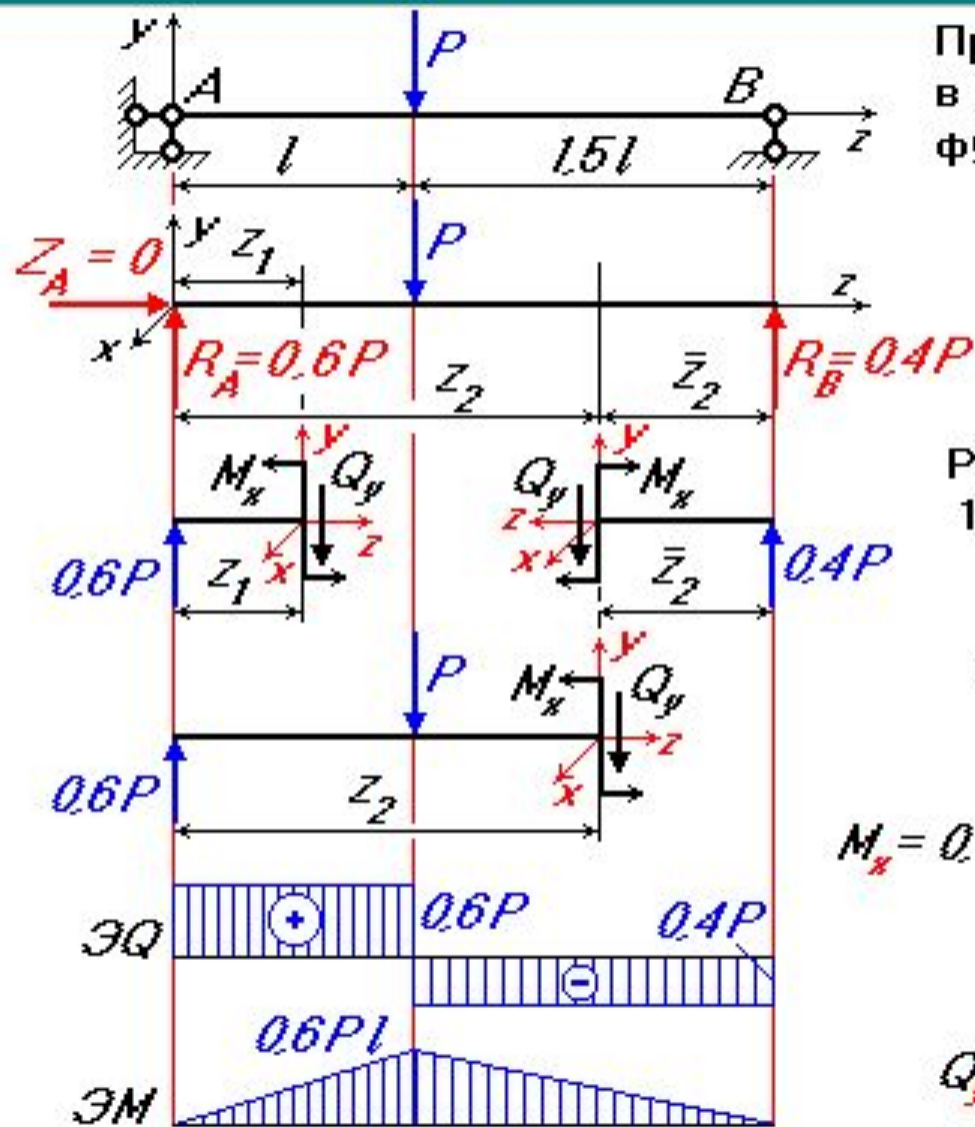


Сжатые верхние  
волокна



Сжатые нижние  
волокна

# ПОСТРОЕНИЕ ЭПЮР ПОПЕРЕЧНЫХ СИЛ И ИЗГИБАЮЩИХ МОМЕНТОВ ДЛЯ БАЛКИ



Пример 1. Построить эпюры ВСФ в балке путем определения функций  $Q_y = Q_y(z)$  и  $M_x = M_x(z)$ .

$$\sum M_A = P \cdot l - R_B \cdot 2.5l = 0;$$

$$\sum M_B = P \cdot 1.5l - R_A \cdot 2.5l = 0;$$

$$R_B = 0.4P, \quad R_A = 0.6P.$$

Разобьем балку на два участка:

1-й участок ( $0 < z_1 < l$ )

$$Q_y = 0.6P; \quad M_x = 0.6P \cdot z_1;$$

2-й участок ( $l < z_2 < 2.5l$ )

$$Q_y = 0.6P - P = -0.4P;$$

$$M_x = 0.6P \cdot z_2 - P(z_2 - l) = Pl - 0.4Pz_2;$$

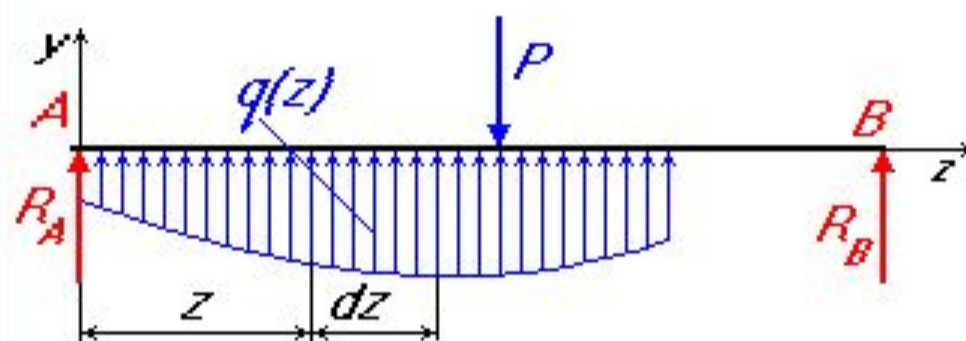
$$(0 < \bar{z}_2 < 1.5l)$$

$$Q_y = -0.4P; \quad M_x = 0.4P \cdot \bar{z}_2;$$

# ДИФФЕРЕНЦИАЛЬНЫЕ ЗАВИСИМОСТИ МЕЖДУ ВСФ И ИНТЕНСИВНОСТЬЮ РАСПРЕДЕЛЕННОЙ ПОПЕРЕЧНОЙ НАГРУЗКИ

Зависимости для прямого стержня (балки).

Балка находится в равновесии под действием системы внешних сил (активных и реактивных).

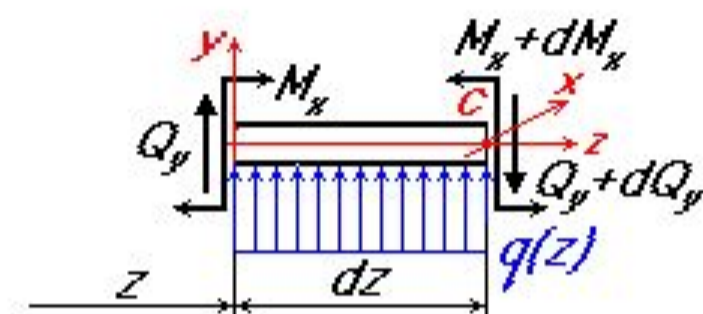


Условия равновесия для выделенного элемента  $dz$ :

$$\sum Y = Q_y + q(z)dz - (Q_y + dQ_y) = 0; \quad \sum M_{xc} = M_x + Q \cdot dz + q \cdot dz \frac{1}{2} dz - (M_x + dM_x) = 0;$$

Дифференциальные зависимости:

$$q = \frac{dQ}{dz}; \quad Q = \frac{dM}{dz}; \quad q = \frac{d^2M}{dz^2}.$$



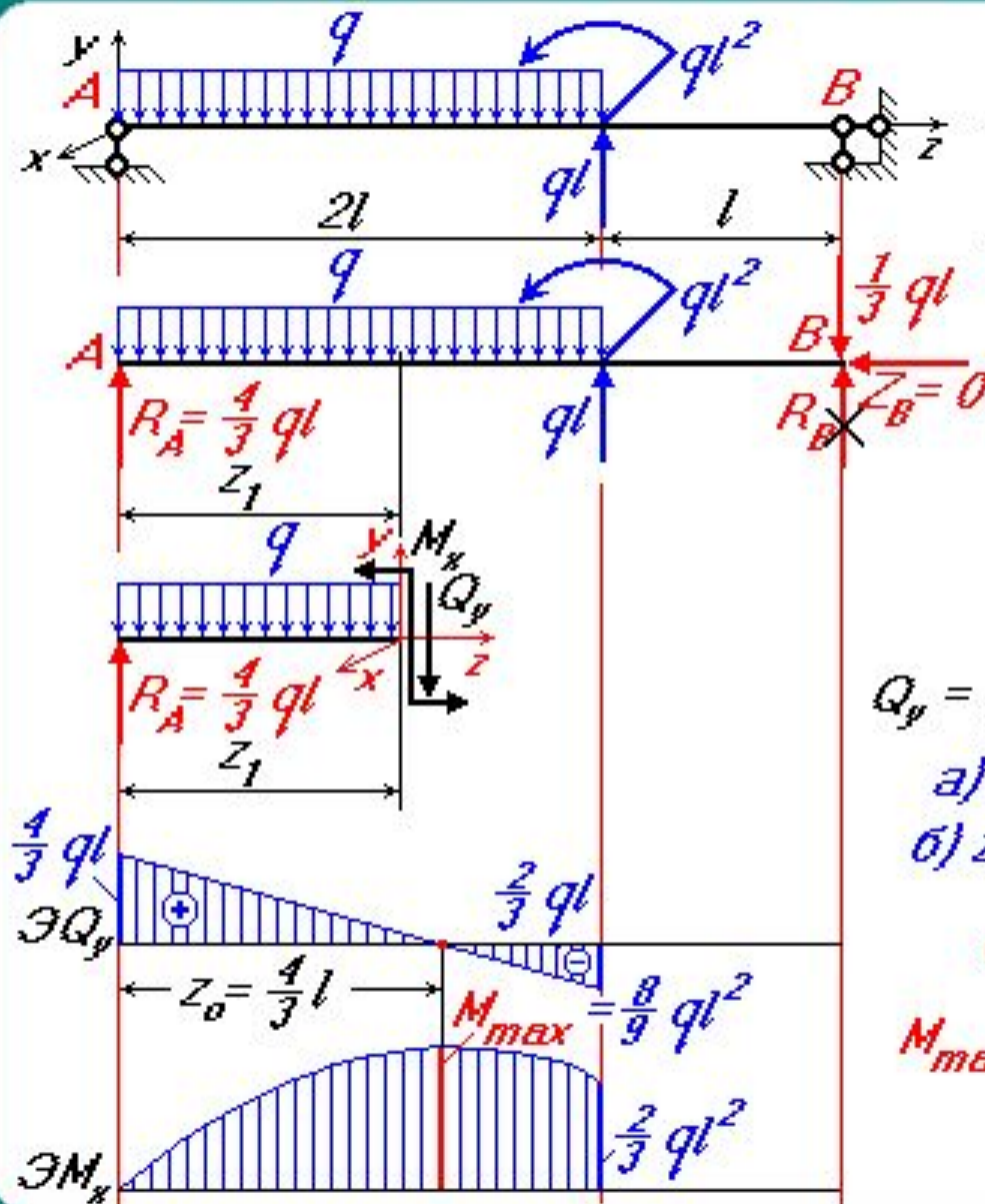
$q(z)$ ,  $Q_y$  и  $M_x$  - положительные.

Интегральные зависимости:

$$Q(z) = Q(0) + \int_0^z q dz; \quad M(z) = M(0) + \int_0^z Q dz;$$

Здесь  $Q(0)$  и  $M(0)$  - постоянные интегрирования - поперечная сила и изгибающий момент в начале участка (при  $z = 0$ )

# ПОСТРОЕНИЕ ЭПЮР ПОПЕРЕЧНЫХ СИЛ И ИЗГИБАЮЩИХ МОМЕНТОВ



$$\sum M_A = q \cdot 2l \cdot l - q l^2 \cdot q l \cdot 2l - R_B \cdot 3l = 0;$$

$$\sum M_B = R_A \cdot 3l - q \cdot 2l \cdot 2l - q l^2 + q l \cdot l = 0;$$

$$R_B = -\frac{1}{3}ql; \quad R_A = \frac{4}{3}ql;$$

Проверка:

$$\sum Y = \frac{4}{3}ql - q \cdot 2l + ql - \frac{1}{3}ql = 0;$$

1-ый участок:

$$(0 < z_1 < 2l)$$

$$Q_y = \frac{4}{3}ql - q \cdot z_1; \quad M_x = \frac{4}{3}ql \cdot z_1 - q \cdot z_1 \cdot \frac{1}{2}z_1;$$

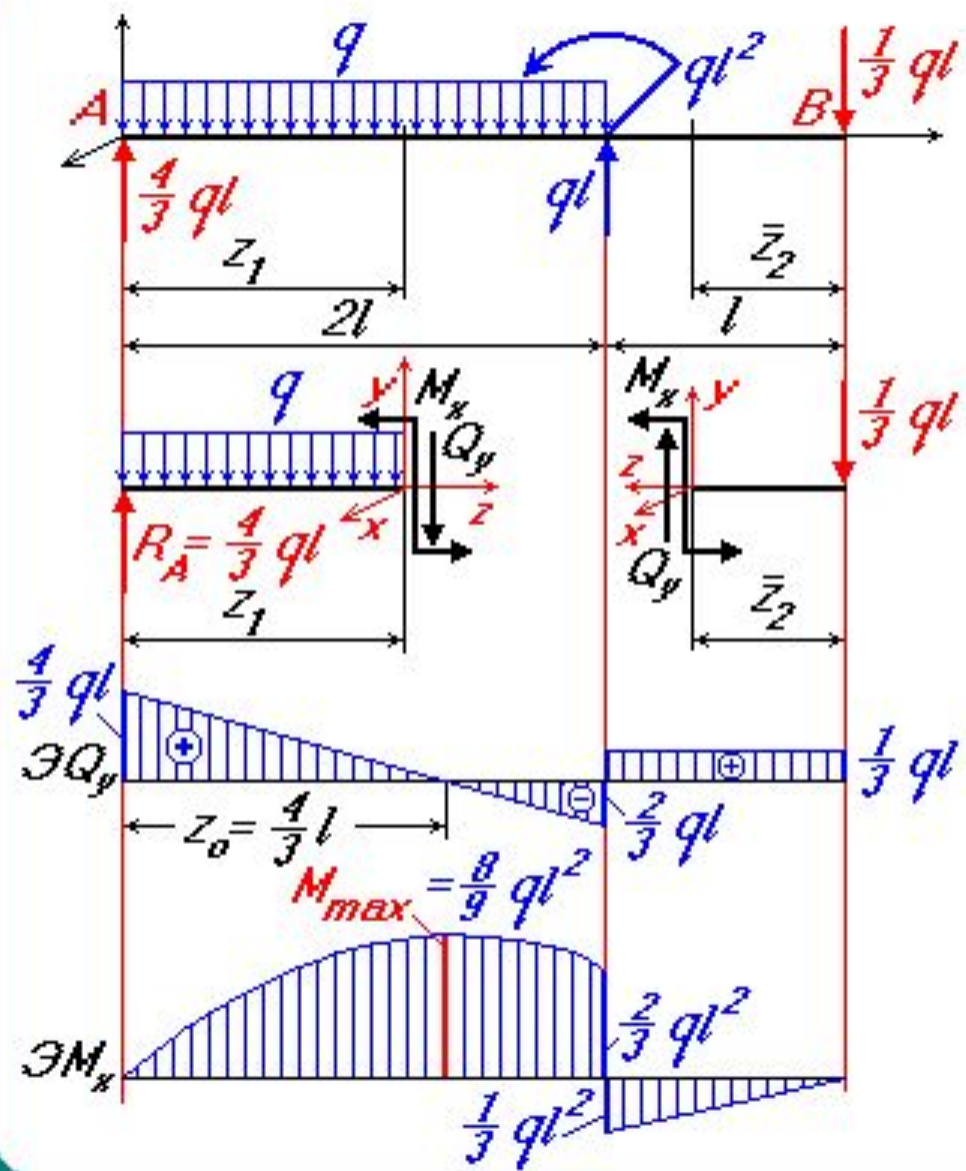
$$a) z_1 = 0: \quad Q_y = \frac{4}{3}ql; \quad M_x = 0;$$

$$b) z_1 = 2l: \quad Q_y = -\frac{2}{3}ql; \quad M_x = \frac{2}{3}ql^2;$$

$$Q_o = \frac{4}{3}ql - q \cdot z_o = 0; \quad z_o = \frac{4}{3}l;$$

$$M_{max} = \frac{4}{3}ql \cdot \frac{4}{3}l - q \cdot \frac{4}{3}l \cdot \frac{1}{2} \cdot \frac{4}{3}l = \frac{8}{9}ql^2;$$

# ПОСТРОЕНИЕ ЭПЮР ПОПЕРЕЧНЫХ СИЛ И ИЗГИБАЮЩИХ МОМЕНТОВ



2 - ой участок:  
( $0 < \bar{z}_2 < l$ )

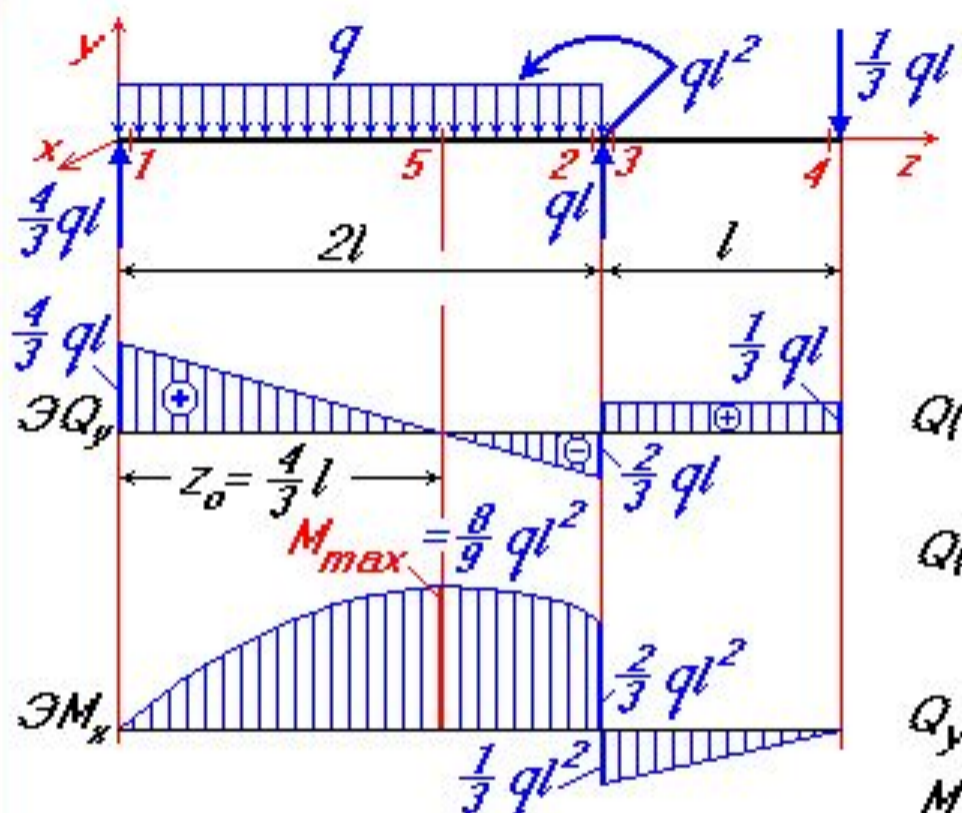
$$Q_y = \frac{1}{3}ql = \text{const.}$$

$M_x = \frac{1}{3}ql \cdot \bar{z}_2$  - сжатые нижние волокна:

a)  $\bar{z}_2 = 0$ :  $M_x = 0$ :

b)  $\bar{z}_2 = l$ :  $M_x = \frac{1}{3}ql^2$ :

# ПОСТРОЕНИЕ ЭПЮР ( $\mathcal{E}Q_y$ и $\mathcal{E}M_x$ ) ПО СЕЧЕНИЯМ (по точкам)



$$q = \frac{dQ}{dz}; Q = \frac{dM}{dz}; q = \frac{d^2M}{dz^2}$$

1)  $q = 0;$

$$Q(z) = \text{const}; M(z) = az + b;$$

2)  $q = \text{const};$

$$Q(z) = az + b; M(z) = az^2 + bz + c;$$

3)  $q = az + b;$

$$Q(z) = az^2 + bz + c; M(z) = az^3 + bz^2 + cz + d;$$

Участок 1-2:  $q(z) = -q;$

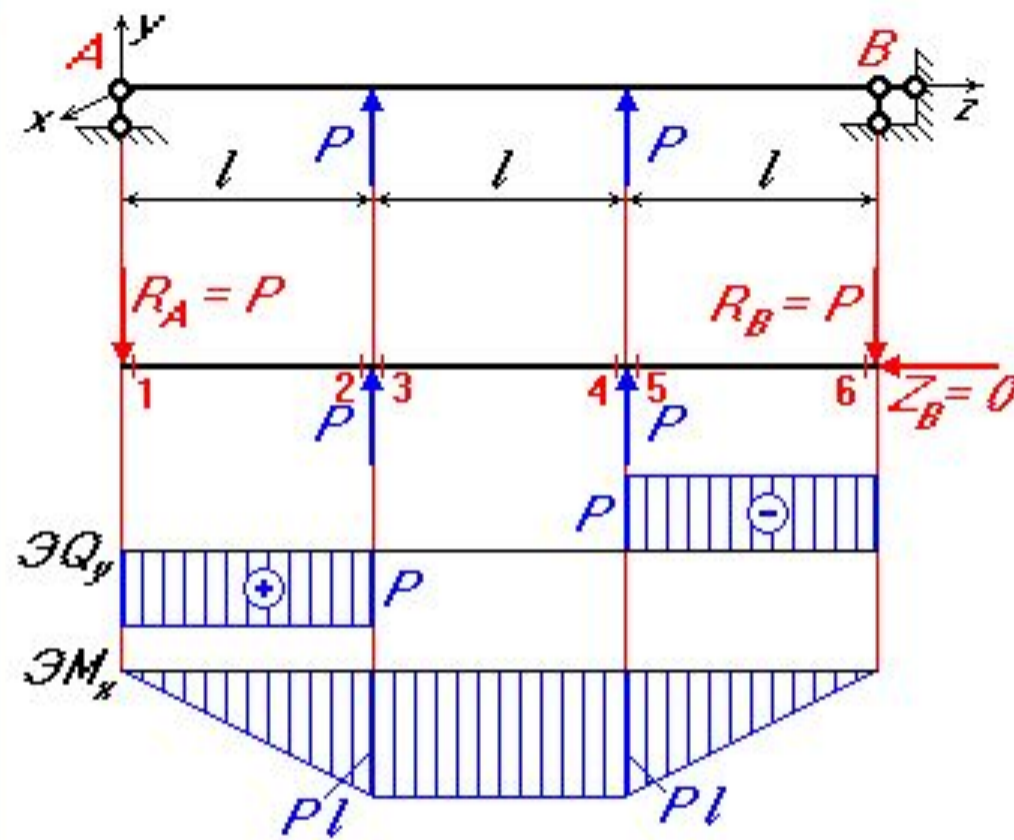
$$Q_{y1} = \frac{4}{3}ql; Q_{y2} = \frac{4}{3}ql - q \cdot 2l = -\frac{2}{3}ql;$$

$$M_{x1} = 0; M_{x2} = -ql \cdot 2l - q \cdot 2l \cdot l = \frac{2}{3}ql^2;$$

Участок 3-4:  $q(z) = 0; Q_{x3} = Q_{x4} = \frac{1}{3}ql; M_{x4} = 0; M_{x3} = \frac{1}{3}ql \cdot l = \frac{1}{3}ql^2.$   
сжатые нижние волокна

$$M_{x5} = M_{max} = \frac{4}{3}ql \cdot \frac{4}{3}l - q \cdot \frac{4}{3}l \cdot \frac{1}{2} \cdot \frac{4}{3}l = \frac{8}{9}ql^2$$

# ПРЯМОЙ ЧИСТЫЙ ИЗГИБ



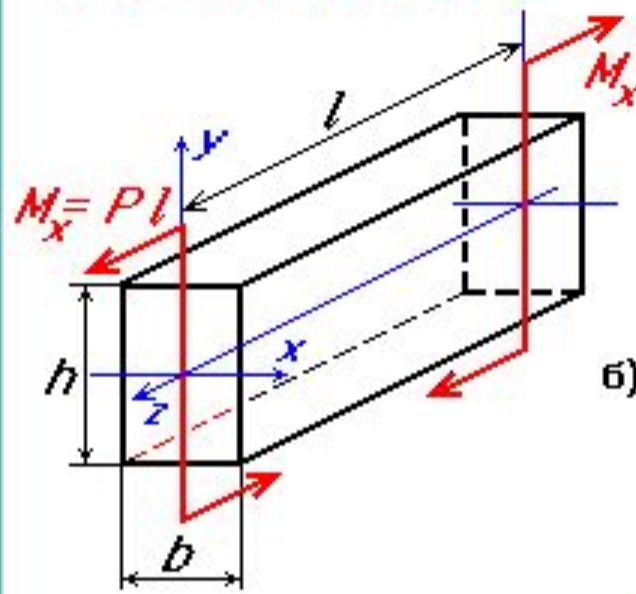
$$\begin{aligned}
 Q_1 &= Q_2 = -P; \\
 Q_3 &= Q_4 = 0; \\
 Q_5 &= Q_6 = P; \\
 M_{x1} &= 0; \\
 M_{x2} &= M_{x3} = Pl \text{ (сжатые нижние волокна)}; \\
 M_{x4} &= M_{x5} = Pl; \\
 M_{x6} &= 0;
 \end{aligned}$$

Участок 3 - 4 находится в условиях прямого чистого изгиба.

$$Q_3 = Q_4 = 0; \quad M_{x3} = M_{x4} = Pl = const.$$

# ОПРЕДЕЛЕНИЕ КРИВИЗНЫ ИЗОГНУТОЙ ОСИ И НАПРЯЖЕНИЙ В ПОПЕРЕЧНОМ СЕЧЕНИИ ПРИ ПРЯМОМ ЧИСТОМ ИЗГИБЕ

**Постановка задачи :**



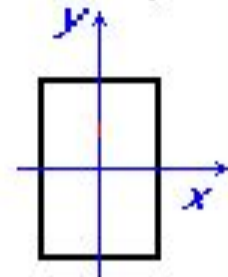
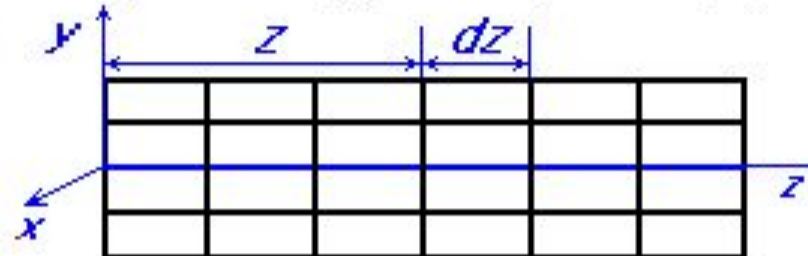
Дано :

$$M_x = P \cdot l, l, h \times b, E$$

$$\frac{1}{\rho} = ? \quad \sigma = ? \quad \tau = ?$$

**Механизм деформирования :**

а) до нагружения (до деформирования)



б) в деформированном виде (после нагружения)



## МЕХАНИЗМ ДЕФОРМИРОВАНИЯ ( продолжение )

1) Каждый слой искривляется :

часть слоев растянута ( верхняя ).

другая - сжата ( нижняя )

**НЕЙТРАЛЬНЫЙ СЛОЙ** - не деформируется, длина **Н.С.** равна длине стержня до деформации .

2) **НЕЙТРАЛЬНАЯ ОСЬ** - линия пересечения **Н.С.** с плоскостью поперечного сечения .

3) Поперечные сечения поворачиваются относительно нейтральных осей - оставаясь плоскими .

**НЕИЗВЕСТНО :**

1) положение **Н.О.** ( ось  $x$  ) по высоте сечения ;

2)  $\sigma = \sigma(x, y)$  - закон распределения напряжений .

**ОСНОВНЫЕ ДОПУЩЕНИЯ :**

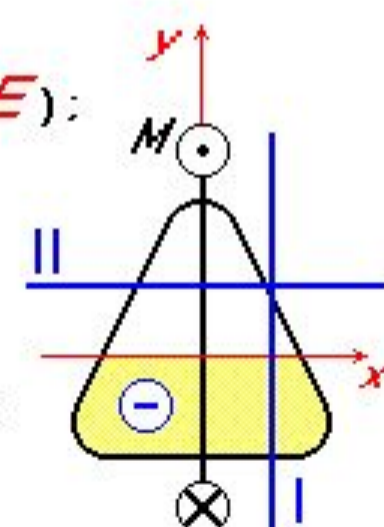
1) материал - сплошной , однородный , изотропный , идеально упругий ( закон Гука  $\sigma = E\varepsilon$ ;  $E_p = E_c = E$  );

2) гипотеза о естественном состоянии материала .

Напряжения в сечениях I и II  $\sigma_x = \sigma_y = 0$  - в этих сечениях нет силовых факторов .

$$\sigma_z = \sigma = \sigma(x, y).$$

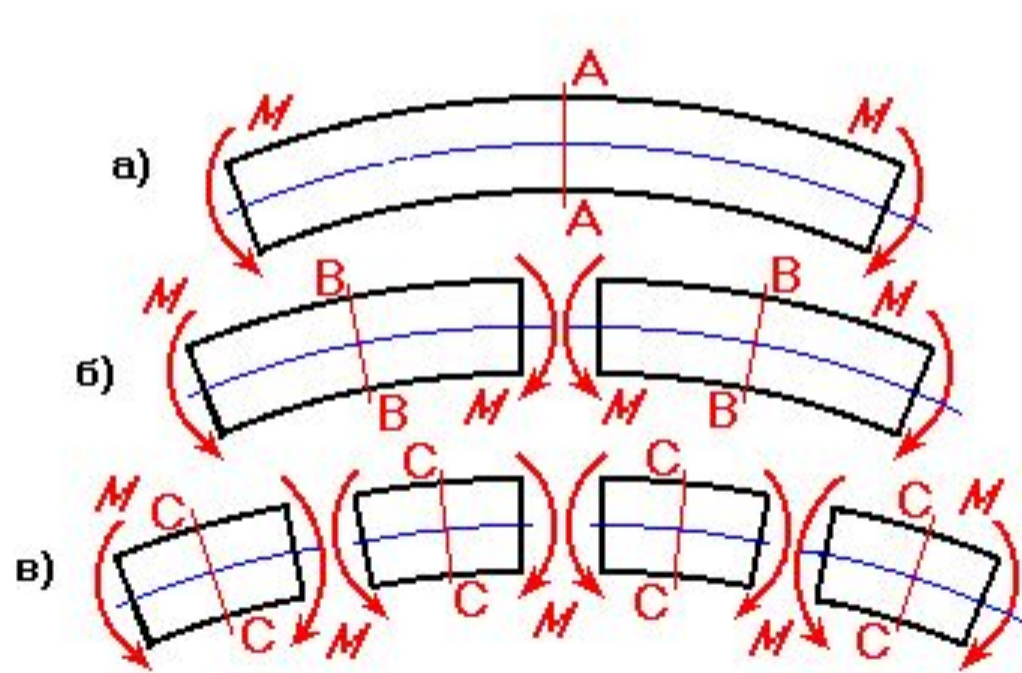
3) перемещения поперечных сечений ( углы поворота ) и точек стержня малы по сравнению с размерами поперечного сечения .



## МЕХАНИЗМ ДЕФОРМИРОВАНИЯ ( продолжение )

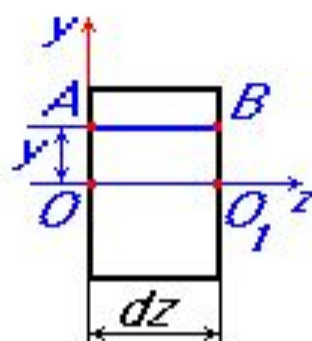
4) **ГИПОТЕЗА плоских сечений ( гипотеза Бернулли )** - сечения плоские до деформации и перпендикулярные к оси стержня остаются плоскими после деформации и перпендикулярными к изогнутой оси стержня .

Для стержня постоянного сечения гипотеза Бернулли доказывается из симметрии нагружения .



## 2. ГЕОМЕТРИЧЕСКАЯ СТОРОНА ЗАДАЧИ

Рассмотрим элемент  $dz$  до и после деформации:



$OO_1$  - нейтральный слой (длиной  $dz$ ) ;

$\rho$  - радиус кривизны нейтрального слоя ;

$d\theta$  - угол поворота сечений ;

$$dz = \widehat{OO_1} = \rho \cdot d\theta ;$$

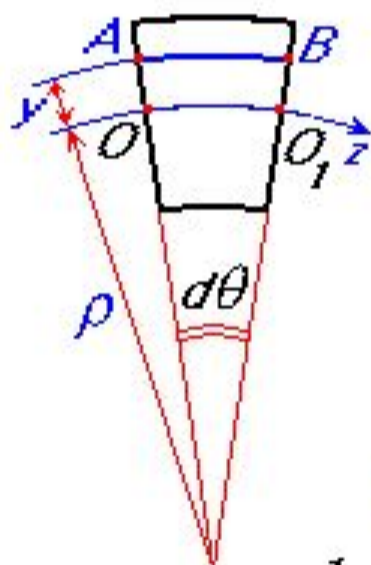
$$\Delta(dz) = \widehat{AB} - \widehat{OO_1} = (\rho + y) d\theta - \rho \cdot d\theta = y d\theta ;$$

$$\varepsilon_{AB} = \frac{\Delta(dz)}{dz} = \frac{y d\theta}{\rho \cdot d\theta} ;$$

УСЛОВИЯ СОВМЕСТНОСТИ ДЕФОРМАЦИЙ :

$$\boxed{\varepsilon = \frac{y}{\rho}}$$

(2) линейная функция от  $y$  :



Связь между  $\rho$  и  $d\theta$  :

$\frac{1}{\rho} = \frac{d\theta}{dz} = \alpha e(z)$  - кривизна нейтрального слоя не зависит от координат произвольной точки  $x$  и  $y$ .

### 3. ФИЗИЧЕСКАЯ СТОРОНА ЗАДАЧИ

Для решения статических уравнений (1) и (2) используем зависимость между напряжениями и деформациями (в пределах упругости - закон Гука).

$$\sigma = E \cdot \epsilon$$

(3)

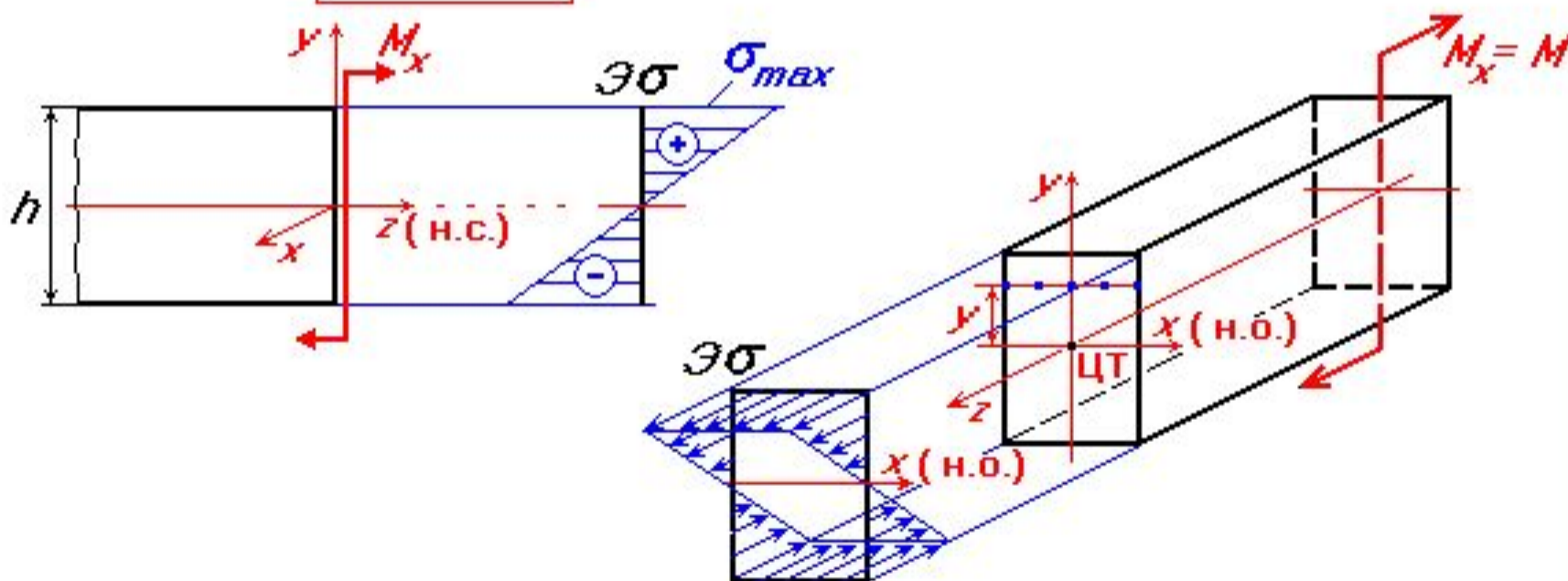
$$E = E(x, y) = \text{const.}$$

Решение совместно уравнений (1) - (3): (3)  $\longrightarrow$  (2)

$$\sigma = E \frac{y}{\rho}$$

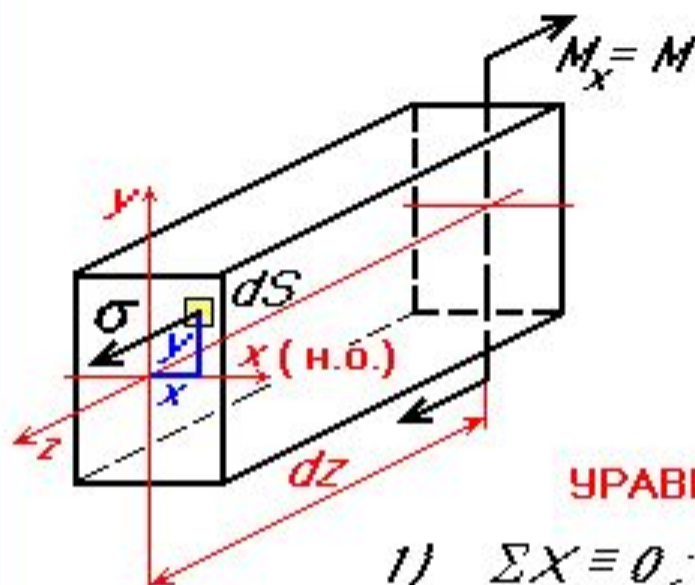
(4)

$E$  и  $\rho$  — для сечения постоянные.



# 1. СТАТИЧЕСКАЯ СТОРОНА ЗАДАЧИ

Рассмотрим равновесие части стержня (балки) длиной  $dz$ :



$x$  - нейтральная ось;  
 $y$  - силовая линия (линия изгиба);

$$\tau = 0, \text{ т.к. } Q_x = Q_y = 0; \quad T = 0;$$

УРАВНЕНИЯ РАВНОВЕСИЯ:

$$1) \quad \sum X = 0;$$

$$3) \quad \sum Z = \int_S \sigma dS = 0;$$

$$2) \quad \sum Y = 0;$$

$$5) \quad \sum M_y = \int_S \sigma \cdot x \cdot dS = 0;$$

$$4) \quad \sum M_z = 0;$$

$$6) \quad \sum M_x = M - \int_S \sigma \cdot y \cdot dS = 0.$$

(1)

## 4. РЕШЕНИЕ УРАВНЕНИЙ (1) – (4)

Подставим выражение (4) в уравнения равновесия (1):

1. в уравнение 3):

$$\int_S \sigma dS = \frac{E}{\rho} \int_S y dS = \frac{E}{\rho} \cdot S_x = 0; \quad \frac{E}{\rho} \neq 0;$$

$S_x = 0$  - нейтральная ось  $X$  проходит через центр тяжести сечения.

2. в уравнение 5):

$$\int_S \sigma \cdot x \cdot dS = \frac{E}{\rho} \int_S x \cdot y dS = \frac{E}{\rho} \cdot I_{xy} = 0;$$

$I_{xy} = 0$  - нейтральная ось  $X$  и силовая линия  $Y$  - главные и центральные оси поперечного сечения.

Оси  $X$  и  $Y$  - взаимно перпендикулярны.

3. в уравнение 6):

$$M = \int_S \sigma \cdot y \cdot dS = \frac{E}{\rho} \int_S y^2 dS = \frac{E}{\rho} \cdot I_x;$$

$$\boxed{\frac{I}{\rho} = \frac{M_x}{EI_x}}$$

(5)

$EI_x$  - жесткость сечения стержня при изгибе (в плоскости  $yoz$ )

$$M_x = M(z) = const; \quad EI_x = EI_x(z) = const;$$

$\frac{I}{\rho} = \alpha(z) = const$  - при чистом изгибе стержень постоянного сечения изгибается по дуге окружности.

# НАПРЯЖЕНИЯ В ПОПЕРЕЧНОМ СЕЧЕНИИ ПРИ ПРЯМОМ ЧИСТОМ ИЗГИБЕ

Выражение (5)  $\rightarrow$  (4):

$$\sigma = E \frac{y}{\rho} = \frac{EM_x}{EI_x} y$$

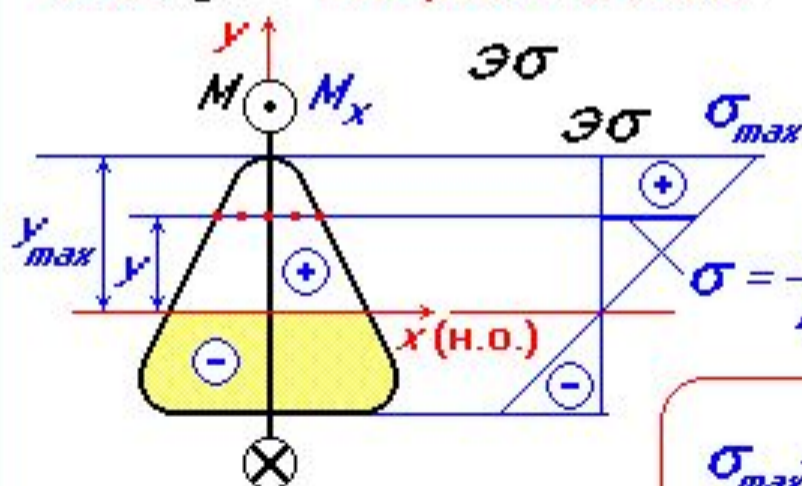
$$\sigma = \frac{M_x}{I_x} y \quad (III)$$

$$\sigma = \frac{M}{I_x} y$$

формула получена без учета знаков для  $M$  и  $y$ .

$M$  и  $y$  подставляются без знака (по модулю); знак  $\sigma$  определяется по эпюре  $M$  (правило сжатого волокна) и положению точки (сверху или снизу от оси стержня).

При прямом чистом изгибе **силовая линия** совпадает с одной из главных центральных осей сечения, тогда другая главная центральная ось будет **нейтральной осью**.



$$S_x = 0; \quad I_{xy} = 0;$$

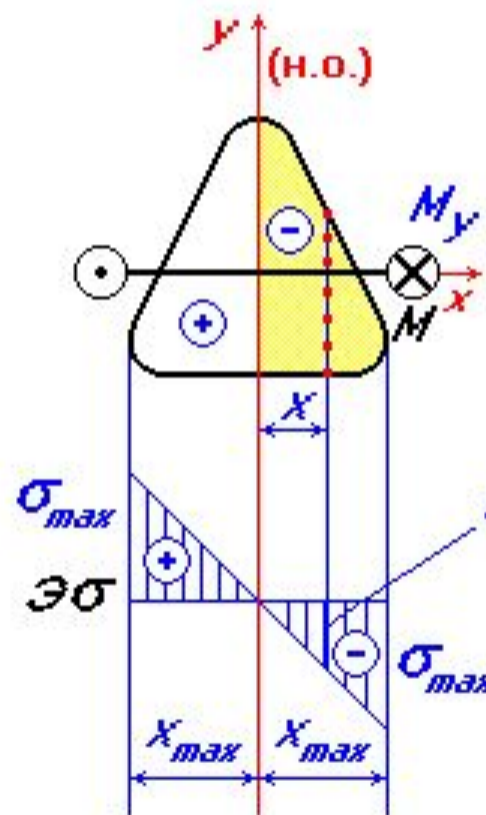
$$\sigma_{\max} = \frac{M_x}{I_x} y_{\max} = \frac{M_x}{W_x}$$

момент сопротивления  
сечения изгибу  
(относительно оси  $x$ )

$$\sigma_{\max} = \frac{M_x}{W_x}$$

## НАПРЯЖЕНИЯ В ПОПЕРЕЧНОМ СЕЧЕНИИ ПРИ ПРЯМОМ ЧИСТОМ ИЗГИБЕ (продолжение)

При прямом чистом изгибе **силовая линия** совпадает с одной из главных центральных осей сечения, тогда другая главная центральная ось будет **нейтральной осью**.



$$S_y = 0 : I_{xy} = 0 :$$

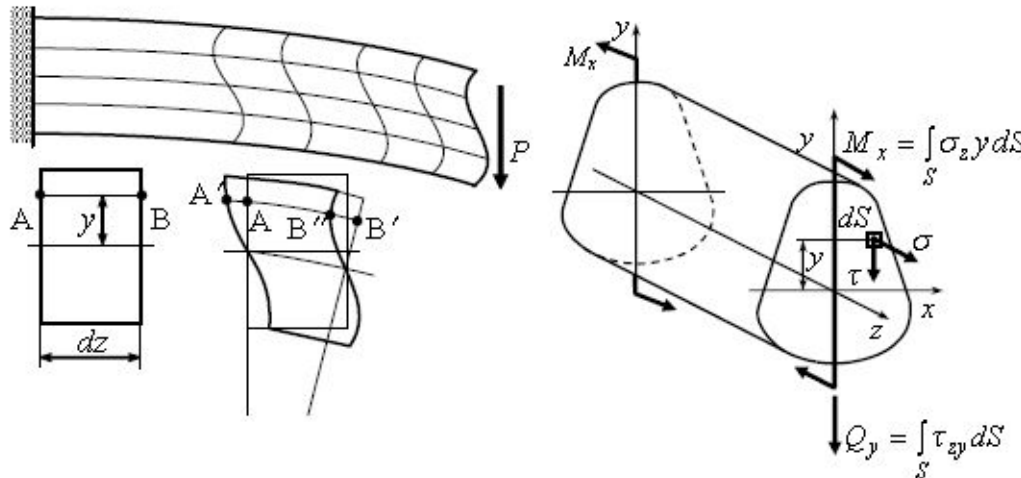
$$\sigma_{\max} = \pm \frac{M_y}{W_y}$$

$$\sigma = \frac{M_y}{I_y} x \quad W_y = \frac{I_y}{x_{\max}}$$

момент сопротивления  
сечения изгибу  
(относительно оси **y**)

$$\sigma = \frac{M_y}{I_y} x \quad (III)$$

## НАПРЯЖЕНИЯ ПРИ ПОПЕРЕЧНОМ ИЗГИБЕ



В поперечном сечении балки отличны от гуля  $\sigma$  и  $\tau$ . Касательные напряжения  $\tau$  сопровождаются угловыми деформациями  $\gamma$ .

При  $Q_z = \text{const}$  искривление поперечных сечений  $\gamma_z = \text{const}$  не влияет на величину продольной деформации стержня ( $A'B' = A''B''$ ).

При  $Q_z = \text{const}$  формулы чистого изгиба дают для  $\sigma$  погрешность порядка  $\frac{h}{l}$  по сравнению с единицей.

В дальнейшем будем считать:

- 1) гипотеза плоских сечений выполняется;
- 2) формулы для определения нормальных напряжений и кривизны оси стержня, выведенные при чистом изгибе, применимы и для поперечного изгиба:

$$\frac{1}{\rho} = \frac{M_x}{EI_x};$$

$$\sigma = \frac{M_x}{I_x} y;$$

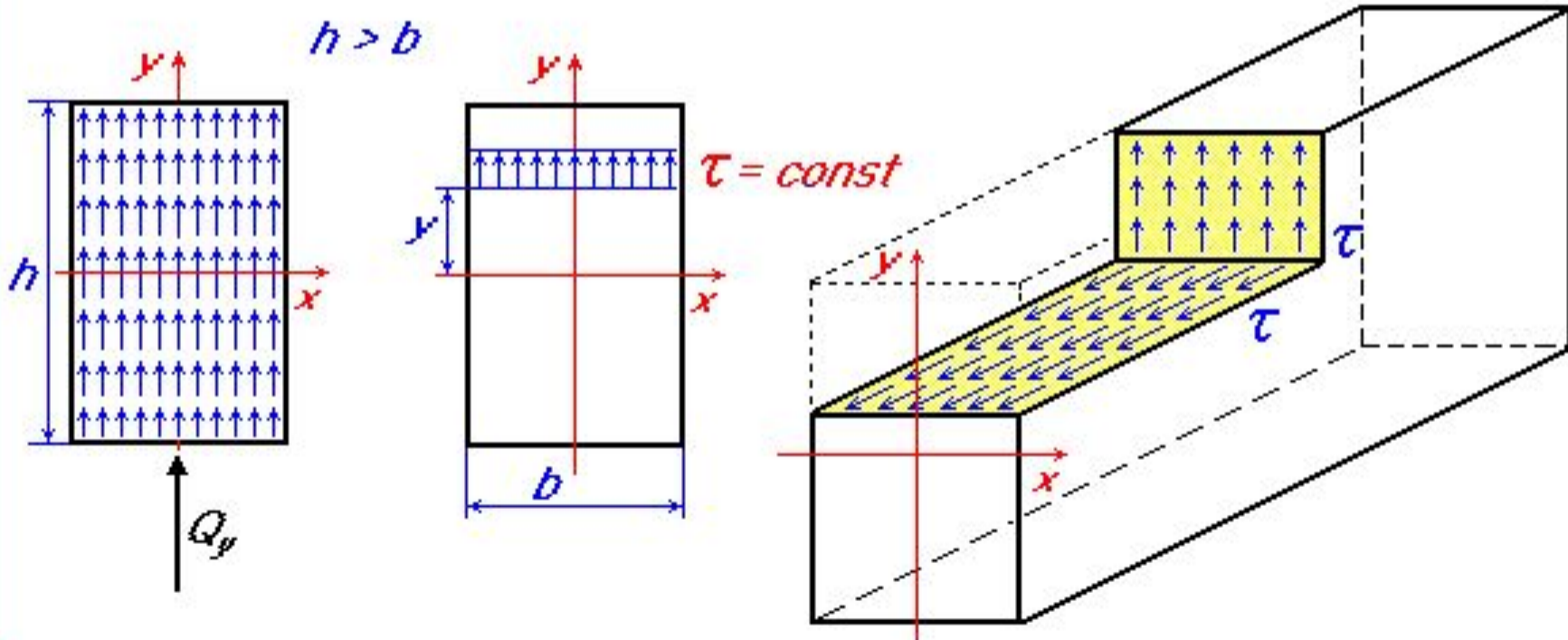
$$\sigma_{\max} = \frac{M_x}{W_x}.$$

# НАПРЯЖЕНИЯ ПРИ ПОПЕРЕЧНОМ ИЗГИБЕ

Определение касательных напряжений при поперечном изгибе  
(формула Журавского)

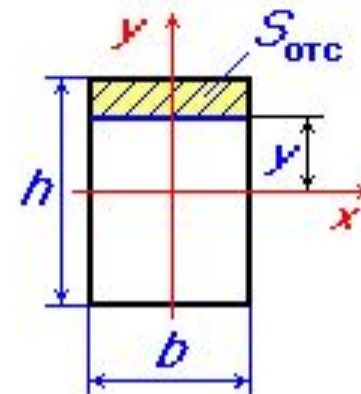
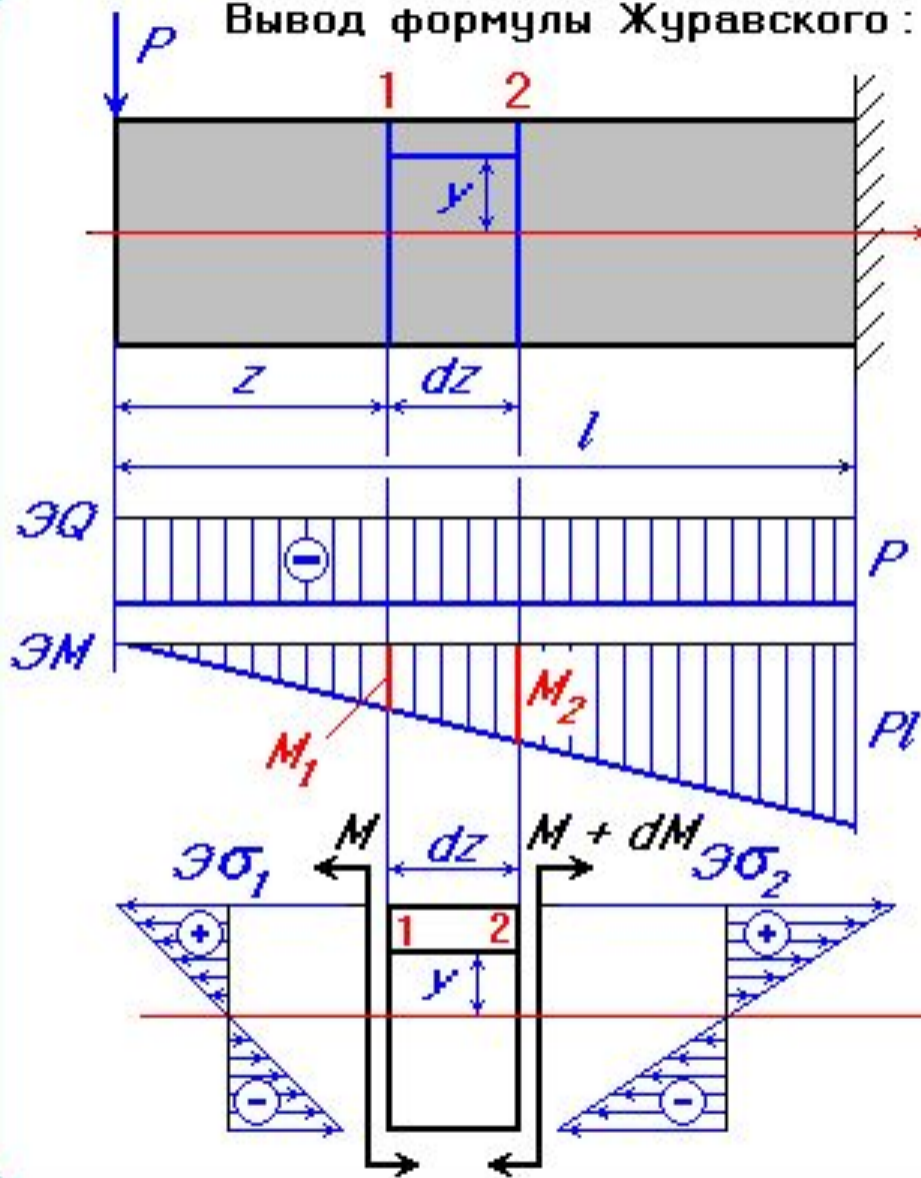
Допущения:

- 1) касательные напряжения в точках сечения направлены параллельно поперечной силе  $Q_y$ ;
- 2) касательные напряжения в точках сечения, расположенных на одном уровне, по величине равны между собой:



# КАСАТЕЛЬНЫЕ НАПРЯЖЕНИЯ ПРИ ПОПЕРЕЧНОМ ИЗГИБЕ

Вывод формулы Журавского:

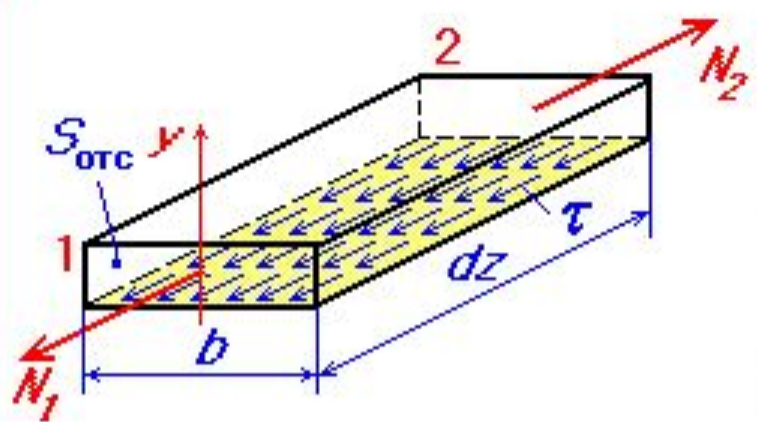


$S_{\text{отс}}$  - площадь отсеченной части поперечного сечения

$$M_1 < M_2$$

$$\sigma_1 < \sigma_2$$

## ВЫВОД ФОРМУЛЫ ЖУРАВСКОГО ( продолжение )



$$\Sigma Z = -N_1 - \tau \cdot b \cdot dz + N_2 = 0; \quad \tau = \frac{N_1 - N_2}{b \cdot dz};$$

$$\sigma_1 = \frac{M_1}{I_x} y = \frac{M}{I_x} y; \quad \sigma_2 = \frac{M_2}{I_x} y = \frac{M + dM}{I_x} y;$$

$$N_1 = \int \sigma_1 dS = \int \frac{M \cdot y}{I_x} dS = \frac{M}{I_x} S_x^{\text{отс}};$$

$$N_2 = \int \sigma_2 dS = \int \frac{M + dM}{I_x} y \cdot dS = \frac{M + dM}{I_x} S_x^{\text{отс}};$$

$$\tau = \frac{dM}{dz} \cdot \frac{S_x^{\text{отс}}}{I_x \cdot b}; \quad Q = \frac{dM}{dz};$$

$$\tau = \frac{Q \cdot S_x^{\text{отс}}}{I_x \cdot b}$$

- формула Журавского;

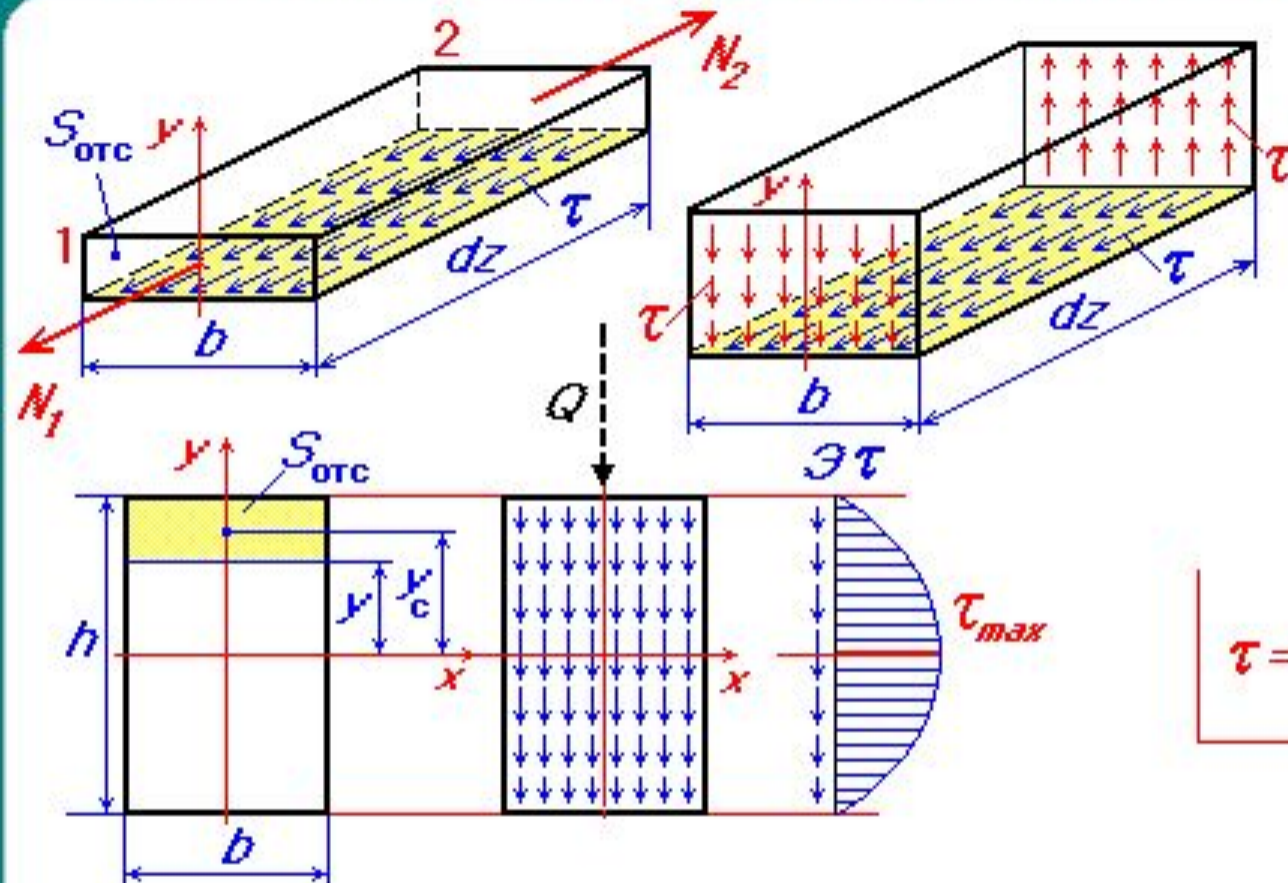
$Q$  - поперечная сила;

$S_x^{\text{отс}}$  - статический момент отсеченной части относительно оси  $x$  ( н.о. );

$I_x$  - момент инерции поперечного сечения;

$b$  - ширина поперечного сечения .

# КАСАТЕЛЬНЫЕ НАПРЯЖЕНИЯ В ПОПЕРЕЧНЫХ СЕЧЕНИЯХ



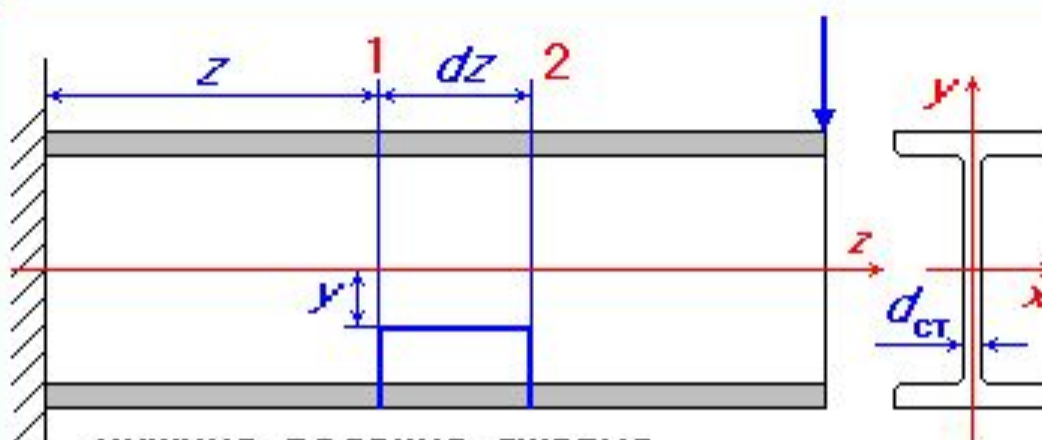
Касательные напряжения в поперечных сечениях равны касательным напряжениям в продольных сечениях, как парные им.

$$\tau = \frac{Q \cdot S_x^{\text{отс}}}{I_x \cdot b}$$

$$S_x^{\text{отс}} = S_{\text{отс}} \cdot \chi = \left(\frac{h}{2} - y\right) \cdot b \cdot \frac{1}{2} \left(\frac{h}{2} + y\right) = \frac{b}{2} \left(\frac{h^2}{4} - y^2\right); \quad I_x = \frac{b h^3}{12}; \quad b = b;$$

$$\tau = \frac{6Q}{bh^3} \left(\frac{h^2}{4} - y^2\right); \quad \tau_{\max} = \frac{3}{2} \frac{Q}{bh}.$$

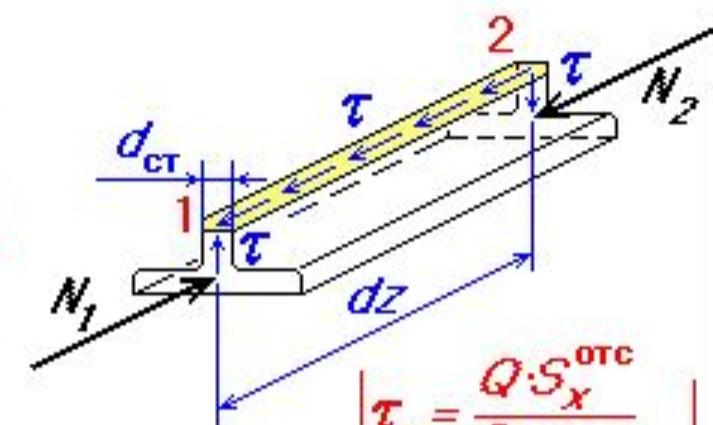
# КАСАТЕЛЬНЫЕ НАПРЯЖЕНИЯ ПРИ ПОПЕРЕЧНОМ ИЗГИБЕ ТОНКОСТЕННЫХ СТЕРЖНЕЙ



нижние волокна сжатые

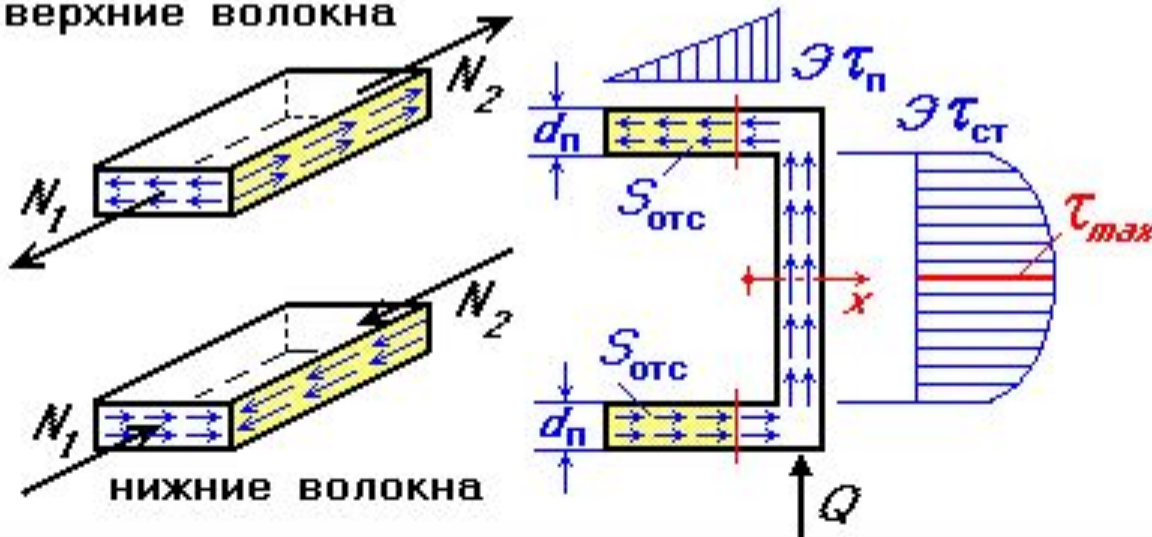
$$M_1 > M_2 \quad ; \quad \sigma_1 > \sigma_2 \quad ; \quad N_1 > N_2 \quad ;$$

верхние волокна



$$\tau_{ct} = \frac{Q \cdot S_x^{otc}}{I_x \cdot d_{ct}}$$

$d_{ct}$  - толщина стенки;



$$\tau_n = \frac{Q \cdot S_x^{otc}}{I_x \cdot d_n}$$

$d_n$  - толщина полки

# ПОНЯТИЕ О ЦЕНТРЕ ИЗГИБА

Касательные напряжения в корытном профиле:



Система сил, лежащих в плоскости сечения, может быть приведена к любой точке плоскости в виде равнодействующей силы и момента.

$$I_x = \frac{d h^2}{12} (h + 6b)$$

а) полка:  $S_x^{\text{отс}} = \frac{h}{2} d \cdot x$ ;  $\tau_{\text{n}} = \frac{6Q \cdot x}{h \cdot d (h + 6b)}$

б) стенка:  $S_x^{\text{отс}} = \frac{d}{2} \left( b h + \frac{h^2}{4} - y^2 \right)$ ;  $\tau_{\text{ст}} = \frac{6Q \left( b h + \frac{h^2}{4} - y^2 \right)}{h^2 d (h + 6b)}$ ;  $M_A = h \int_0^b \tau_{\text{n}} d \cdot dS$ ;  $M_A = Q \frac{3b^2}{h + 6b}$

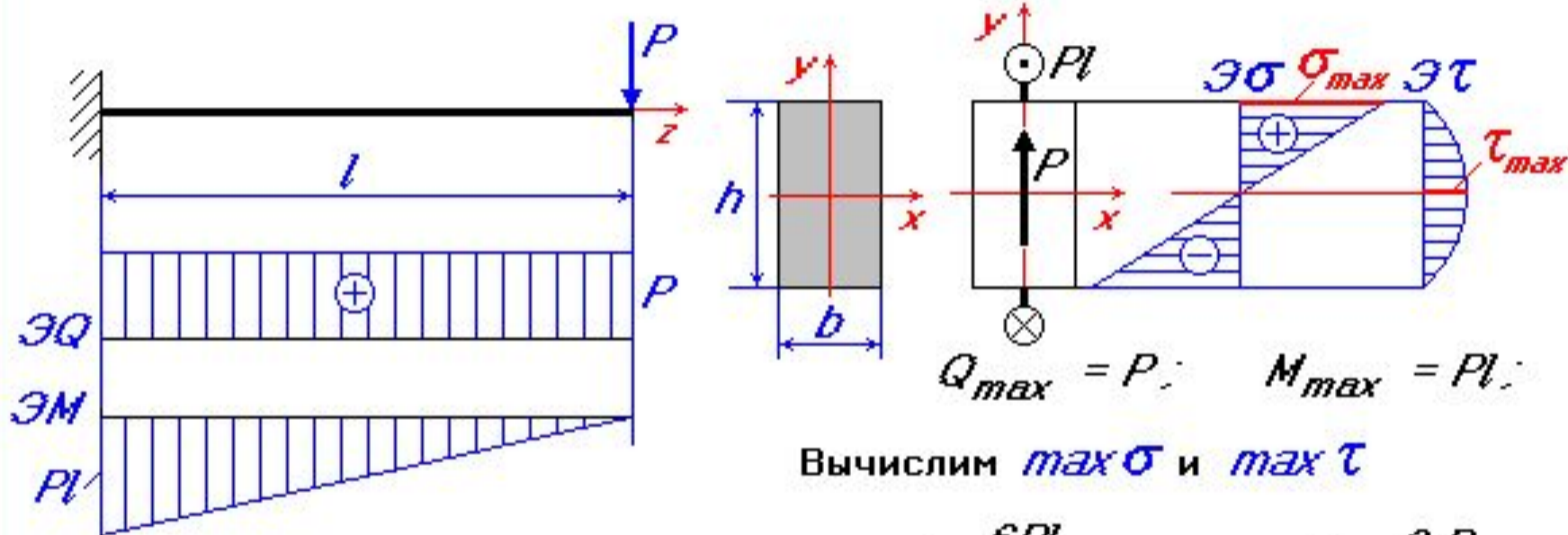
Центр изгиба это точка, относительно которой момент касательных сил в сечении при поперечном изгибе равен нулю.

## УСЛОВИЕ ПРОЧНОСТИ ПРИ ПОПЕРЕЧНОМ ИЗГИБЕ

При прямом поперечном изгибе в поперечных сечениях возникают нормальные  $\sigma$  и касательные  $\tau$  напряжения.

Для сплошных сечений касательные напряжения  $\tau$  малы по сравнению с нормальными напряжениями  $\sigma$ .

Пример. Консольная балка прямоугольного поперечного сечения.



$$\max \sigma = \max (\sigma_{\max}) = \frac{M_{\max}}{W_x}$$

$$\max \sigma = \frac{6Pl}{bh^2}; \quad \max \tau = \frac{3P}{2bh}.$$

$$\frac{\max \sigma}{\max \tau} = \frac{6Pl \cdot 2bh}{bh^2 \cdot 3P} = \frac{4l}{h}, \quad \frac{l}{h} \geq 5..10;$$

$$\max \tau = \max (\tau_{\max}) = \frac{Q_{\max} \cdot S_x^{\text{отс}}}{I_x \cdot b}; \quad \max \tau \ll \max \sigma.$$

# РАСЧЕТЫ НА ПРОЧНОСТЬ ПРИ ПРЯМОМ ИЗГИБЕ

УСЛОВИЕ ПРОЧНОСТИ:

$$\max \sigma \leq [\sigma]$$

$$n = \frac{\bar{\sigma}}{\max \sigma} \geq [n]$$

$$\max \sigma = \max (\sigma_{\max})$$

$$[\sigma] = \frac{\bar{\sigma}}{[n]}$$

$\bar{\sigma}$  - предельное напряжение,  
 $\sigma_t$  - пластичные материалы,  
 $\sigma_b$  - хрупкие материалы.

ПОРЯДОК РАСЧЕТА НА ПРОЧНОСТЬ

1. Выбор опасного сечения:

$$\mathcal{ZQ} \text{ и } \mathcal{ZM} \rightarrow M_{\max}$$

2. Выбор опасной точки:

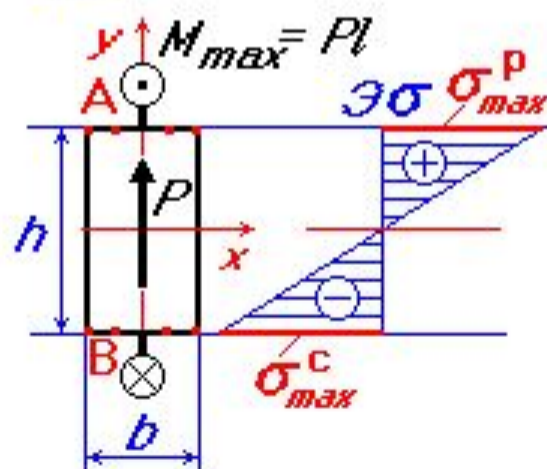
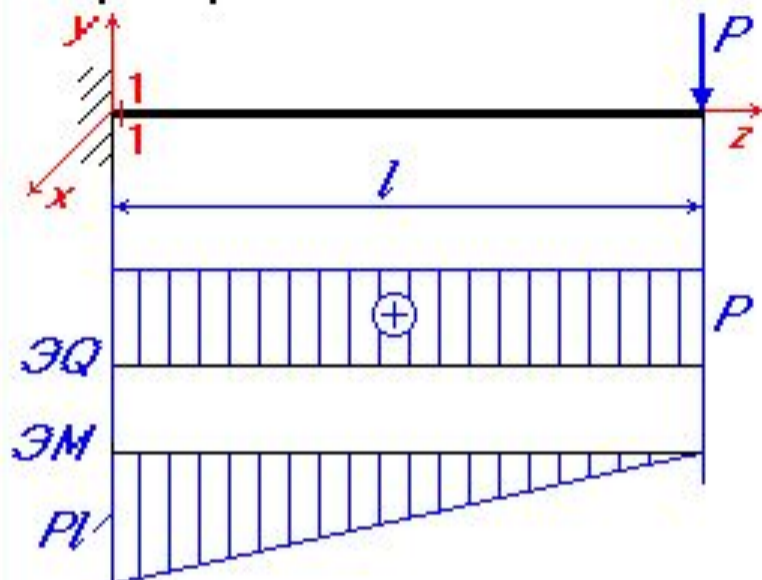
$$\mathcal{Z}\sigma \rightarrow \sigma_{\max} \rightarrow \max \sigma$$

3. Материал.

4. Условие прочности.

# ПРИМЕРЫ РАСЧЕТА НА ПРОЧНОСТЬ ПРИ ИЗГИБЕ

Пример 1.



Дано :  $P, l, \sigma_t, [n], b \cdot h$

поперечное сечение имеет 2 оси симметрии , материал пластичный .

$$[\sigma]_p = [\sigma]_c = [\sigma]$$

1. Опасное сечение 1-1 :

$$M_{max} = Pl; Q_{max} = P;$$

2. Опасные точки : т. А и т. В :

$$\sigma_{max}^P = \sigma_{max}^C = \frac{M_{max}}{W_x}.$$

3. Материал пластичный - одинаково работает на растяжение и сжатие .

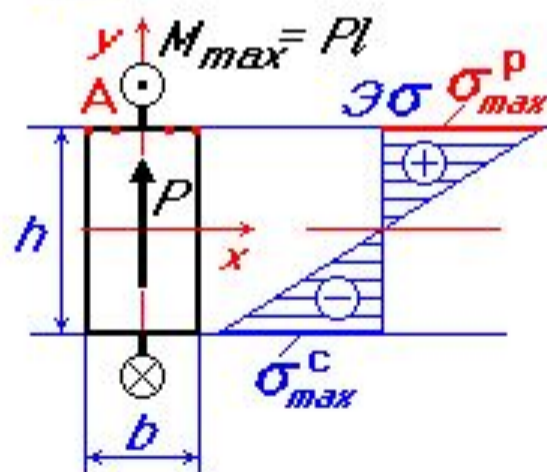
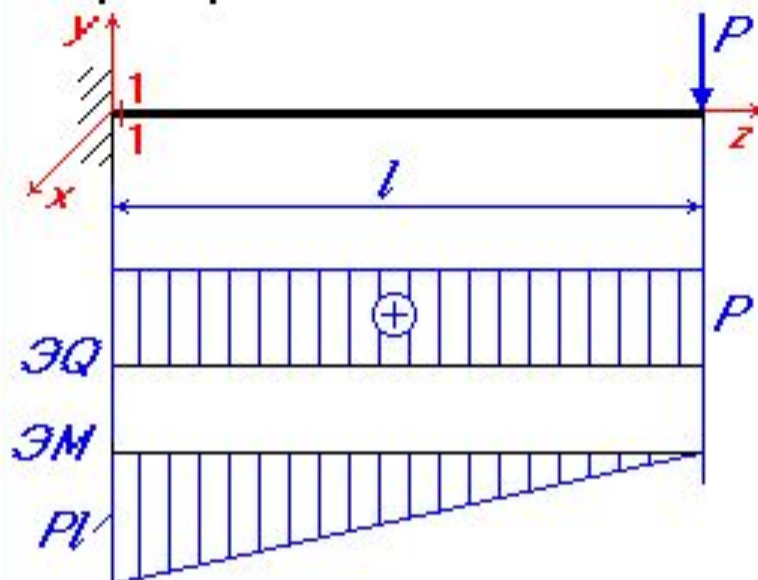
4. Условие прочности :

$$\max \sigma = \frac{M_{max}}{W_x} \leq [\sigma];$$

$$\max \sigma = \frac{6Pl}{bh^2} \leq \frac{\sigma_t}{[n]}.$$

# ПРИМЕРЫ РАСЧЕТА НА ПРОЧНОСТЬ ПРИ ИЗГИБЕ

Пример 2.



Дано :  $P, l, [n], b \cdot h$ .

поперечное сечение имеет 2 оси симметрии , материал **хрупкий** ( чугун )

$$\sigma_{\text{вр}} < \sigma_{\text{вс}} : [\sigma]_p < [\sigma]_c .$$

1. Опасное сечение 1-1 :

$$M_{\text{max}} = Pl ; Q_{\text{max}} = P .$$

2. Опасные точки : т. А :

$$\sigma_{\text{max}}^p = \frac{M_{\text{max}}}{W_x} .$$

3. Материал хрупкий :

$$[\sigma]_p < [\sigma]_c .$$

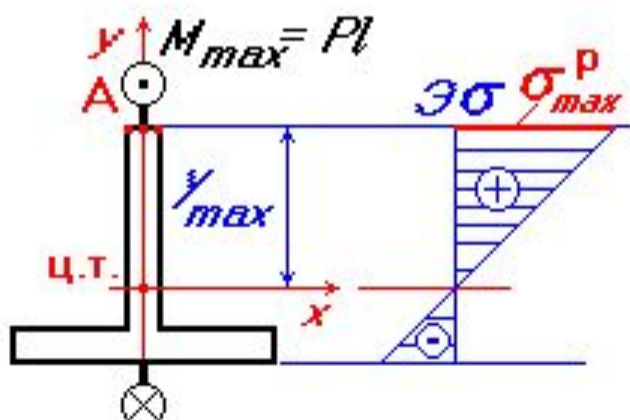
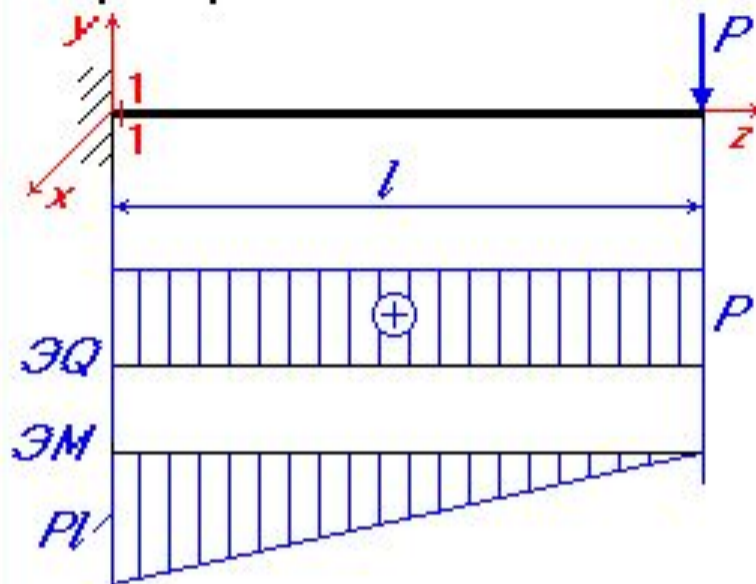
4. Условия прочности :

$$\max \sigma_p = \frac{M_{\text{max}}}{W_x} \leq [\sigma]_p .$$

$$\max \sigma_p = \frac{6Pl}{bh^2} \leq \frac{\sigma_{\text{вр}}}{[n]} .$$

## ПРИМЕРЫ РАСЧЕТА НА ПРОЧНОСТЬ ПРИ ИЗГИБЕ

### Пример 3.



Дано:  $P$ ,  $L$ ,  $\sigma_t$ ,  $[n]$ ,  
 материал пластичный -  $[\sigma]_p = [\sigma]_c = [\sigma]$ ,  
 сечение несимметричное относительно оси  $x$ .  
 Оси  $x$  и  $y$  - главные и центральные  
 оси поперечного сечения:

## 1. Опасное сечение 1-1

$$M_{max} = Pl; \quad Q_{max} = P.$$

## 2. Опасные точки : т. А

$$\sigma_{max}^p = \frac{M_{max}}{I_x} y_{max}$$

3. Материал пластичный - **одинаково**  
работает на растяжение и сжатие

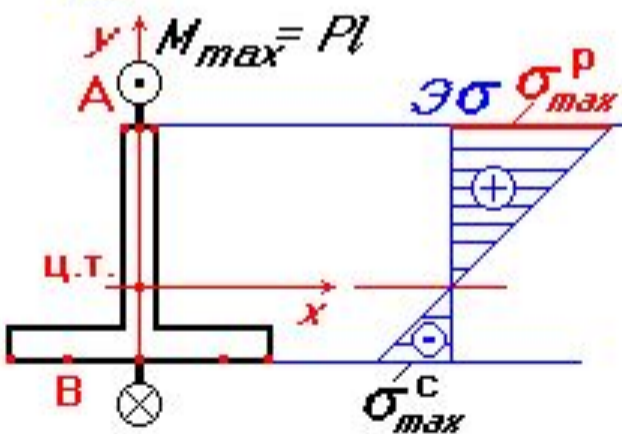
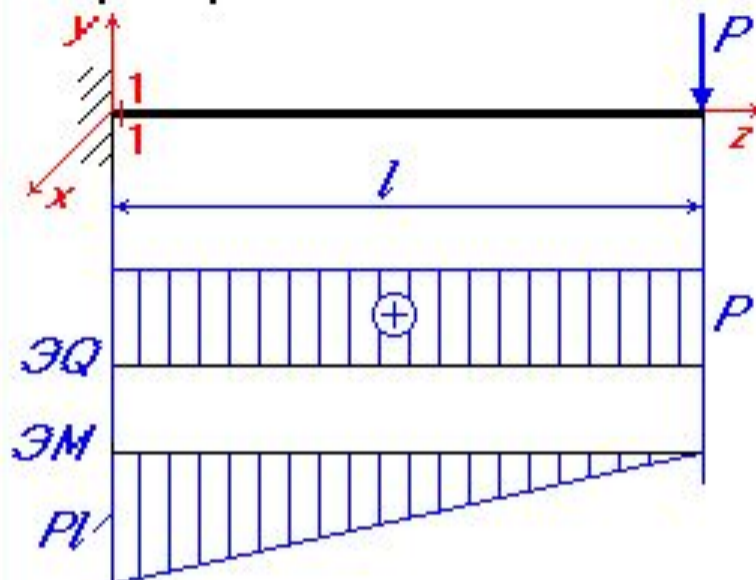
#### 4. Условие прочности:

$$\max \sigma = \frac{M_{max}}{I_x} \gamma_{max} \leq [\sigma]$$

$$\max \sigma = \frac{Pl}{I_x} y_{max} \leq \frac{\sigma_t}{[n]}$$

# ПРИМЕРЫ РАСЧЕТА НА ПРОЧНОСТЬ ПРИ ИЗГИБЕ

Пример 4.



Дано:  $P$ ,  $l$  [м],  
материал хрупкий (чугун)

$$\sigma_{\text{вр}} < \sigma_{\text{вс}}, \quad [\sigma]_p < [\sigma]_c$$

сечение несимметричное относительно оси  $x$ .

Оси  $x$  и  $y$  - главные и центральные оси поперечного сечения:

1. Опасное сечение 1-1:

$$M_{\text{max}} = Pl; \quad Q_{\text{max}} = P;$$

2. Опасные точки: т. А и т. В:

$$\sigma_{\text{max}}^p > \sigma_{\text{max}}^c$$

3. Материал хрупкий:

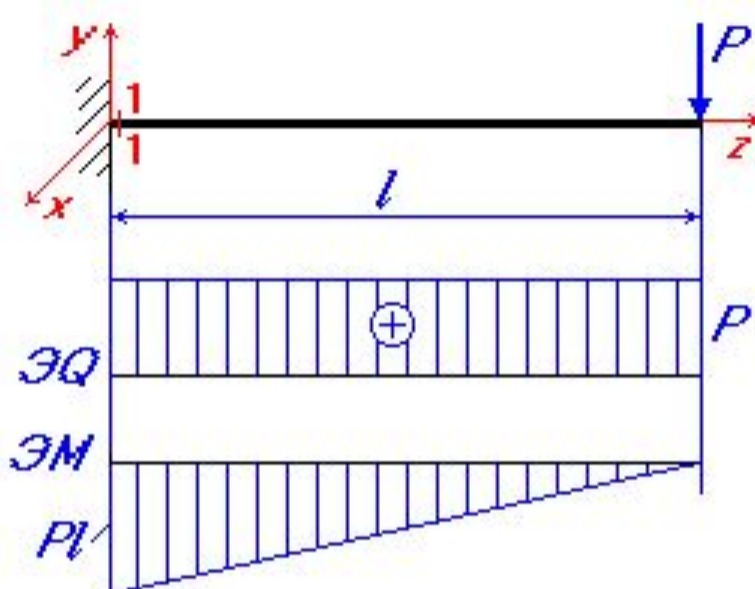
$$[\sigma]_p < [\sigma]_c$$

Сечение расположено не рационально.  
Для хрупкого материала выгодно, чтобы  $\max \sigma$  были бы напряжениями сжатия

$$\max \sigma = \sigma_{\text{max}}^c$$

# ПРИМЕРЫ РАСЧЕТА НА ПРОЧНОСТЬ ПРИ ИЗГИБЕ

Пример 4. (продолжение). Сечение повернули на  $180^\circ$ .



1. Опасное сечение 1-1:

$$M_{max} = Pl; \quad Q_{max} = P;$$

2. Опасные точки: т. А и т. В:

3. Материал хрупкий:

$$[\sigma]_p < [\sigma]_c.$$

4. Условие прочности:

$$\max \sigma_p^B = \frac{M_{max}}{I_x} y_{max}^p \leq [\sigma]_p$$

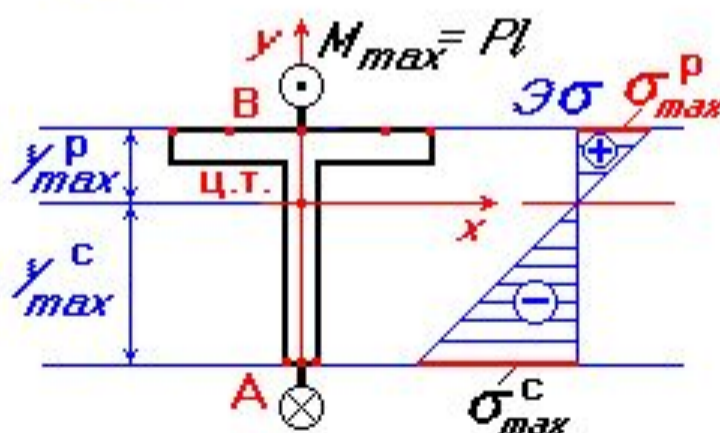
$$\max \sigma_c^A = \frac{M_{max}}{I_x} y_{max}^c \leq [\sigma]_c$$

Отсюда:

Внешняя нагрузка:  $P = \min(P_1^p, P_2^c)$ .

Размеры поперечного  
сечения:

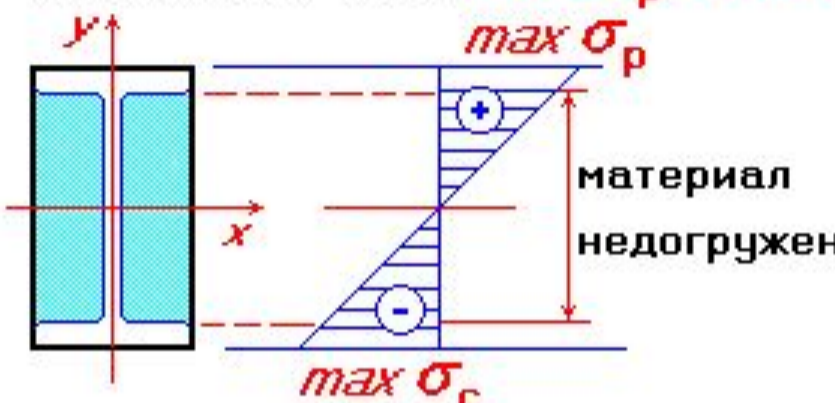
$$S = \max(S_1^p, S_2^c)$$



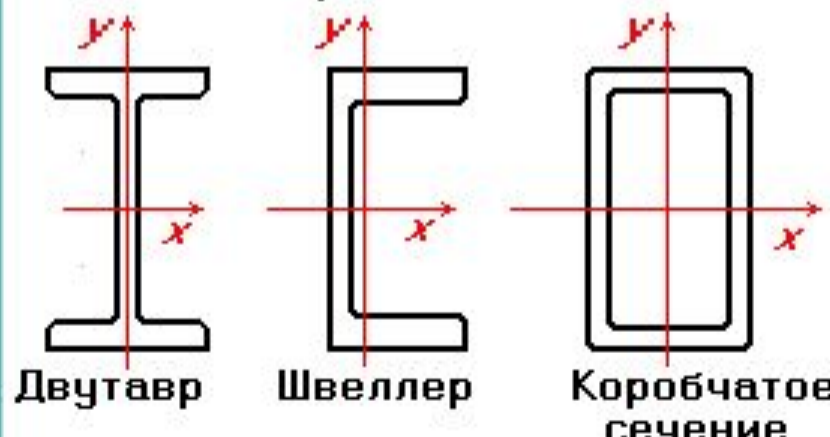
# РАЦИОНАЛЬНЫЕ ФОРМЫ ПОПЕРЕЧНЫХ СЕЧЕНИЙ БАЛОК

1. Материал пластичный:  $\bar{\sigma} = \sigma_t / (\sigma_{tp} = \sigma_{tc})$

Наиболее выгодным будет сечение, симметричное относительно нейтральной оси ( $\max \sigma_p = \max \sigma_c$ )



Наиболее рациональные - тонкостеночные симметричные сечения:



Для тонкостенных сечений делается проверка прочности по  $\max \tau$

$$\max \tau \leq [\tau]$$

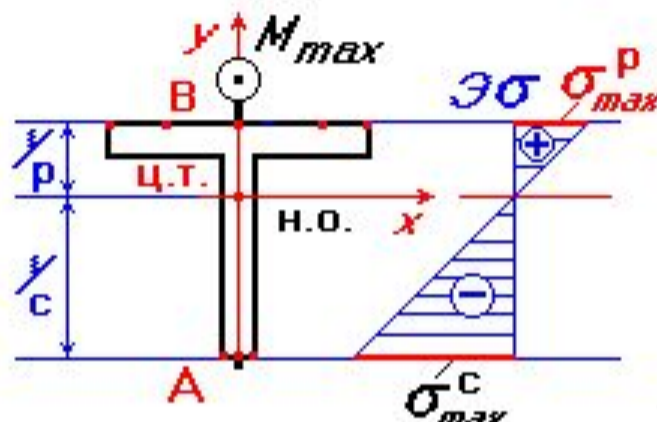
$$[\tau] = \frac{\bar{\tau}}{[n]} = (0.5 \dots 0.6) [\sigma]_p$$

Проверка прочности по  $\tau$  делается также и для анизотропных материалов или для составных сечений (дерево, текстолит, стеклопластик, склеенные сечения и т.д.)

# РАЦИОНАЛЬНЫЕ ФОРМЫ ПОПЕРЕЧНЫХ СЕЧЕНИЙ БАЛОК

2. Хрупкие материалы:  $\bar{\sigma} = \sigma_{\text{вр}} \cdot \sigma_{\text{вс}}$ ;  $\sigma_{\text{вр}} < \sigma_{\text{вс}}$ ;  $[\sigma]_p < [\sigma]_c$ .

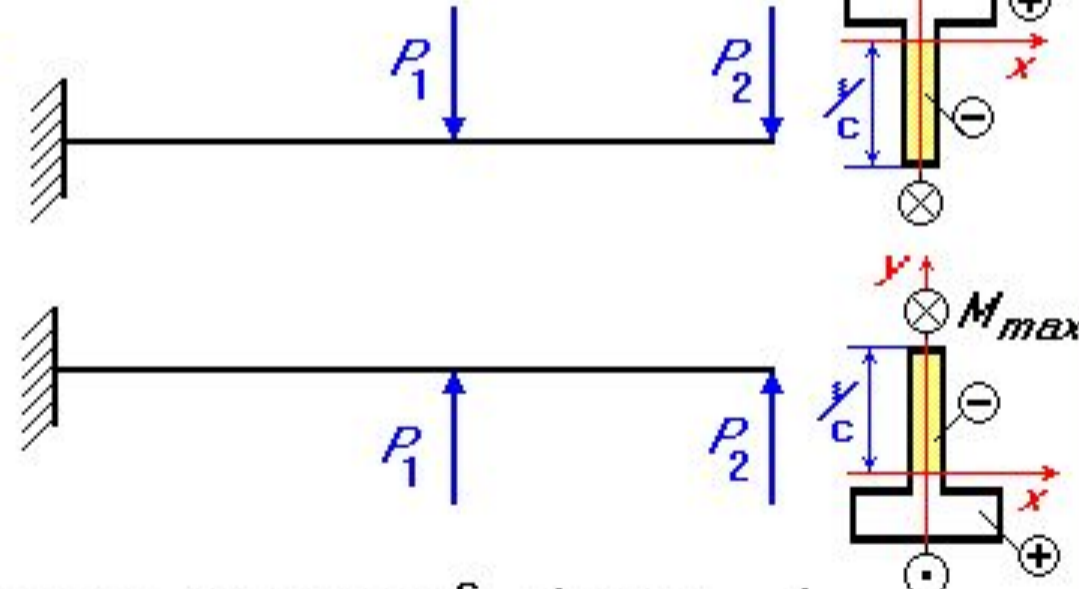
Рациональное (равнопрочное) сечение - несимметричное относительно нейтральной оси (оси  $x$ )



Сечение необходимо располагать рациональным образом (желательно иметь расположение эпюры  $\mathcal{E}M$  по одну сторону).

Равнопрочное сечение:

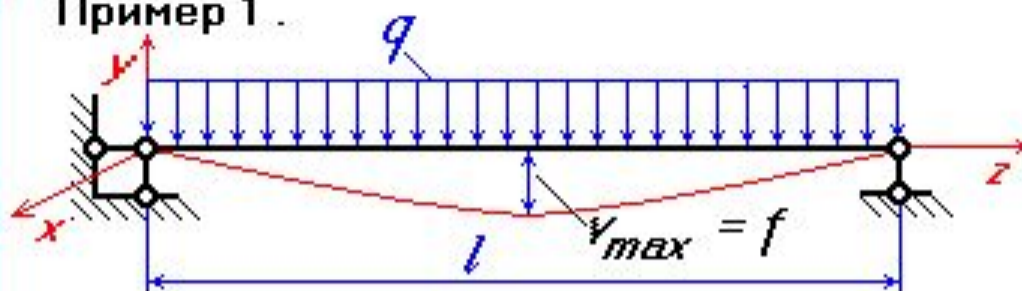
$$\frac{y_p}{y_c} = \frac{[\sigma]_p}{[\sigma]_c}$$



Выгодно:  $\max \sigma = \sigma_{\text{max}}^c$  ( $y_c = y_{\text{max}}$ )

# РАСЧЕТ БАЛОК НА ЖЕСТКОСТЬ

Пример 1.



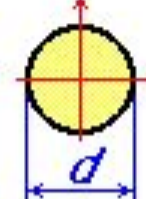
$$y_{max} = f = \frac{5}{384} \frac{q l^4}{E I_x}$$

Условия жесткости:

$$y_{max} = f \leq [f] \quad y_{max} = f \leq \frac{5 q l^4 \cdot 64}{384 E \pi d^4} \leq [f]$$

Отсюда:  $\max(d)$  или  $\min(q)$ .

Дано:  $q, l, d, E$



$$I_x = \frac{\pi d^4}{64}$$

Пример 2.

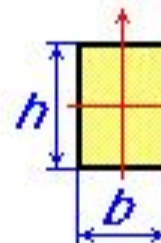


Условия жесткости:

$$y_{max} = f \leq [f]$$

$$y_{max} = f \leq \frac{P l^3 \cdot 12}{3 E b h^3} \leq [f]$$

Дано:  $P, l, b, h, E$



$$I_x = \frac{b h^3}{12}$$

Отсюда:  $\max(b \times h)$  или  $\min(P)$ .

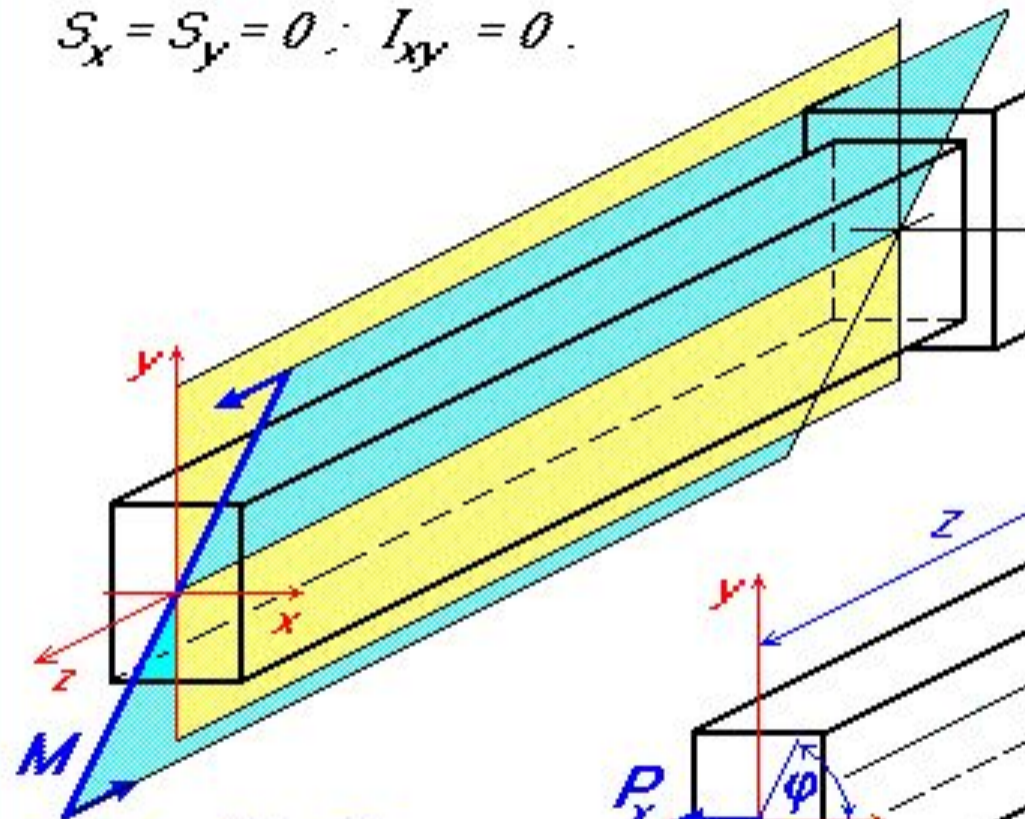
$[f]$  - допустимый прогиб балки (допустимая стрела прогиба).

# КОСОЙ ИЗГИБ

При косом изгибе - силовая линия (с.л.) не совпадает с главной центральной осью сечения и с линией изгиба (л.и.).

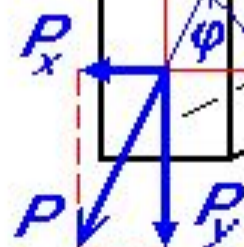
Оси  $x$  и  $y$  главные и центральные оси.

$$S_x = S_y = 0; I_{xy} = 0.$$



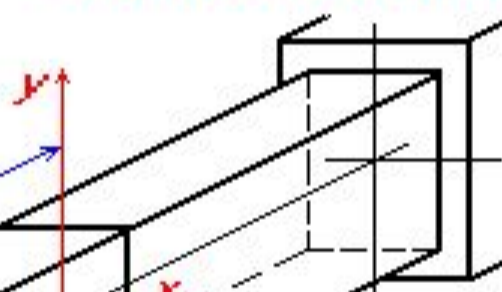
$$P_x = P \cos \varphi;$$

$$P_y = P \sin \varphi;$$



Задача о косом изгибе решается наиболее просто на основе принципа независимости действия сил.

Определение напряжений при косом изгибе:

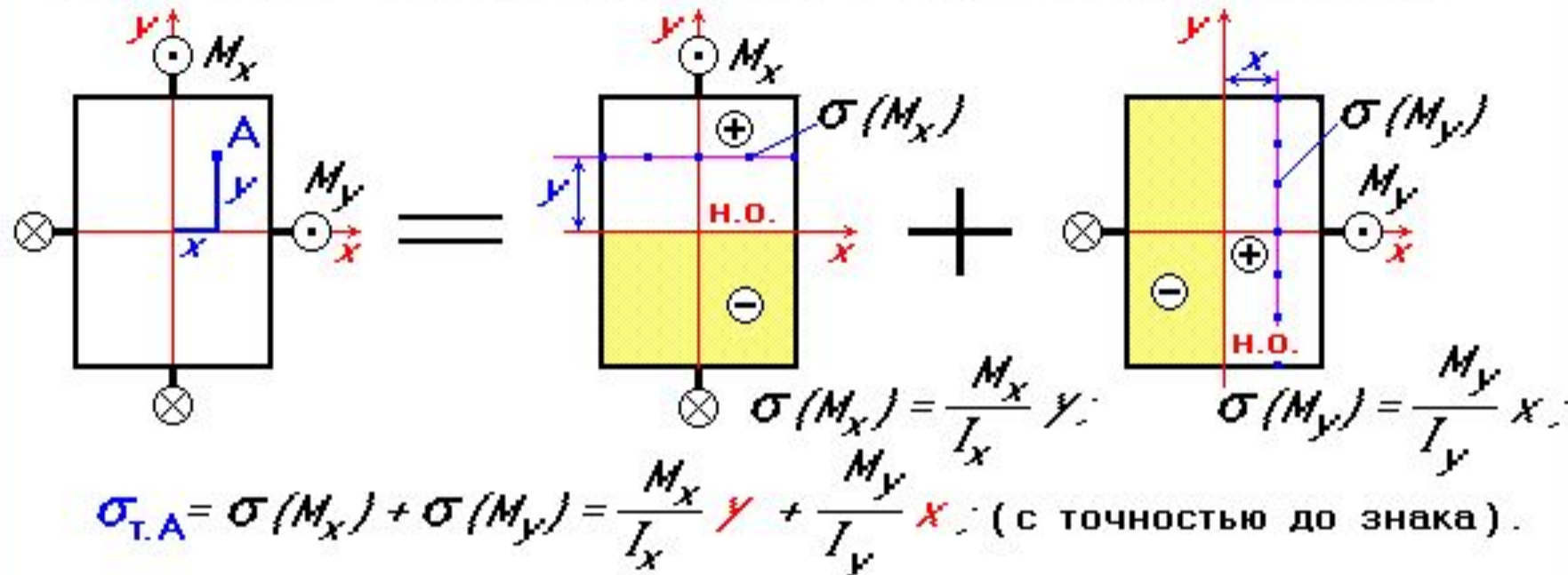


$$M_x = P_y \cdot z = P \sin \varphi \cdot z;$$

$$M_y = P_x \cdot z = P \cos \varphi \cdot z.$$

# ОПРЕДЕЛЕНИЕ НАПРЯЖЕНИЙ ПРИ КОСОМ ИЗГИБЕ

**КОСОЙ ИЗГИБ** - одновременный изгиб в двух главных плоскостях.



Напряжения по сечению распределены по линейному закону. Наибольшие напряжения в точках наиболее удаленных от нейтральной оси ( $\sigma_{\text{н.о.}} = 0$ ).

Уравнение Н.О. - для точки А ( $x > 0, y > 0$ ):

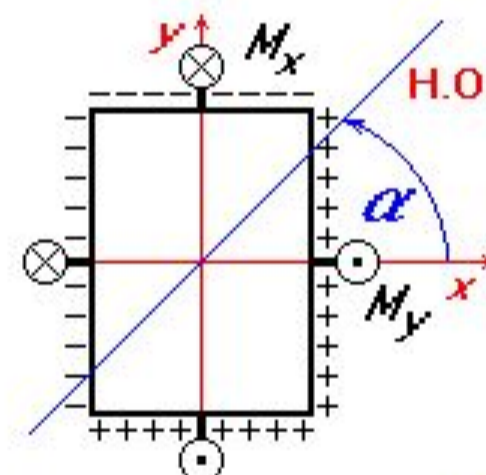
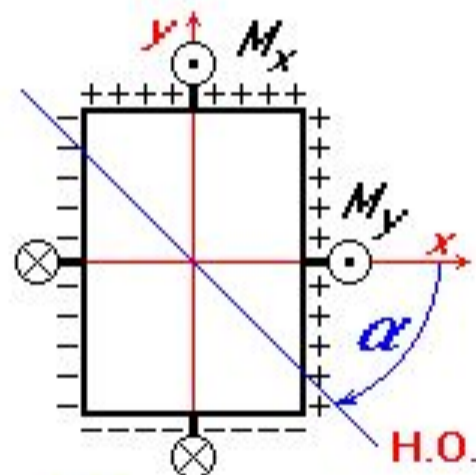
$$\sigma_{\text{н.о.}}(x,y) = \frac{M_x}{I_x} y + \frac{M_y}{I_y} x = 0 \quad \text{- уравнение нейтральной оси};$$

$$y = k_1 x = - \frac{M_y}{M_x} \cdot \frac{I_x}{I_y} \cdot x \quad \text{- уравнение прямой, проходящей через начало координат (центр тяжести сечения).}$$

## ПОЛОЖЕНИЕ НЕЙТРАЛЬНОЙ ОСИ ПРИ КОСОМ ИЗГИБЕ

$$\gamma = - \frac{M_y}{M_x} \cdot \frac{I_x}{I_y} \cdot x = - \frac{P \cdot \cos \varphi \cdot z \cdot I_x}{P \cdot \sin \varphi \cdot z \cdot I_y} \cdot x; \quad \gamma = k_t x = - \frac{I_x}{I_y} \operatorname{ctg} \varphi \cdot x;$$

$$k_t = \operatorname{tg} \alpha = \left| - \frac{I_x}{I_y} \operatorname{ctg} \varphi \right| \text{ - тангенс угла наклона Н.О.}$$



Знак угла  $\alpha$  легко определяется по знаку напряжений  $\sigma(M_x)$  и  $\sigma(M_y)$ : Н.О. проходит через ц.т. и те области сечения, для которых  $\sigma(M_x)$  и  $\sigma(M_y)$  имеют разные знаки.

# ПОЛОЖЕНИЕ НЕЙТРАЛЬНОЙ ОСИ И СИЛОВОЙ ЛИНИИ ПРИ КОСОМ ( ПРЯМОМ ) ИЗГИБЕ

Условие перпендикулярности двух прямых:

$$k_1 k_2 = -1; \quad k_1 = -\frac{I_x}{I_y} \operatorname{ctg}\varphi; \quad k_2 = \operatorname{tg}\varphi.$$



$$k_1 k_2 = -\frac{I_x}{I_y} \operatorname{ctg}\varphi \cdot \operatorname{tg}\varphi = -\frac{I_x}{I_y};$$

а) В общем случае  $I_x \neq I_y$ :

$$k_1 k_2 = -\frac{I_x}{I_y} \neq -1.$$

нейтральная ось и силовая линия не перпендикулярны.

б) Если  $I_x = I_y$  ( $I_{xy} = 0$ ):  $k_1 k_2 = -\frac{I_x}{I_y} = -1$ .

Такие сечения не испытывают косой изгиб. Изгиб прямой.

# РАСЧЕТ НА ПРОЧНОСТЬ ПРИ КОСОМ ИЗГИБЕ

Определение  $\max \sigma$ :

Оси  $x$  и  $y$  главные и центральные

$$S_x = S_y = 0; I_{xy} = 0.$$

$$\operatorname{tg} \alpha = \left| \frac{M_y \cdot I_x}{M_x \cdot I_y} \right|.$$

$$\max \sigma_p = \sigma_{T,A} = \frac{M_x}{I_x} y_A + \frac{M_y}{I_y} x_A;$$

$$\max \sigma_c = \sigma_{T,B} = \left| -\frac{M_x}{I_x} y_B - \frac{M_y}{I_y} x_B \right|$$

$$\sigma_{T,A} = \max \sigma_p$$

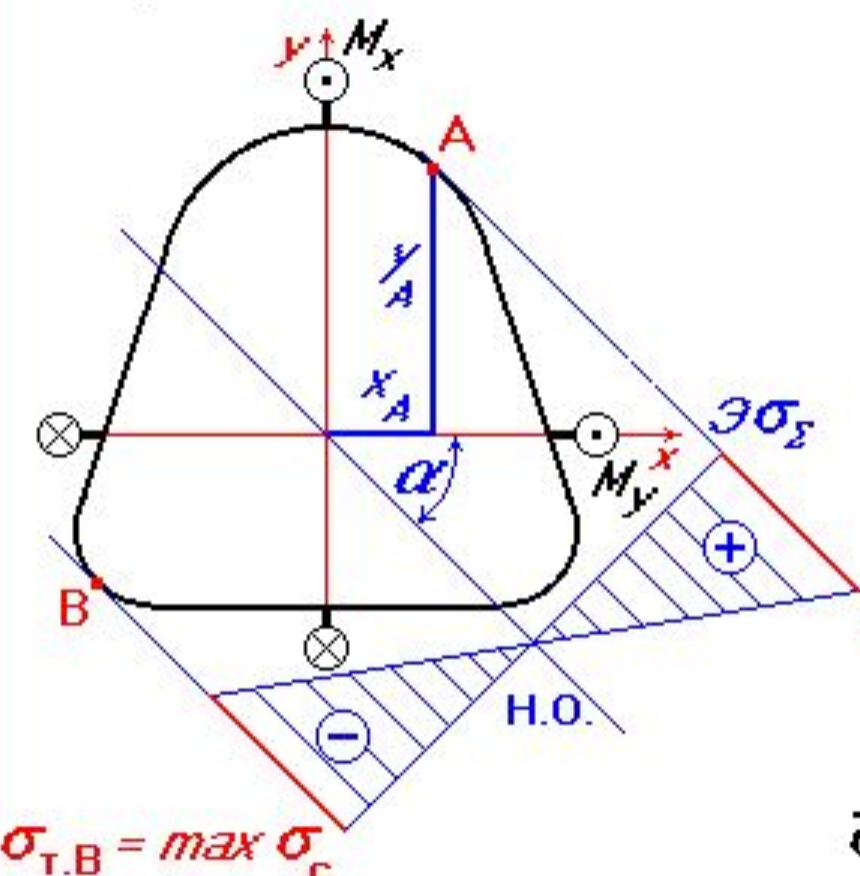
УСЛОВИЕ ПРОЧНОСТИ:

1. Пластичный материал:

$$\bar{\sigma} = \sigma_T; \quad [\sigma] = \frac{\sigma_T}{[n]}, \quad \max \sigma \leq [\sigma].$$

2. Хрупкий материал:

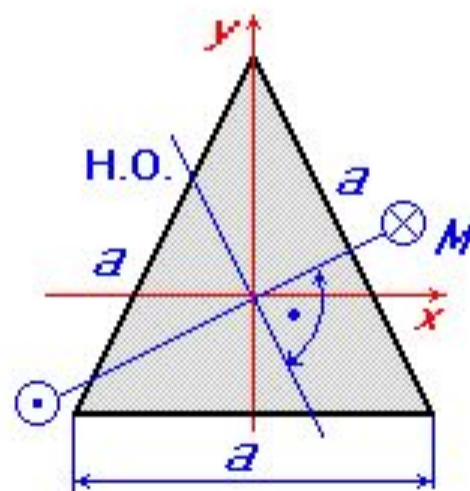
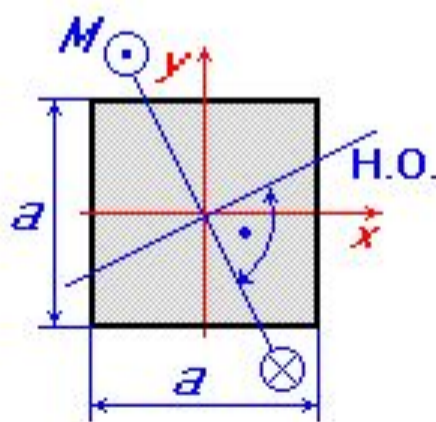
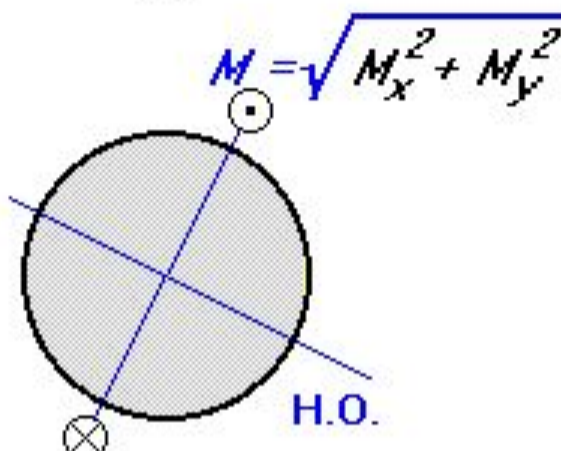
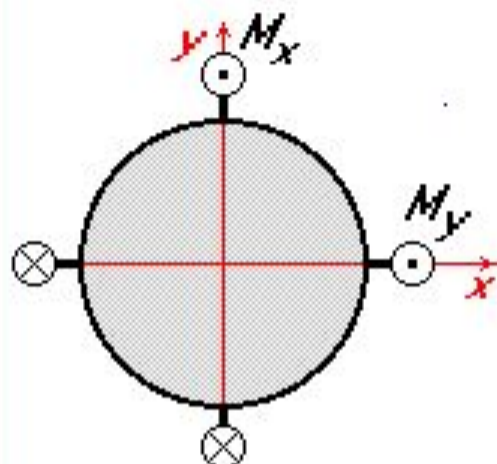
$$\bar{\sigma} = \sigma_{bp} \cdot \sigma_{bc}; \quad \max \sigma_p \leq [\sigma]_p; \quad \max \sigma_c \leq [\sigma]_c; \quad [\sigma]_p = \frac{\sigma_{bp}}{[n]_p}; \quad [\sigma]_c = \frac{\sigma_{bc}}{[n]_c}.$$



# ЧАСТНЫЕ СЛУЧАИ КОСОГО ( ПРЯМОГО ) ИЗГИБА

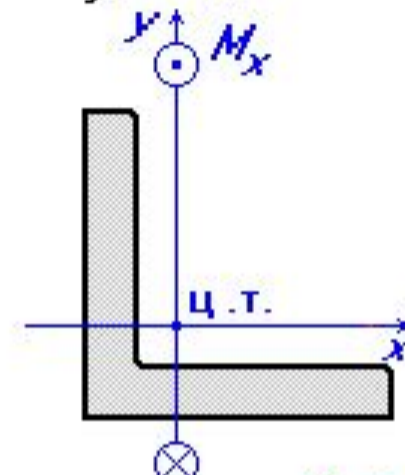
Оси  $x$  и  $y$  главные и центральные

$$I_x = I_y \quad ; \quad S_x = S_y = 0 \quad ; \quad I_{xy} = 0.$$

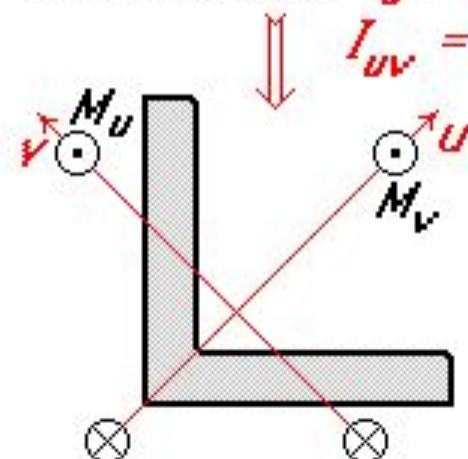


Оси  $x$  и  $y$  не главные оси :

$$I_x = I_y \quad ; \quad I_{xy} \neq 0.$$



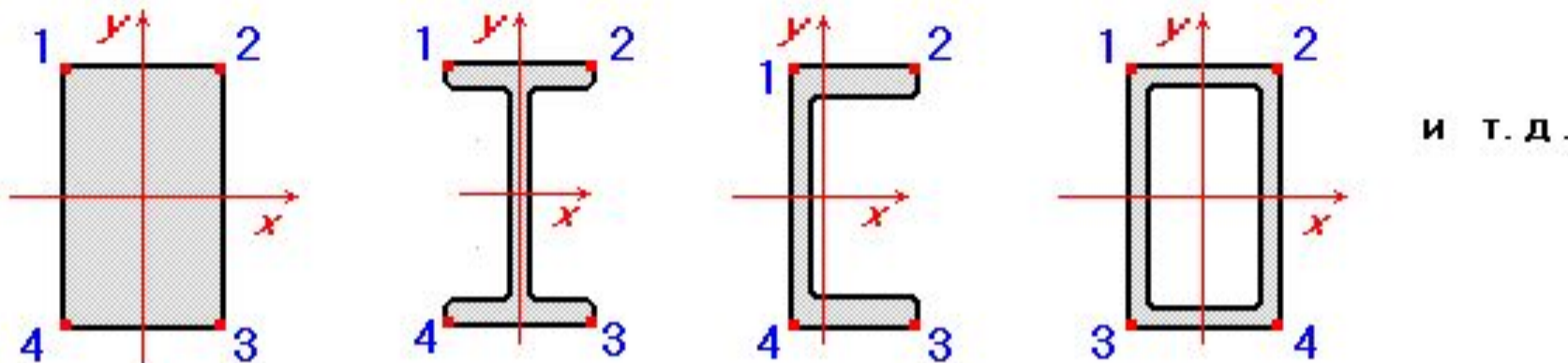
Косой изгиб :  $I_u \neq I_v \quad ; \quad I_{uv} = 0.$



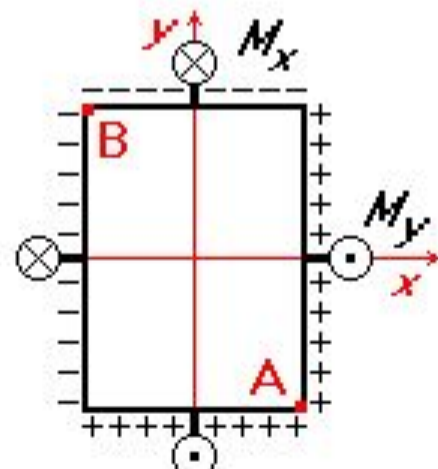
# ЧАСТНЫЕ СЛУЧАИ КОСОГО ИЗГИБА

А. Сечение с выступающими углами:

1) Оси  $x$  и  $y$  - оси симметрии:



Опасная точка - наиболее удаленная от осей  $x$  и  $y$  (угловая точка).



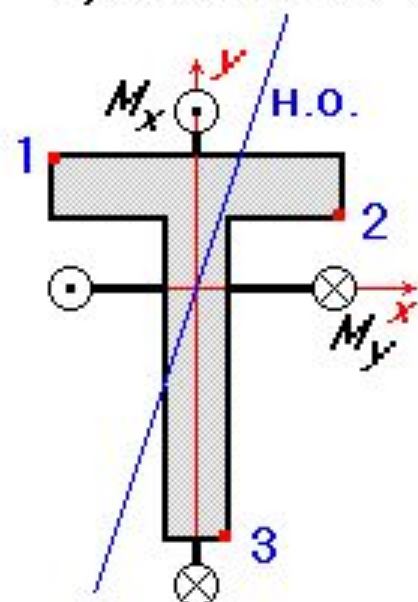
$$\max \sigma_p = \sigma_{T,A} = \frac{M_x}{W_x} + \frac{M_y}{W_y}, \quad W_x = \frac{bh^2}{6}$$

$$\max \sigma_c = \sigma_{T,B} = \left| -\frac{M_x}{W_x} + \frac{M_y}{W_y} \right|, \quad W_y = \frac{hb^2}{6}$$

В частности - так можно определять напряжения и для квадратного сечения.

## ЧАСТНЫЕ СЛУЧАИ КОСОГО ИЗГИБА (продолжение)

2) Сечение не симметрично одной из осей:



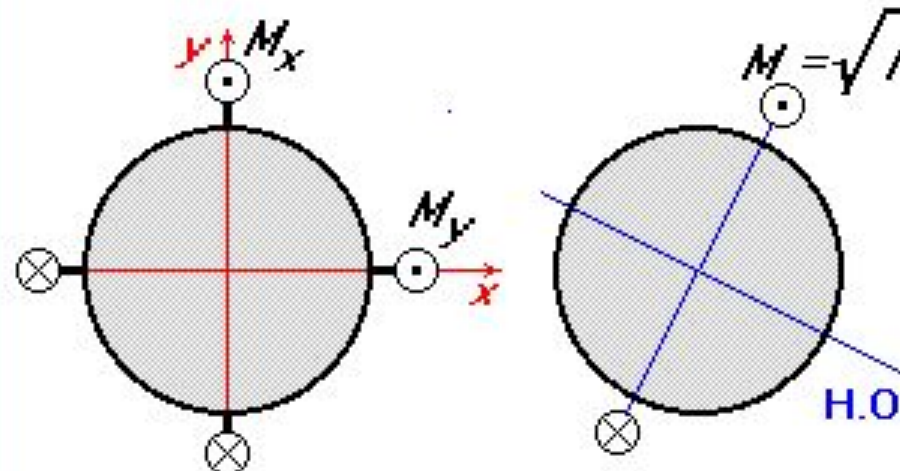
Оси  $x$  и  $y$  главные и центральные

$$S_x = S_y = 0; I_{xy} = 0.$$

$$\sigma_i = \pm \frac{M_x}{I_x} y_i \pm \frac{M_y}{I_y} x_i, \quad i = 1, 2, 3;$$

Отсюда определяем  $\max \sigma_p$  и  $\max \sigma_c$

Б. Расчет круглого поперечного сечения:

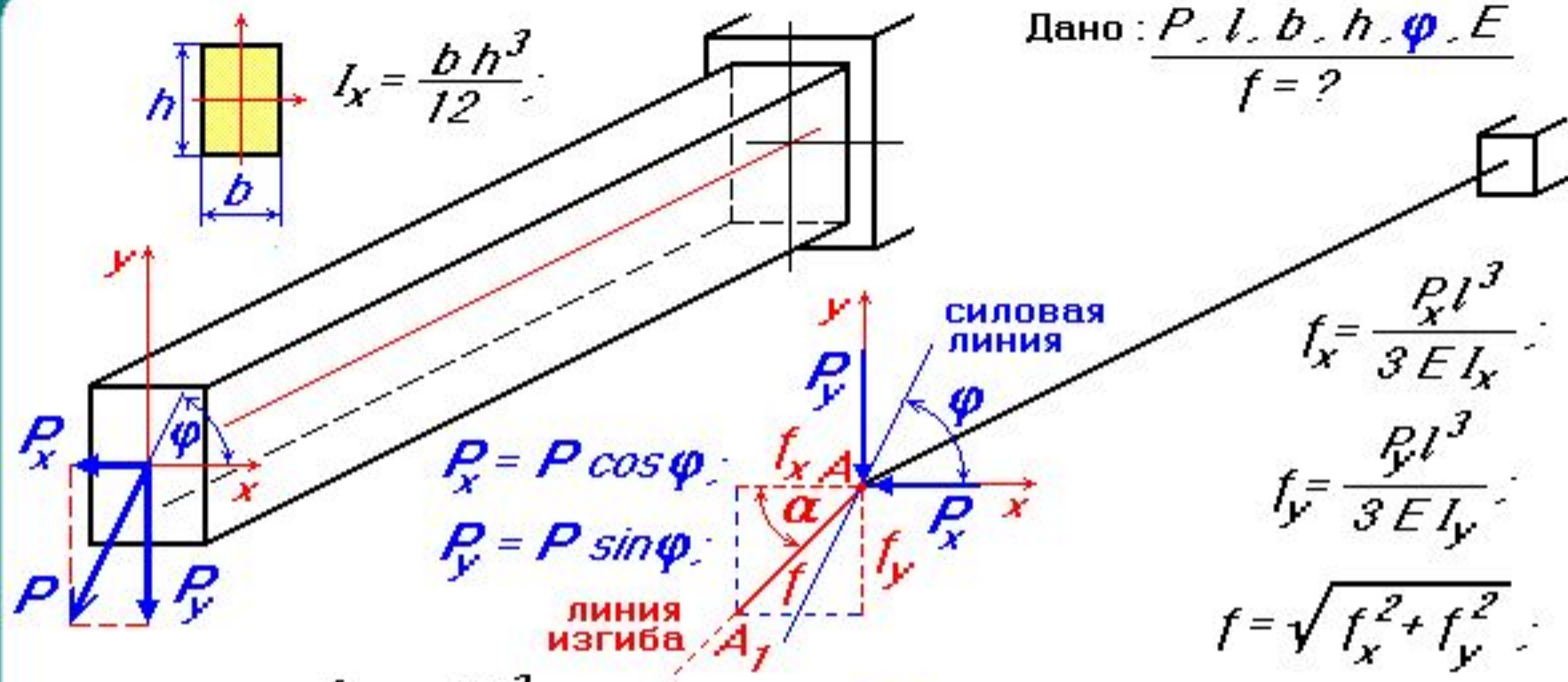


$$M = \sqrt{M_x^2 + M_y^2}$$

$$W_x = W_y = W_{\text{H.O.}} = W = \frac{\pi d^3}{32};$$

$$\max \sigma = \pm \frac{M}{W} = \frac{\sqrt{M_x^2 + M_y^2}}{W} \leq [\sigma].$$

# ОПРЕДЕЛЕНИЕ ПЕРЕМЕЩЕНИЙ ПРИ КОСОМ ИЗГИБЕ



- а) В общем случае  $I_x \neq I_y$ , силовая линия и линия изгиба не совпадают - косой изгиб .
- б) Если  $I_x = I_y$  ( $I_{xy} = 0$ ) - силовая линия и линия изгиба совпадают - прямой изгиб . ( слайд 16-05 )